浮游动物特征总结

王如晨 朱亚菲 2015 年 8 月

目录

| 1 | 13 👌 | 送浮游动物的特征 | 5 |
|---|------|-----------------------------------|----|
| 2 | PkI | D 中用到的特征 | 9 |
| | 2.1 | 位置特征 | 9 |
| | 2.2 | 尺寸特征 | 10 |
| | 2.3 | 灰度值特征 | 10 |
| | 2.4 | 形状特征 | 11 |
| | 2.5 | 生物统计特征 | 12 |
| | 2.6 | 还没有查找到的特征 | 12 |
| | 2.7 | 其他特征 | 13 |
| 3 | 采用 | PkID 中的特征进行实验 | 14 |
| | 3.1 | 采用 PkID 中的 67 个特征进行实验 | 14 |
| | | 3.1.1 PkID 中 67 个特征 +SVM Linear | 14 |
| | | 3.1.2 PkID 中 67 个特征 +RandomForest | 15 |
| | 3.2 | 将 67 个特征分类进行实验 | 16 |
| | | 3.2.1 形状特征 +SVM Linear | 16 |
| | | 3.2.2 形状特征 +RandomForest | 16 |
| | | 3.2.3 灰度特征 +SVM Linear | 17 |
| | | 3.2.4 灰度特征 +RandomForest | 17 |
| | | 3.2.5 生物统计特征 +SVM Linear | 17 |
| | | 3.2.6 生物统计特征 +RandomForest | 18 |
| | | 3.2.7 不包括位置特征 +SVM Linear | 18 |
| | | 3.2.8 不包括位置特征 +RandomForest | 18 |

| | | 3.2.9 | 不包括位置特征和尺度特征 +SVM Linear | 19 |
|---|-----|--------|---------------------------------------|----|
| | | 3.2.10 | 不包括位置特征和尺度特征 +RandomForest | 19 |
| | | 3.2.11 | 不包括位置特征、尺度特征和灰度特征 +SVM Linear | 19 |
| | | 3.2.12 | 不包括位置特征、尺度特征和灰度特征 +RandomForest | 21 |
| | | 3.2.13 | 不包括位置特征、尺度特征、灰度特征和形状特征 +SVM Linear | 21 |
| | | 3.2.14 | 不包括位置特征、尺度特征、灰度特征和形状特征 +RandomForest | 22 |
| | 3.3 | 从 67~ | 个特征中选取部分特征进行实验 | 22 |
| | | 3.3.1 | 选取 16 个特征 +SVM Linear | 22 |
| | | 3.3.2 | 选取 16 个特征 +RandomForest | 23 |
| | | 3.3.3 | 选取 18 个特征 +SVM Linear | 23 |
| | | 3.3.4 | 选取 18 个特征 +RandomForest | 23 |
| | | 3.3.5 | 选取 19 个特征 +SVM Linear | 23 |
| | | 3.3.6 | 选取 19 个特征 +RandomForest | 24 |
| | | 3.3.7 | 选取 21 个特征 +SVM Linear | 25 |
| | | 3.3.8 | 选取 21 个特征 +RandomForest | 25 |
| | | 3.3.9 | 选取 25 个特征 +SVM Linear | 26 |
| | | 3.3.10 | 选取 25 个特征 +RandomForest | 27 |
| | | 3.3.11 | 选取 27 个特征 +SVM Linear | |
| | | 3.3.12 | 选取 27 个特征 +RandomForest | |
| | | 3.3.13 | 选取 29 个特征 +RandomForest | |
| | 3.4 | 实验分 | 析 | 29 |
| Į | 计算 | 机视觉 | ····································· | 32 |
| | 4.1 | 几何参 | 数数 | 32 |
| | | 4.1.1 | 边界的周长 | 32 |
| | | 4.1.2 | 边界的曲率 | 32 |
| | | 4.1.3 | 面积 | 32 |
| | | 4.1.4 | 宽度和高度 | 32 |
| | | 4.1.5 | 矩形度 | 32 |
| | | 4.1.6 | 体态比 | 32 |
| | | 4.1.7 | 圆形性 | 32 |
| | | 4.1.8 | 偏心率 | 33 |
| | | | | |

| | 1.2.1 | | |
|------------------|-------------------|------------------------------------------------------------------------------------------------------------------------------------------------------------------------------------------------|---------------------------------------------------------------------------------------------------------------------------------------------------------------------------------------------------------------------------------------------------------------------------------------------------------------------|
| | | | |
| | | | |
| | 4.3.1 | 以叶斯融合(Bayes Fusion) | 35 |
| 选取 | 特征进行 | ····································· | 38 |
| 5.1 | 参数特 | | 38 |
| | 5.1.1 | 实验一 | 38 |
| | 5.1.2 | 实验二 | 38 |
| | 5.1.3 | 实验三 | 39 |
| | 5.1.4 | 实验四 | 40 |
| | 5.1.5 | 实验五 | 41 |
| | 5.1.6 | 实验六 | 42 |
| 5.2 | 特征融 | 合方法实验 | 43 |
| | 5.2.1 | 实验一(特征融合方法一) | 43 |
| | 5.2.2 | 实验二 (特征融合方法二) | 43 |
| 5.3 | 融合不 | 同特征实验 | 44 |
| | 5.3.1 | 实验一 | 45 |
| | 5.3.2 | 实验二 | 45 |
| | 5.3.3 | 实验三 | 45 |
| | 5.3.4 | 实验四 | 46 |
| | 5.3.5 | 实验五 | 46 |
| 5.4 | ELM 4 | · 作为分类器的实验 | 46 |
|). '1 | | | |
| | 1.2 5.1 5.2 | 4.1.13 1.2 几种典 4.2.1 4.2.2 1.3 特征进 5.1 5 5.1.1 5.1.2 5.1.3 5.1.4 5.1.5 5.1.6 5.1.6 5.2.1 5.2.2 5.3.1 5.3.2 5.3.1 5.3.2 5.3.3 5.3.4 | 41.11 球状性 4.1.12 伸长度 4.1.13 叶状性 1.2 几种典型的特征描述方法 4.2.1 边界描述子 4.2.2 区域描述子 1.3 特征融合 4.3.1 贝叶斯融合 (Bayes Fusion) 2取特征进行实验 5.1 麥數一 5.1.2 实验二 5.1.3 实验三 5.1.4 实验四 5.1.5 实验五 5.1.6 实验六 5.2 转征融合方法实验 5.2.1 实验一 (特征融合方法一) 5.2.2 实验二 (特征融合方法一) 5.2.2 实验二 (特征融合方法二) 6.3 融合不同特征实验 5.3.1 实验一 5.3.2 实验二 5.3.3 实验三 5.3.4 实验四 |

Zooplankton Attributes

| 7 | 实验 | 会会试 | 50 |
|---|-----|---------------------|----|
| | 7.1 | AdaBoost | 50 |
| | 7.2 | Multi-view Learning | 50 |

1. 13 类浮游动物的特征

Appendicularia (**尾海鞘纲**) 属于脊索动物门,体型像蝌蚪,身体分为躯干和尾两部分。躯干为椭圆形;尾部扁平,比躯干要长。¹大小:小于5mm。

观察采集的图像发现:

- 形状像蝌蚪, 分为躯干和尾部。
- 躯干较大且灰度较深, 并不是呈现规则的椭圆 (还有部分突出了的东西还不知道是什么)。
- 尾部大致呈现两种形状:一种细长弯曲;另一种较粗(粗细甚至于头部差不多),呈现柳叶状。尾部的灰度相比于躯干较浅,轮廓不太清晰。

Bubble(气泡) 非生物。

观察采集的图像发现:

- 圆形。
- 气泡四周灰度深, 中间灰度很浅, 呈亮白色。

观察采集的图像发现:

- 身体修长, 可以明显看出身体分为头、躯干和尾,三部分。
- 头部小且圆滑, 在头与躯干连接的地方略窄。
- 躯干较粗, 轮廓清晰。
- 尾部慢慢变窄, 末尾尖。

Cladocera Penilia (Penilia avirostris, **鸟喙尖头溞**) 属于节肢动物门, 鳃足纲, 枝角目, 俗称水 跳蚤。大小: 大约为 1mm 左右。

观察采集的图像发现:

¹https://zh.wikipedia.org/wiki/%e5%b0%be%e6%b5%b7%e9%9e%98%e7%ba%b2

²https://zh.wikipedia.org/wiki/%e6%af%9b%e9%a2%9a%e5%8a%a8%e7%89%a9%e9%97%a8

- 身体短小,有两条长长的触角(但并不是每一幅图像中都可以看到。有时触角是向前的,可以看的很清楚:有时触角是向后的,和身体重合在了一起)。
- 该类浮游动物身体中轴线的地方灰度较深(感觉类似人体的脊柱),这个颜色较深的中轴线上还有一条条纹理线连向边缘(就像人体脊柱上连着的骨骼)。由于运动,扫描得到的图像中浮游动物的中轴线并不是都在其身体中间。
- Copepoda(**桡脚类**)属于节肢动物门,颚足纲,桡足类属于其下的一个亚纲。体形像泪珠,有大的触角。分为前体部和后体部,前体部较为宽大,后体部较为短小。³前体部前体部由头和胸部组成,头部有两对触角,胸部有鄂足、五对胸足。后体部无附肢,由 3—5 节组成。最末的腹节称尾节,末端具1对尾叉,尾叉的末端有5根不等长的刚毛,常呈羽状。⁴

观察采集的图像发现:

- 该类动物身体呈长椭圆形,尾部长在椭圆形一段(由于尾叉末端有几根不等长的刚毛,因此尾部呈一簇),触角长在椭圆的另一端(一共有两对触角,但最多只能看到一两个,有的图像甚至看不到)。
- 从该类动物正上方扫描得到的目标关于其自身的中轴对称。从该类动物侧面扫描得到的目标不对称,其身体一侧长着几对胸足。
- 该类中有八十几张图片中有多个目标,应该分在 Multiple 类中。
- Decapoda(十足目) 属于节肢动物门,软甲纲。分为两类: Lucifer hanseni 和 Crab larvae。体躯延长呈虾形(腹部发达)或缩短扁圆呈蟹形(腹部化)。⁵

观察采集的图像发现:

- 该类浮游动物形状特征并不是很统一, 大致分为两类: 虾形和蟹形。
- 一些图像中可以看到目标有一条尾巴(像虾的尾巴)。
- 一些图像中可以看到目标有一对灰度较深的复眼。
- Doliolida (海樽目) 属于脊索动物门, 樽海鞘纲⁶。体型一般呈桶状, 体壁最外是被囊层, 其内层是外套膜。被囊层下有 8 ~ 9 条肌带环绕着体躯。

观察采集的图像发现:

³https://zh.wikipedia.org/wiki/%e6%a9%88%e8%85%b3%e9%a1%9e

⁴http://baike.baidu.com/view/665478.htm

⁵http://baike.baidu.com/link?url=LWmrgD_DVUcw0upg_zi0LTIJWj6quxa_juRrS3zUt91A-FjPM6VQwYfZ5fFZckzIyEGCaXypikXUGg2JsYMXUX-uFEkmkLqC5lfkxvXvApK3WRBcWQkfbDhMlfTdgrWvh-728gSoUylWZG2UstFK

 $^{^6}$ https://zh.wikipedia.org/wiki/%e6%a8%bd%e6%b5%b7%e9%9e%98%e7%ba%b2

• 由于该类浮游动物比较透明,因此在图像中灰度较浅,并且其桶状轮廓也不完整了,但最明显的是能看到大概 7、8 条环状的肌肉带,有的图像中还能看到内部器官。

Egg 很多种类生物的卵。

观察采集的图像发现:

- 形状大致都呈圆形。
- 有的卵整体灰度都很深; 有的卵中间有一块灰度较深的区域, 四周灰度较浅 (结构像细胞)。
- 由于是不同动物的卵, 因此其灰度特征差异较大。

Fiber (纤维) 非生物。

- 弯曲的线状, 有的纤维有分叉和交叉。
- 该类图像中噪声较多, 纤维的边缘也不是很规则。

Gelatinous (明胶) 该类包括很多不同种类的胶状生物,它们体内都含有很高的水分。包括 Aglaura (属于刺胞动物门,这一个没有搜的中文名字,但也属于水母类)、Medusa (水母,属于刺胞动物门,水螅纲)、Siphonophora (管水母,属于刺胞动物门,水螅纲,管水母目)、Radiolaria (放射虫,属于原声动物门,辐足纲)和 Salps (樽海鞘,属于脊索动物门 Chordata,樽海鞘纲 Thaliacea,组鳃樽目 Salpida)。其中水母大部分都有三个主要部位:圆伞状或是钟状(寺院里面敲得那种钟)的身体,触器和口腕。

观察采集的图像发现:

- 由于该类呈胶状,因此该类物体灰度整体较浅,边缘也不是十分清晰。大部分是水母,有小部分的樽海鞘(与海樽目形态很相似),小部分的放射虫。
- 其中水母也包括很多类, 形态大致呈现以下几种:
 - 一些水母身体呈现类似钟状(这里呈现钟状有长有短,有粗有细,还有的会发生一点弯曲),灰度较浅,内部有一块颜色较深的椭圆形区域。
 - 一些水母也呈钟状, 但内部没有颜色较深的椭圆形区域, 整个身体灰度均匀。
 - 还有的个头稍微偏小,形状有的类似圆形、像半个胶囊(应该是由于拍摄原因,有的拍到顶部,有的拍到侧面),体内有颜色较深的一个大点和几个小点。(可能是灯塔水母)
 - 还有四张看不出形状的, 不知道是什么。

• 放射虫:形状近似圆形(但由于整体灰度较浅,形状保存是完整),中间有一块灰度较深的区域,四周灰度较浅,可以看到淡淡的细纹从中心连接到边界。

Multiple (多个生物) 由于浮游动物的重叠,导致分割过程中多个浮游动物被分割到一张图像上。

Nonbio 非生物的集合。(不符合以上集中浮游动物的形态特征)

Pteropoda (異足目) 属于软体动物门, 腹足纲。

观察采集的图像发现:

- 该类浮游动物灰度较深, 形状总体都呈现一头宽一头窄。
- 形状总体呈现三类:有的呈现象牙状,有点弯曲;有的较粗短,像一顶尖的小帽子;有的呈现细长的三角形状。

参考网站: http://www.imas.utas.edu.au/zooplankton/home。

2. PkID 中用到的特征

PkID 中用到的特征一共有 67 个: Area, Mean, StdDev, Mode, Min, Max, X, Y, XM, YM, Perim., BX, BY, Width, Height, Major, Minor, Angle, Circ., Feret, IntDen, Median, Skew, Kurt, %Area, XStart, YStart, Area_exc, Fractal, Skelarea, Slope, Histcum1, Histcum2, Histcum3, XMg5, YMg5, Compentropy, Compmean, Compslope, CompM1, CompM2, CompM3, Symetrieh, Symetriev, Tag, ESD, Elongation, Range, MeanPos, CentroidsD, CV, SR, PerimAreaexc, FeretAreaexc, PerimFeret, PerimMaj, Circexc, CDexc, Nb1, Nb2, Nb3, Symetriehc, Symetrievc, Convperim, Convarea, Fcons, ThickR (这几个特征没有找到具体的含义)

从训练集的 PID 文件文件中看到, Compentropy, Compmean, Compslope, CompM1, CompM2, CompM3 这 6 个特征在所有图像上的值都为 0, Tag 这个特征在所有图像上的值都为 1, 在训练分类器时是不起作用的,同时这 7 个特征的具体含义也没有找到。

2.1 位置特征

BX 能够包围物体, 且平行于图像两条边的最小外界矩形的左上角顶点的 X 坐标

BY 能够包围物体, 且平行于图像两条边的最小外界矩形的左上角顶点的 Y 坐标

Height 能够包围物体, 且平行于图像两条边的最小外界矩形的高

Width 能够包围物体, 且平行于图像两条边的最小外界矩形的宽

XStart 图像最左上角像素点的 X 坐标

YStart 图像最左上角像素点的 Y 坐标

XM 物体灰度重心的 X 坐标

YM 物体灰度重心的 Y 坐标

XMg5 gamma 值为 51 时的物体灰度重心的 X 坐标(gamma 值表示图像输出值与输入值关系的斜率)

YMg5 gamma 值为 51 时的物体灰度重心的 Y 坐标

X 物体重心点的 X 坐标

Y 物体重心点的 Y 坐标

Angle 浮游动物主轴与图片 x 轴形成的夹角, 在图片切割后旋转图片测量相关参数使用

这类特征反映的是浮游动物在图像中的位置信息,浮游动物特征与位置信息无关,因此它们不适合作为特征直接用于分类(会降低分类的准确率),而是用来计算其他特征(尺寸特征、灰度特征和形状特征)。

2.2 尺寸特征

Area 物体的表面积, 方形像素的个数

Perim 周长, 物体最外层边缘的长度

Major 物体的最佳拟合椭圆的长轴

Minor 物体的最佳拟合椭圆的短轴

Feret Maximum feret diameter (最大费雷特径),沿物体边缘任意两个点的最长距离

Area exc 去掉物体空洞后的表面积, 空洞是指灰度值与背景相同的部分

%area 物体表面积中空洞所占的百分比, 即背景所占的比例

这类特征表示了图像中目标的大小尺寸。它的根据是同类浮游动物的表面积、周长等尺寸特征应该是大致相同的。但是这些特征还存在着问题:1、同类浮游动物在不同时期(如幼年和成年)的个体大小尺寸是不同的。2、拍摄照片的方位不同(比如正面和侧面)得到的尺寸特征也是不同的。

2.3 灰度值特征

Min 物体内部所有像素点的最小灰度值 (0 = black)

Max 物体内部所有像素点的最大灰度值 (255 = white)

IntDen (Integrated density) 总密度,物体内像素点的灰度值的总和 (IntDen = Area * Mean)

Slope 归一化的灰度累计直方图的斜率

Histcum1 灰度累计直方图的值为 25% 时所对应的灰度值

Histcum2 灰度累计直方图的值为 50% 时所对应的灰度值

Histcum3 灰度累计直方图的值为 75% 时所对应的灰度值

CentroidsD $\sqrt{(XM-X)^2+(YM-Y)^2}$ 目标物体重心和灰度重心之间的距离。

根据是同类浮游动物的灰度特征(灰度的范围和整体灰度变换趋势)应该是相似的,但观察图像发现并不是所有同类浮游动物的灰度都是相似的,例如 Gelatinous 类中有的个体灰度跨度较小,整体灰度都较浅,而有的个体灰度跨度较大;同时由于拍摄时光线的原因,会造成同类浮游动物中个体灰度的深浅不一。

2.4 形状特征

Fractal 物体边界的分形维数 (Berube and Jebrak, 1999), 表明物体边界的不规则程度

Skelarea 骨架像素的表面积 (在二值图像中,不断地从物体边缘处减去像素点直到仅剩一个像素的宽度,最后所得图形的像素点数)

Symetrieh 关于水平轴的对称性

Symetriev 关于竖直轴的对称性

Circ $Circularity = (4*Pi*Area)/Perim^2$ 圆形度,表征物体接近圆的程度,值等于1时,说明物体为正圆形,值越接近0,物体体形越长。

ESD $2 \times \sqrt{\frac{Area}{\pi}}$ 相应球形直径 (也称为等效球直径),是指一不规则外形物体,其体积相同球体的直径。

Elongation $\frac{Major}{Minor}$ 延伸率,最佳拟合椭圆的长轴和短轴之比。

Circexc $\frac{4 \times \pi Area_exc}{Perim^2}$ 去掉目标内部空洞的圆形度。

这类特征描述的是浮游动物的灰度特征,根据的是不同种类浮游动物的形状不同。存在的问题是有不同种类的浮游动物形状相似,例如 Appendicularia 和 Chaetognatha, Bubble 和 Egg;也有同种浮游动物形状不同,例如 Decapoda、Gelatinous。

2.5 生物统计特征

Mean 物体内的平均灰度值;物体中所有像素点的灰度值的总和除以总的像素个数

Range Max-Min 极差, 灰度的范围。

CV $100 \times \frac{StdDev}{Mean}$ 变异系数(也称离散系数或相对偏差),是灰度标准偏差与平均值之比,用百分数表示。

$$\mathbf{SR}\ 100 imes rac{StdDev}{Max-Min}$$
 灰度标准差比上极差。

Skew 灰度直方图的偏度, 衡量灰度分布的不对称性。偏度为负就意味着在概率密度函数左侧的尾部 比右侧的长, 绝大多数的值位于平均值的右侧。偏度为正就意味着在概率密度函数右侧的尾部 比左侧的长, 绝大多数的值位于平均值的左侧。偏度为零就表示数值相对均匀地分布在平均值 的两侧, 但不一定意味着其为对称分布。

Kurt 峰度, 描述灰度直方图的陡缓程度。

 $Mean_exc$ 物体内部去掉空洞后的平均灰度值 ($Mean_exc = IntDen/Area_exc$)

Median 物体内像素的灰度值的中值

StdDev 物体内像素的灰度值的标准差

Mode Modal grey value within the object (可能表示灰度的众数)

2.6 还没有查找到的特征

$${\bf MeanPos} \ \frac{Mean-Max}{Max-Min}$$

PerimAreaexc
$$\frac{Perim}{\sqrt{Area_exc}}$$

FeretAreaexc
$$\frac{Feret}{\sqrt{Area_exc}}$$

PerimMaj
$$\frac{Perim}{Major}$$

CDexc
$$\frac{\sqrt{(XM-X)^2+(YM-Y)^2}}{\sqrt{Area_exc}}$$

Nb1 在图像在用阈值 Histcum1 二值化后剩余对象的数量

Nb2 在图像在用阈值 Histcum2 二值化后剩余对象的数量

Nb3 在图像在用阈值 Histcum3 二值化后剩余对象的数量

Symetriehc 在图像在用阈值 Histcum1 二值化后物体的水平对称性

Symetrievc 在图像在用阈值 Histcum1 二值化后物体的垂直对称性

Convperim 包围物体凸包的周长

Convarea 包围物体凸包的面积

Fcons 灰度对比度

ThickR 物体最大厚度和平均厚度(不包括最大厚度)的比值

2.7 其他特征

这些特征并没有在 PkID 中使用, 而是在作者的一个幻灯片中提到的新特征。

Neighborhood gray-tone difference Matrix (NGTDM) 邻域灰度差别矩阵

Cumulation Histogram 累积直方图

Convex Area

Symmetry

Thickness Ratio

3. 采用 PkID 中的特征进行实验

3.1 采用 PkID 中的 67 个特征进行实验

3.1.1 PkID 中 67 个特征 +SVM Linear

在 PkID 软件中,选用 67 个特征和 SVM Linear 分类器进行训练和分类得到的结果如图 1,其分类准确率为 70.6%。

| Erro | Error rate Values prediction | | | | | | 0.2593 | | | | | | | | | | | | | |
|------------------|-------------------------------|-----------|------------------|----------------|--------|--------------|------------------|----------|-------------|-----------|------|-------|------------|----------|--------|-----------|-------|--|--|--|
| Values p | orediction | on | | | | | | Co | onfusion ma | trix | | | | | | | | | | |
| Value | Recall | 1- | | Appendicularia | Bubble | Chaetognatha | CladoceraPenilia | Copepoda | Decapoda | Doliolida | Egg | Fiber | Gelatinous | Multiple | Nonbio | Pteropoda | Sum | | | |
| | | Precision | Appendicularia | 2289 | 0 | 92 | 0 | 6 | 11 | 0 | 1 | 45 | 6 | 123 | 151 | 1 | 2725 | | | |
| Appendicularia | 0.8400 | 0.1960 | Bubble | 0 | 577 | 0 | 0 | 20 | 0 | 0 | 52 | 0 | 0 | 3 | 73 | 0 | 725 | | | |
| Bubble | 0.7959 | 0.2640 | Chaetognatha | 133 | 0 | 1550 | 0 | 0 | 10 | 0 | 0 | 14 | 1 | 20 | 17 | 0 | 1745 | | | |
| Chaetognatha | 0.8883 | 0.0941 | CladoceraPenilia | 0 | 0 | 0 | 3651 | 18 | 0 | 4 | 0 | 0 | 29 | 5 | 918 | 0 | 4625 | | | |
| CladoceraPenilia | 0.7894 | 0.1993 | Copepoda | 0 | 0 | 0 | 17 | 5884 | 187 | 0 | 0 | 2 | 1 | 180 | 1011 | 88 | 7370 | | | |
| Copepoda | 0.7984 | 0.2842 | Decapoda | 2 | 0 | 0 | 0 | 470 | 1879 | 0 | 0 | 0 | 0 | 88 | 339 | 7 | 2785 | | | |
| Decapoda | 0.6747 | 0.2538 | Doliolida | 0 | 0 | 0 | 8 | 0 | 0 | 1069 | 0 | 0 | 131 | 2 | 215 | 0 | 1425 | | | |
| Doliolida | 0.7502 | 0.1790 | Egg | 0 | 129 | 0 | 25 | 27 | 2 | 0 | 1142 | 0 | 65 | 0 | 320 | 10 | 1720 | | | |
| Egg | 0.6640 | 0.1766 | Fiber | 44 | 0 | 28 | 0 | 0 | 0 | 0 | 9 | 1116 | 0 | 39 | 284 | 0 | 1520 | | | |
| Fiber | 0.7342 | 0.2146 | Gelatinous | 6 | 0 | 1 | 119 | 21 | 10 | 142 | 36 | 0 | 2060 | 73 | 540 | 2 | 3010 | | | |
| Gelatinous | 0.6844 | 0.2238 | Multiple | 264 | 0 | 21 | 101 | 589 | 174 | 15 | 8 | 50 | 87 | 953 | 897 | 16 | 3175 | | | |
| Multiple | 0.3002 | 0.4646 | Nonbio | 105 | 78 | 16 | 639 | 946 | 185 | 72 | 123 | 194 | 274 | 288 | 12375 | 95 | 15390 | | | |
| Nonbio | 0.8041 | 0.2890 | Pteropoda | 4 | 0 | 3 | 0 | 239 | 60 | 0 | 16 | 0 | 0 | 6 | 266 | 491 | 1085 | | | |
| Pteropoda | 0.4525 | 0.3085 | Sum | 2847 | 784 | 1711 | 4560 | 8220 | 2518 | 1302 | 1387 | 1421 | 2654 | 1780 | 17406 | 710 | 47300 | | | |

图 1: PkID 软件中 SVM Linear 分类器分类结果

PkID 系统中 SVM Linear 的参数如图 2。根据图中的参数, 自己设计的 SVM Linear 分类器得到的混淆矩阵如图 3。在采用 SVM 进行训练之前, 要先对特征进行归一化。

| Parameters | |
|---------------------------------------------|--------|
| Kernel type | LINEAR |
| Degree (poly) | 1.00 |
| Gamma in kernel function (poly/rbf/sigmoid) | 0 |
| Coef0 in kernel function(poly/sigmoid) | 0 |
| Tolerance of termination criteria (eps) | 0.0001 |
| C (Complexity Cost) | 1 |
| Compute probability estimates | 0 |
| Use shrinking heuristics | 1 |
| Data normalization | 1 |

图 2: PkID 系统中 SVM Linear 的参数

| | Appendicularia | Bubble | Chaetognatha | CladoceraPenilia | Copepoda | Decapoda | Doliolida | Egg | Fiber | Gelatinous | Multiple | Nonbio | Pteropoda | Total | Recall | 1-Precision |
|------------------|----------------|--------|--------------|------------------|----------|----------|-----------|------|-------|------------|----------|--------|-----------|-------|-----------|-------------|
| Appendicularia | 2325 | 0 | 95 | 3 | 9 | 15 | 0 | 0 | 51 | 5 | 106 | 116 | 0 | 2725 | 0.853211 | 0. 202948 |
| Bubble | 0 | 591 | 0 | 1 | 17 | 0 | 0 | 60 | 0 | 0 | 9 | 47 | 0 | 725 | 0.815172 | 0.316763 |
| Chaetognatha | 144 | 0 | 1556 | 0 | 0 | 6 | 0 | 0 | 9 | 0 | 14 | 16 | 0 | 1745 | 0.891691 | 0.099016 |
| CladoceraPenilia | 0 | 0 | 0 | 3797 | 19 | 0 | 8 | 1 | 0 | 30 | 5 | 765 | 0 | 4625 | 0.820973 | 0. 196402 |
| Copepoda | 0 | 0 | 0 | 14 | 6119 | 197 | 0 | 0 | 2 | 3 | 167 | 802 | 66 | 7370 | 0.830258 | 0. 296586 |
| Decapoda | 1 | 0 | 0 | 0 | 565 | 1894 | 0 | 0 | 0 | 0 | 68 | 247 | 10 | 2785 | 0.680072 | 0. 261022 |
| Doliolida | 0 | 0 | 0 | 16 | 0 | 0 | 1148 | 0 | 0 | 94 | 0 | 167 | 0 | 1425 | 0.805614 | 0. 157122 |
| Egg | 0 | 172 | 0 | 28 | 90 | 3 | 1 | 1117 | 0 | 61 | 0 | 240 | 8 | 1720 | 0.649419 | 0. 176254 |
| Fiber | 54 | 0 | 31 | 0 | 0 | 0 | 0 | 9 | 1108 | 0 | 43 | 275 | 0 | 1520 | 0.728947 | 0. 216407 |
| Gelatinous | 8 | 0 | 2 | 131 | 22 | 13 | 127 | 44 | 2 | 2103 | 60 | 498 | 0 | 3010 | 0.698671 | 0. 213538 |
| Multiple | 260 | 1 | 23 | 114 | 599 | 189 | 15 | 12 | 56 | 107 | 948 | 840 | 11 | 3175 | 0. 298583 | 0.443662 |
| Nonbio | 120 | 101 | 17 | 621 | 1003 | 184 | 63 | 99 | 186 | 270 | 279 | 12346 | 101 | 15390 | 0.802209 | 0. 256265 |
| Pteropoda | 5 | 0 | 3 | 0 | 256 | 62 | 0 | 14 | 0 | 1 | 5 | 241 | 498 | 1085 | 0. 458986 | 0. 282421 |
| Total | 2917 | 865 | 1727 | 4725 | 8699 | 2563 | 1362 | 1356 | 1414 | 2674 | 1704 | 16600 | 694 | 47300 | 0.717985 | 0. 239877 |

图 3: PkID-SVM 交叉验证, folds 取 2, repetitions 取 5

3.1.2 PkID 中 67 个特征 +RandomForest

在 PkID 软件中,选用 67 个特征和随机森林分类器进行训练和分类得到的结果如图 4,其分类准确率为 75.4%。

| Erro | or rate | | | | | | | | 0.2155 | | | | | | | | |
|------------------|----------|-----------|------------------|----------------|--------|--------------|------------------|----------|------------|-----------|------|-------|------------|----------|--------|-----------|-------|
| Values | predicti | on | | | | | | Co | nfusion ma | trix | | | | | | | |
| Value | Recall | 1- | | Appendicularia | Bubble | Chaetognatha | CladoceraPenilia | Copepoda | Decapoda | Doliolida | Egg | Fiber | Gelatinous | Multiple | Nonbio | Pteropoda | Sum |
| | | Precision | Appendicularia | 2194 | 0 | 111 | 8 | 1 | 19 | 0 | 0 | 57 | 1 | 157 | 177 | 0 | 2725 |
| Appendicularia | 0.8051 | 0.2039 | Bubble | 0 | 606 | 0 | 0 | 0 | 0 | 0 | 29 | 0 | 0 | 3 | 87 | 0 | 725 |
| Bubble | 0.8359 | 0.1049 | Chaetognatha | 137 | 0 | 1559 | 0 | 5 | 2 | 0 | 0 | 7 | 1 | 18 | 14 | 2 | 1745 |
| Chaetognatha | 0.8934 | 0.0983 | CladoceraPenilia | 0 | 0 | 0 | 4084 | 22 | 0 | 7 | 0 | 0 | 7 | 19 | 486 | 0 | 4625 |
| CladoceraPenilia | 0.8830 | 0.1044 | Copepoda | 3 | 0 | 0 | 9 | 6205 | 145 | 0 | 0 | 0 | 1 | 234 | 745 | 28 | 7370 |
| Copepoda | 0.8419 | 0.2108 | Decapoda | 4 | 0 | 0 | 0 | 339 | 2225 | 0 | 0 | 0 | 0 | 87 | 126 | 4 | 2785 |
| Decapoda | 0.7989 | 0.2157 | Doliolida | 0 | 0 | 0 | 2 | 1 | 0 | 1065 | 0 | 0 | 156 | 7 | 194 | 0 | 1425 |
| Doliolida | 0.7474 | 0.1418 | Egg | 0 | 66 | 0 | 13 | 2 | 1 | 1 | 1277 | 0 | 28 | 3 | 320 | 9 | 1720 |
| Egg | 0.7424 | 0.1401 | Fiber | 59 | 0 | 18 | 0 | 0 | 0 | 0 | 0 | 1127 | 0 | 62 | 254 | 0 | 1520 |
| Fiber | 0.7414 | 0.2069 | Gelatinous | 6 | 0 | 0 | 72 | 10 | 5 | 93 | 39 | 0 | 2081 | 79 | 624 | 1 | 3010 |
| Gelatinous | 0.6914 | 0.2042 | Multiple | 267 | 0 | 23 | 51 | 491 | 202 | 9 | 23 | 45 | 91 | 1028 | 941 | 4 | 3175 |
| Multiple | 0.3238 | 0.5093 | Nonbio | 86 | 5 | 17 | 321 | 716 | 189 | 66 | 117 | 185 | 246 | 390 | 12937 | 115 | 15390 |
| Nonbio | 0.8406 | 0.2452 | Pteropoda | 0 | 0 | 1 | 0 | 70 | 49 | 0 | 0 | 0 | 3 | 8 | 235 | 719 | 1085 |
| Pteropoda | 0.6627 | 0.1848 | Sum | 2756 | 677 | 1729 | 4560 | 7862 | 2837 | 1241 | 1485 | 1421 | 2615 | 2095 | 17140 | 882 | 47300 |

图 4: PkID 软件中随机森林分类器分类结果

自己设计随机森林分类器,对67个特征进行训练和分类得到的混淆矩阵如图5。

| | Appendicularia | Bubble | Chaetognatha | CladoceraPenilia | Copepoda | Decapoda | Doliolida | Egg | Fiber | Gelatinous | Multiple | Nonbio | Pteropoda | Total | Recal1 | 1-Precision |
|------------------|----------------|--------|--------------|------------------|----------|----------|-----------|------|-------|------------|----------|--------|-----------|-------|---------|-------------|
| Appendicularia | 2220 | 0 | 110 | 13 | 1 | 21 | 0 | 0 | 61 | 2 | 137 | 160 | 0 | 2725 | 0.8147 | 0. 195069 |
| Bubble | 0 | 629 | 0 | 0 | 3 | 0 | 0 | 28 | 0 | 0 | 4 | 61 | 0 | 725 | 0.8676 | 0. 096264 |
| Chaetognatha | 147 | 0 | 1550 | 0 | 2 | 6 | 0 | 0 | 4 | 1 | 23 | 12 | 0 | 1745 | 0. 8883 | 0. 093567 |
| CladoceraPenilia | 0 | 0 | 0 | 4156 | 18 | 0 | 7 | 0 | 0 | 1 | 11 | 432 | 0 | 4625 | 0.8986 | 0. 079717 |
| Copepoda | 4 | 0 | 0 | 7 | 6309 | 161 | 0 | 0 | 0 | 0 | 193 | 679 | 17 | 7370 | 0.856 | 0. 190323 |
| Decapoda | 1 | 0 | 0 | 0 | 316 | 2270 | 0 | 0 | 0 | 0 | 76 | 121 | 1 | 2785 | 0.8151 | 0. 221269 |
| Doliolida | 0 | 0 | 0 | 1 | 0 | 0 | 1104 | 0 | 0 | 160 | 7 | 153 | 0 | 1425 | 0. 7747 | 0. 110395 |
| Egg | 0 | 57 | 0 | 15 | 3 | 1 | 0 | 1361 | 0 | 30 | 1 | 246 | 6 | 1720 | 0. 7913 | 0. 098675 |
| Fiber | 46 | 0 | 19 | 0 | 0 | 0 | 5 | 0 | 1129 | 0 | 67 | 254 | 0 | 1520 | 0. 7428 | 0. 204369 |
| Gelatinous | 6 | 0 | 0 | 49 | 12 | 6 | 67 | 19 | 0 | 2127 | 88 | 635 | 1 | 3010 | 0. 7066 | 0. 196145 |
| Multiple | 266 | 2 | 16 | 38 | 452 | 219 | 13 | 17 | 43 | 93 | 1054 | 955 | 7 | 3175 | 0. 332 | 0. 481299 |
| Nonbio | 68 | 8 | 13 | 237 | 626 | 187 | 45 | 85 | 182 | 227 | 366 | 13240 | 106 | 15390 | 0.8603 | 0. 230635 |
| Pteropoda | 0 | 0 | 2 | 0 | 50 | 44 | 0 | 0 | 0 | 5 | 5 | 261 | 718 | 1085 | 0.6618 | 0. 161215 |
| Total | 2758 | 696 | 1710 | 4516 | 7792 | 2915 | 1241 | 1510 | 1419 | 2646 | 2032 | 17209 | 856 | 47300 | 0. 77 | 0. 181457 |

图 5: PkID-RF 交叉验证, folds 取 2, repetitions 取 5

3.2 将 67 个特征分类进行实验

3.2.1 形状特征 +SVM Linear

在 PkID 软件中, 从 67 个特征中选取形状特征 (8 个), 并采用 SVM Linear 进行训练和分类得到的结果如图 6, 其分类准确率为 37%。

| Erro | r rate | | | 0.5353 | | | | | | | | | | | | | |
|------------------|------------|-----------|------------------|----------------|--------|--------------|------------------|----------|-------------|-----------|------|-------|------------|----------|--------|-----------|-------|
| Values p | orediction | on | | | | | | Co | onfusion ma | trix | | | | | | | |
| Value | Recall | 1- | | Appendicularia | Bubble | Chaetognatha | CladoceraPenilia | Copepoda | Decapoda | Doliolida | Egg | Fiber | Gelatinous | Multiple | Nonbio | Pteropoda | Sum |
| | | Precision | Appendicularia | 1661 | 0 | 102 | 0 | 9 | 54 | 0 | 0 | 153 | 5 | 41 | 700 | 0 | 2725 |
| Appendicularia | 0.6095 | 0.4093 | Bubble | 0 | 0 | 0 | 0 | 1 | 0 | 0 | 415 | 0 | 0 | 0 | 309 | 0 | 725 |
| Bubble | 0.0000 | 1.0000 | Chaetognatha | 227 | 0 | 1410 | 0 | 0 | 18 | 0 | 0 | 61 | 2 | 19 | 8 | 0 | 1745 |
| Chaetognatha | 0.8080 | 0.1334 | CladoceraPenilia | 0 | 0 | 0 | 215 | 52 | 0 | 0 | 1 | 0 | 39 | 0 | 4318 | 0 | 4625 |
| CladoceraPenilia | 0.0465 | 0.7018 | Copepoda | 14 | 0 | 0 | 17 | 617 | 63 | 0 | 0 | 0 | 16 | 70 | 6572 | 1 | 7370 |
| Copepoda | 0.0837 | 0.6425 | Decapoda | 71 | 0 | 1 | 8 | 147 | 764 | 0 | 0 | 0 | 25 | 121 | 1648 | 0 | 2785 |
| Decapoda | 0.2743 | 0.4264 | Doliolida | 0 | 0 | 0 | 1 | 3 | 0 | 478 | 0 | 0 | 495 | 1 | 447 | 0 | 1425 |
| Doliolida | 0.3354 | 0.5047 | Egg | 0 | 0 | 0 | 18 | 0 | 0 | 1 | 1008 | 0 | 72 | 0 | 621 | 0 | 1720 |
| Egg | 0.5860 | 0.4886 | Fiber | 167 | 0 | 53 | 0 | 0 | 0 | 0 | 6 | 918 | 0 | 28 | 348 | 0 | 1520 |
| Fiber | 0.6039 | 0.3035 | Gelatinous | 7 | 0 | 0 | 23 | 73 | 49 | 201 | 303 | 0 | 1482 | 21 | 840 | 11 | 3010 |
| Gelatinous | 0.4924 | 0.3789 | Multiple | 295 | 0 | 25 | 41 | 126 | 191 | 46 | 17 | 34 | 70 | 307 | 2023 | 0 | 3175 |
| Multiple | 0.0967 | 0.5518 | Nonbio | 309 | 0 | 31 | 397 | 619 | 120 | 238 | 204 | 152 | 166 | 73 | 13081 | 0 | 15390 |
| Nonbio | 0.8500 | 0.5874 | Pteropoda | 61 | 0 | 5 | 1 | 79 | 73 | 1 | 17 | 0 | 14 | 4 | 791 | 39 | 1085 |
| Pteropoda | 0.0359 | 0.2353 | Sum | 2812 | 0 | 1627 | 721 | 1726 | 1332 | 965 | 1971 | 1318 | 2386 | 685 | 31706 | 51 | 47300 |

图 6: 采用形状特征 SVM Linear 进行分类的结果

3.2.2 形状特征 +RandomForest

在 PkID 软件中, 从 67 个特征中选取形状特征 (8 个), 并采用随机森林进行训练和分类得到的结果如图 7, 其分类准确率为 63.1%。

| Frro | or rate | | | | | | | | 0.3285 | | | | | | | | |
|------------------|---------|-----------|------------------|----------------|--------|--------------|------------------|----------|-------------|-----------|------|-------|------------|----------|--------|-----------|-------|
| Values p | | on | | | | | | Co | onfusion ma | trix | | | | | | | |
| Value | Recall | 1- | | Appendicularia | Bubble | Chaetognatha | CladoceraPenilia | Copepoda | Decapoda | Doliolida | Egg | Fiber | Gelatinous | Multiple | Nonbio | Pteropoda | Sum |
| value | necan | Precision | Appendicularia | 1909 | 0 | 129 | 3 | 8 | 54 | 5 | 0 | 110 | 1 | 188 | 289 | 29 | 2725 |
| Appendicularia | 0.7006 | 0.3417 | Bubble | 0 | 432 | 0 | 0 | 3 | 0 | 0 | 149 | 0 | 0 | 0 | 141 | 0 | 725 |
| Bubble | 0.5959 | 0.3143 | Chaetognatha | 194 | 0 | 1487 | 0 | 0 | 8 | 0 | 0 | 22 | 0 | 25 | 8 | 1 | 1745 |
| Chaetognatha | 0.8521 | 0.1053 | CladoceraPenilia | 0 | 0 | 0 | 3482 | 141 | 27 | 2 | 4 | 0 | 15 | 45 | 900 | 9 | 4625 |
| CladoceraPenilia | 0.7529 | 0.3051 | Copepoda | 12 | 0 | 0 | 197 | 5403 | 205 | 8 | 0 | 1 | 35 | 280 | 1214 | 15 | 7370 |
| Copepoda | 0.7331 | 0.3082 | Decapoda | 57 | 0 | 5 | 71 | 284 | 1857 | 0 | 0 | 0 | 15 | 174 | 311 | 11 | 2785 |
| Decapoda | 0.6668 | 0.3284 | Doliolida | 0 | 0 | 0 | 17 | 41 | 0 | 852 | 2 | 0 | 306 | 7 | 198 | 2 | 1425 |
| Doliolida | 0.5979 | 0.3804 | Egg | 0 | 175 | 0 | 81 | 0 | 0 | | 962 | 2 | 71 | 0 | 421 | 4 | 1720 |
| Egg | 0.5593 | 0.3109 | Fiber | 88 | 0 | 15 | 0 | 4 | 0 | | 5 | 1088 | 1 | 59 | 258 | 2 | 1520 |
| Fiber | 0.7158 | 0.3008 | Gelatinous | 7 | 3 | 0 | 84 | 121 | 13 | | 127 | 0 | 1697 | 46 | 593 | | 3010 |
| Gelatinous | 0.5638 | 0.3279 | Multiple | 312 | 0 | 12 | 220 | | 242 | | 11 | 86 | 93 | | 986 | 11 | 3175 |
| Multiple | 0.2243 | 0.6229 | Nonbio | 258 | 20 | 6 | 845 | | 307 | 188 | 136 | 247 | 256 | | 11333 | | 15390 |
| Nonbio | 0.7364 | 0.3324 | Pteropoda | 63 | 0 | 8 | 11 | 33 | 52 | 2 | 0 | 0 | 35 | 8 | 324 | 549 | 1085 |
| Pteropoda | 0.5060 | 0.3189 | Sum | 2900 | 630 | 1662 | 5011 | 7810 | | 1375 | 1396 | 1556 | 2525 | 1888 | 16976 | | 47300 |
| | | | oum | 2900 | 630 | 1662 | 5011 | /810 | 2/60 | 13/5 | 1396 | 1556 | 2525 | 1888 | 16976 | 806 | 4/300 |

图 7: 采用形状特征随机森林进行分类的结果

3.2.3 灰度特征 +SVM Linear

在 PkID 软件中, 从 67 个特征中选取灰度特征 (18 个, 包括生物统计特征), 并采用 SVM Linear 进行训练和分类得到的结果如图 8, 其分类准确率为 37.6%。

| Erro | or rate | | | 0.4549 | | | | | | | | | | | | | |
|------------------|------------|-----------|------------------|----------------|--------|--------------|------------------|----------|-------------|-----------|-----|-------|------------|----------|--------|-----------|-------|
| Values p | prediction | on | | | | | | Co | nfusion mat | trix | | | | | | | |
| Value | Recall | 1- | | Appendicularia | Bubble | Chaetognatha | CladoceraPenilia | Copepoda | Decapoda | Doliolida | Egg | Fiber | Gelatinous | Multiple | Nonbio | Pteropoda | Sum |
| 1.00 | | Precision | Appendicularia | 1884 | 0 | 178 | 102 | 36 | 15 | 0 | 0 | 0 | 49 | 100 | 361 | 0 | 2725 |
| Appendicularia | 0.6914 | 0.3144 | Bubble | 0 | 41 | 0 | 5 | 94 | 0 | 0 | 46 | 0 | 0 | 1 | 538 | 0 | 725 |
| Bubble | 0.0566 | 0.6168 | Chaetognatha | 329 | 0 | 948 | 5 | 31 | 5 | 5 | 0 | 0 | 48 | 76 | 298 | 0 | 1745 |
| Chaetognatha | 0.5433 | 0.2582 | CladoceraPenilia | 0 | 0 | 0 | 2042 | 12 | 0 | 7 | 0 | 0 | 2 | 1 | 2561 | 0 | 4625 |
| CladoceraPenilia | 0.4415 | 0.4855 | Copepoda | 0 | 6 | 0 | 28 | 5038 | 301 | 0 | 30 | 0 | 0 | 81 | 1860 | 26 | 7370 |
| Copepoda | 0.6836 | 0.4252 | Decapoda | 0 | 0 | 0 | 3 | 737 | 1518 | 0 | 13 | 0 | 0 | 66 | 433 | 15 | 2785 |
| Decapoda | 0.5451 | 0.3286 | Doliolida | 1 | 0 | 0 | 10 | 0 | 0 | 528 | 0 | 0 | 63 | 6 | 817 | 0 | 1425 |
| Doliolida | 0.3705 | 0.4477 | Egg | 0 | 3 | 0 | 67 | 417 | 35 | 4 | 343 | 0 | 14 | 9 | 776 | 52 | 1720 |
| Egg | 0.1994 | 0.6163 | Fiber | 49 | 0 | 14 | 40 | 26 | 0 | 19 | 0 | 3 | 6 | 22 | 1341 | 0 | 1520 |
| Fiber | 0.0020 | 0.0000 | Gelatinous | 78 | 1 | 52 | 476 | 26 | 18 | 217 | 3 | 0 | 622 | 144 | 1373 | 0 | 3010 |
| Gelatinous | 0.2066 | 0.4842 | Multiple | 276 | 2 | 61 | 331 | 683 | 162 | 35 | 12 | 0 | 153 | 522 | 930 | 8 | 3175 |
| Multiple | 0.1644 | 0.5639 | Nonbio | 126 | 49 | 25 | 860 | 1309 | 164 | 141 | 185 | 0 | 249 | 163 | 12071 | 48 | 15390 |
| Nonbio | 0.7843 | 0.4873 | Pteropoda | 5 | 5 | 0 | 0 | 356 | 43 | 0 | 262 | 0 | 0 | 6 | 187 | 221 | 1085 |
| Pteropoda | 0.2037 | 0.4027 | Sum | 2748 | 107 | 1278 | 3969 | 8765 | 2261 | 956 | 894 | 3 | 1206 | 1197 | 23546 | 370 | 47300 |

图 8: 采用灰度特征 SVM Linear 进行分类的结果

3.2.4 灰度特征 +RandomForest

在 PkID 软件中, 从 67 个特征中选取灰度特征 (18 个, 包括生物统计特征), 并采用随机森林进行训练和分类得到的结果如图 9, 其分类准确率为 61.3%。

| rate | | | | | | | | 0.3204 | | | | | | | | |
|----------|-----------------------------------------------------------------------------------------------------------|------------------------------------------------------------------------------------------------------------------------------------------------------------------------------------------------|----------------|---------------------|-----------------------------------------------------------------------------------------------------------------------------------------------------------------------------------------------------------------------------------------------------------------------------------------------------------------------------------------------------------------------------------------------------------------------------------------------------------|---------------------------------------------------------|-----------------------------------------------------------|----------------------------------------------------------------------|-----------|------|-------|------------------------------------------------------------------------------------------------------------------------------------------------------------------------------------------------------------------------------------------------------------------------------------------------------------------------------------------------------------------------------------------------------------------------------------------------------------------------------------------------------------------------------------------------------------------------------------------------------------------------------------------------------------------------------------------------------------------------------------------------------------------------------------------------------------------------------------------------------------------------------------------------------------------------------------------------------------------------------------------------------------------------------------------------------------------------------------------------------------------------------------------------------------------------------------------------------------------------------------------------------------------------------------------------------------------------------------------------------------------------------------------------------------------------------------------------------------------------------------------------------------------------------------------------------------------------------------------------------------------------------------------------------------------------------------------------------------------------------------------------------------------------------------------------------------------------------------------------------------------------------------------------------------------------------------------------------------------------------------------------------------------------------------------------------------------------------------------------------------------------------|----------|--------|-----------|-------|
| redictio | on | | | | | | Co | onfusion ma | trix | | | | | | | |
| Recall | 1- | | Appendicularia | Bubble | Chaetognatha | CladoceraPenilia | Copepoda | Decapoda | Doliolida | Egg | Fiber | Gelatinous | Multiple | Nonbio | Pteropoda | Sum |
| | Precision | Appendicularia | 1951 | 0 | 235 | 54 | 24 | 25 | 4 | 0 | 36 | 41 | 150 | 205 | 0 | 2725 |
| 0.7160 | 0.2929 | Bubble | 0 | 592 | 0 | 0 | 3 | 0 | 0 | 8 | 0 | 0 | 5 | 117 | 0 | 725 |
| 0.8166 | 0.1834 | Chaetognatha | 229 | 0 | 1270 | 0 | 11 | 3 | 5 | 0 | 5 | 46 | 73 | 99 | 4 | 1745 |
| 0.7278 | 0.2853 | CladoceraPenilia | 8 | 0 | 0 | 4008 | 30 | 0 | 19 | 2 | 0 | 49 | 39 | 470 | 0 | 4625 |
| 0.8666 | 0.1918 | Copepoda | 10 | 0 | 7 | 13 | 5645 | 408 | 0 | 9 | 0 | 11 | 196 | 987 | 84 | 7370 |
| 0.7659 | 0.3438 | Decapoda | 6 | 0 | 0 | 1 | 527 | 2022 | 0 | 5 | 0 | 2 | 86 | 114 | 22 | 2785 |
| 0.7260 | 0.3090 | Doliolida | 1 | 0 | 0 | 23 | 0 | 0 | 1026 | 0 | 0 | 187 | 24 | 164 | 0 | 1425 |
| 0.7200 | 0.2914 | Egg | 0 | 41 | 0 | 12 | 188 | 45 | 0 | 799 | 2 | 23 | 49 | 491 | 70 | 1720 |
| 0.4645 | 0.2455 | Fiber | 75 | 0 | 9 | 37 | 28 | 0 | 12 | 0 | 396 | 6 | 34 | 923 | 0 | 1520 |
| 0.2605 | 0.3333 | Gelatinous | 56 | 0 | 78 | 191 | 16 | 11 | 200 | 7 | 2 | 1456 | 203 | 789 | 1 | 3010 |
| 0.4837 | 0.4245 | Multiple | 297 | 6 | 100 | 90 | 627 | 172 | 38 | 34 | 8 | 220 | 783 | 777 | 23 | 3175 |
| 0.2466 | 0.6139 | Nonbio | 126 | 86 | 78 | 526 | 1194 | 187 | 144 | 163 | 145 | 486 | 378 | 11753 | 124 | 15390 |
| 0.7637 | 0.3136 | Pteropoda | 0 | 0 | 0 | 4 | 310 | 53 | 0 | 32 | 0 | 3 | 8 | 233 | 442 | 1085 |
| 0.4074 | 0.4260 | Sum | 2759 | 725 | 1777 | 4959 | 8603 | 2926 | 1448 | 1059 | 594 | 2530 | 2028 | 17122 | 770 | 47300 |
| | 0.7160 0.8166 0.7278 0.8666 0.7260 0.7260 0.7200 0.4645 0.2605 0.2466 0.737 | ediction 1- Precision 0.7160 0.2929 0.8166 0.1834 0.7278 0.2853 0.8666 0.1918 0.7659 0.3438 0.7260 0.3090 0.7200 0.2914 0.4645 0.2455 0.2605 0.3333 0.4837 0.4245 0.2466 0.6139 0.7637 0.3136 | 1- | Appendicularia 1- | Appendicularia Bubble Appendicularia Bubble Appendicularia 1951 0 0.27160 0.2929 Bubble 0 592 0.27278 0.2853 CladoceraPenilia 8 0 0.7659 0.3438 Decapoda 10 0 0.7659 0.3438 Decapoda 6 0 0.7020 0.2914 Egg 0 41 0.4645 0.2455 Fiber 75 0 0.2605 0.3333 Gelatinous 56 0 0.2466 0.6139 Nonbio 126 86 0.6057 0.2605 0.3136 Pteropoda 0 0 0 0 0 | Appendicularia Appendicularia Bubble Chaetognatha | Appendicularia Bubble Chaetognatha CladoceraPenilia | Appendicularia Bubble Chaetognatha CladoceraPenilia Copepoda | | | | Copenda Cope | | | | |

图 9: 采用灰度特征随机森林进行分类的结果

3.2.5 生物统计特征 +SVM Linear

在 PkID 软件中, 从 67 个特征中选取生物统计特征 (16 个, 包括没有查找到的特征), 并采用 SVM Linear 进行训练和分类得到的结果如图 10, 其分类准确率为 52.4%。

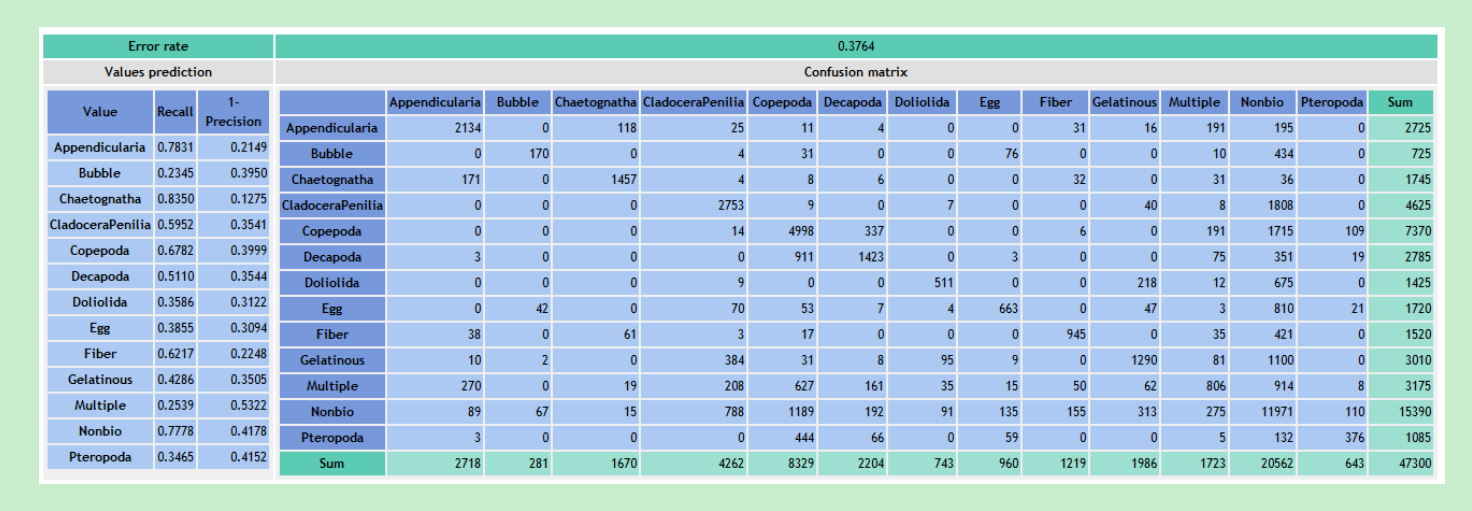


图 10: 采用生物统计特征 SVM Linear 进行分类的结果

3.2.6 生物统计特征 +RandomForest

在 PkID 软件中, 从 67 个特征中选取生物统计特征 (16 个, 包括没有查找到的特征), 并采用随机森林进行训练和分类得到的结果如图 11. 其分类准确率为 69.9%。

| Error | rate | | | | | | | | 0.2699 | | | | | | | | |
|--------------------|----------|-----------|------------------|----------------|--------|--------------|------------------|----------|------------|-----------|------|-------|------------|----------|--------|-----------|-------|
| Values pre | redictio | n | | | | | | Co | nfusion ma | trix | | | | | | | |
| Value R | Recall | 1- | | Appendicularia | Bubble | Chaetognatha | CladoceraPenilia | Copepoda | Decapoda | Doliolida | Egg | Fiber | Gelatinous | Multiple | Nonbio | Pteropoda | Sum |
| , raide | necun | Precision | Appendicularia | 2133 | 0 | 137 | 0 | 6 | 22 | 3 | 0 | 55 | 15 | 204 | 150 | 0 | 272 |
| Appendicularia 0 | 0.7828 | 0.2412 | Bubble | 0 | 579 | 0 | 0 | 15 | 1 | 0 | 29 | 0 | 6 | 14 | 81 | 0 | 72 |
| Bubble 0 | 0.7986 | 0.1201 | Chaetognatha | 210 | 0 | 1435 | 0 | 11 | 8 | 0 | 0 | 35 | 0 | 16 | 29 | 1 | 174 |
| Chaetognatha 0 | 0.8223 | 0.1345 | CladoceraPenilia | 0 | 0 | 0 | 3849 | 21 | 0 | 53 | 0 | 0 | 18 | 54 | 630 | 0 | 4625 |
| CladoceraPenilia 0 | 0.8322 | 0.1980 | Copepoda | 2 | 0 | 0 | 12 | 6089 | 243 | 0 | 0 | 0 | 0 | 214 | 764 | 46 | 7370 |
| Copepoda 0 | 0.8262 | 0.2703 | Decapoda | 2 | 0 | 1 | 0 | 513 | 1965 | 0 | 0 | 0 | 0 | 101 | 192 | 11 | 278 |
| Decapoda 0 | 0.7056 | 0.2660 | Doliolida | 0 | 0 | 0 | 19 | 0 | 0 | 1055 | 0 | 0 | 94 | 12 | 245 | 0 | 142 |
| Doliolida 0 | 0.7404 | 0.2596 | Egg | 0 | 57 | 0 | 5 | 8 | 6 | 5 | 1231 | 0 | 82 | 19 | 303 | 4 | 1720 |
| Egg 0 | 0.7157 | 0.1475 | Fiber | 58 | 0 | 42 | 1 | 3 | 0 | 0 | 0 | 996 | 1 | 87 | 326 | 6 | 1520 |
| Fiber 0 | 0.6553 | 0.2735 | Gelatinous | 13 | 3 | 0 | 127 | 9 | 1 | 94 | 32 | 0 | 1722 | 109 | 898 | 2 | 3010 |
| Gelatinous 0 | 0.5721 | 0.2963 | Multiple | 270 | 2 | 24 | 139 | 571 | 200 | 30 | 35 | 70 | 94 | 897 | 830 | 13 | 3175 |
| Multiple 0 | 0.2825 | 0.5849 | Nonbio | 123 | 17 | 19 | 647 | 917 | 208 | 185 | 117 | 215 | 411 | 427 | 11954 | 150 | 15390 |
| Nonbio 0 | 0.7767 | 0.2817 | Pteropoda | 0 | 0 | 0 | 0 | 181 | 23 | 0 | 0 | 0 | 4 | 7 | 241 | 629 | 108 |
| Pteropoda 0 | 0.5797 | 0.2703 | Sum | 2811 | 658 | 1658 | 4799 | 8344 | 2677 | 1425 | 1444 | 1371 | 2447 | 2161 | 16643 | 862 | 4730 |

图 11: 采用生物统计特征随机森林进行分类的结果

3.2.7 不包括位置特征 +SVM Linear

在 PkID 软件中, 从 67 个特征中去掉 13 个位置特征, 并采用 SVM Linear 进行训练和分类得到的结果如图 12, 其分类准确率为 70.8%。

3.2.8 不包括位置特征 +RandomForest

在 PkID 软件中, 从 67 个特征中去掉 13 个位置特征, 并采用随机森林进行训练和分类得到的结果如图 13, 其分类准确率为 76.1%。

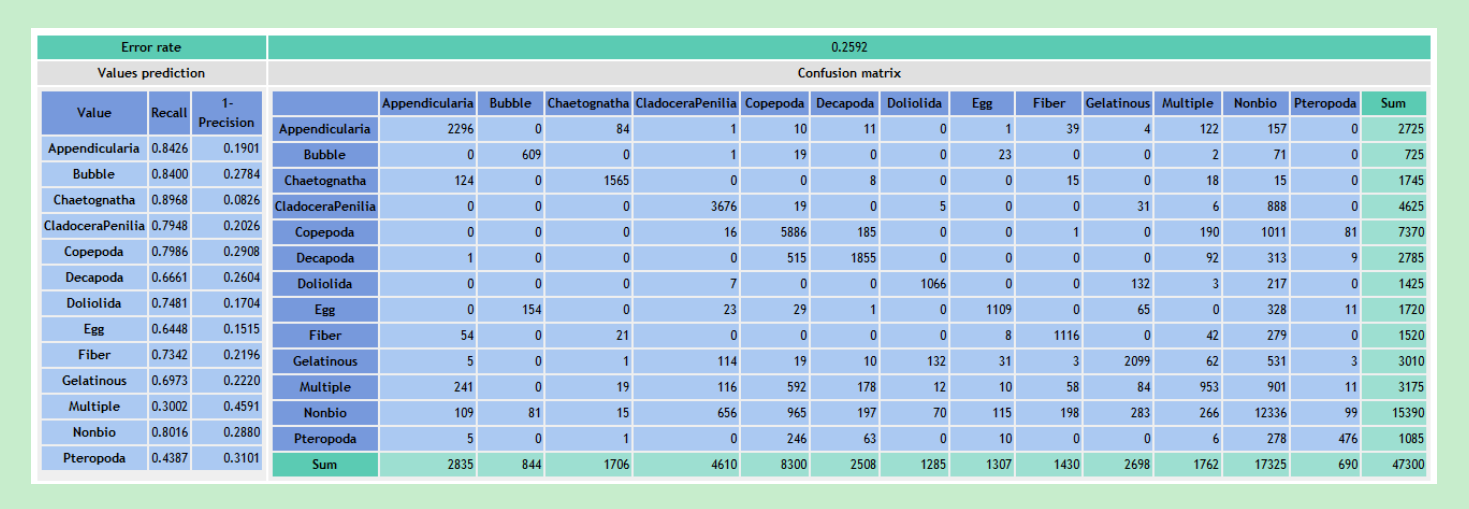


图 12: 不采用位置特征 SVM Linear 进行分类的结果

| r rate | | | | | | | | 0.2092 | | | | | | | | |
|--------|---------------------------------------------------------------------------------------------------------------------------------|------------------------------------------------------------------------------------------------------------------------------------------------------------------------------------------------|----------------|----------|-----------------------------------------------------------------------------------------------------------------------------------------------------------------------------------------------------------------------------------------------------------------------------------------------------------------------------------------------------------------------------------------------------------------------------------------------------------------------------------------------------------------------------------------------------------------------------------------------------------------------------------------------------------------------------------------------------------------------------------------------------------------------------------------------------------------------------------------------------------------------------------------------------------------------------------------------------------------------------------------------------------------------------------------------------------------------------------------------------------------------------------------------------------------------------------------------------------------------------------------------------------------------------------------------------------------------------------------------------------------------------------------------------------------------------------------------------------------------------------------------------------------------------------------------------------------------------------------------------------------------------------------------------------------------------------------------------------------------------------------------------------------------------------------------------------------------------------------------------------------------------------------------------------------------------------------------------------------------------------------------------------------------------------------------------------------------------------------------------------------------------|------------------|-----------------------------------------------------------------------------------------------------------------------------------------------------------------------------------------------------------------------------------------------------------------------------------------------------------------------------------------------------------------------------------------------------------------------------------------------------------------------------------------------------------------------------------------------------------------------------------------------------------------------------------------------------------------------------------------------------------------------------------------------------------------------------------------------------------------------------------------------------------------------------------------------------------------------------------------------------------------------------------------------------------------------------------------------------------------------------------------------------------------------------------------------------------------------------------------------------------------------------------------------------------------------------------------------------------------------------------------------------------------------------------------------------------------------------------------------------------------------------------------------------------------------------------------------------------------------------------------------------------------------------------------------------------------------------------------------------------------------------------------------------------------------------------------------------------------------------------------------------------------------------------------------------------------------------------------------------------------------------------------------------------------------------------------------------------------------------------------------------------------------------|----------|-----------|------|-------|------------|----------|--------|-----------|-------|
| | on | | | | | | Co | | trix | | | | | | | |
| DII | 1- | | Appendicularia | Bubble | Chaetognatha | CladoceraPenilia | Copepoda | Decapoda | Doliolida | Egg | Fiber | Gelatinous | Multiple | Nonbio | Pteropoda | Sum |
| Recall | Precision | Appendicularia | 2193 | 0 | 117 | 8 | 1 | 19 | 0 | 0 | 47 | 4 | 177 | 159 | 0 | 2725 |
| 0.8048 | 0.2109 | Bubble | 0 | 599 | 0 | 0 | 1 | 0 | 0 | 44 | 0 | 0 | 0 | 81 | 0 | 725 |
| 0.8262 | 0.1152 | Chaetognatha | 147 | 0 | 1548 | 0 | 2 | 4 | 0 | 0 | 4 | 1 | 27 | 12 | 0 | 1745 |
| 0.8871 | 0.0979 | CladoceraPenilia | 0 | 0 | 0 | 4145 | 19 | 0 | 4 | 0 | 0 | 6 | 15 | 436 | 0 | 4625 |
| 0.8962 | 0.0944 | Copepoda | 4 | 0 | 0 | 5 | 6241 | 138 | 0 | 0 | 2 | 5 | 220 | 723 | 32 | 7370 |
| 0.8468 | 0.2051 | Decapoda | 7 | 0 | 0 | 0 | 321 | 2215 | 0 | 0 | 0 | 0 | 101 | 135 | 6 | 2785 |
| 0.7953 | 0.2173 | Doliolida | 0 | 0 | 0 | 2 | 0 | 0 | 1103 | 0 | 0 | 141 | 9 | 170 | 0 | 1425 |
| 0.7740 | 0.1239 | Egg | 0 | 68 | 0 | 12 | 1 | 2 | 0 | 1319 | 0 | 26 | 2 | 276 | 14 | 1720 |
| 0.7669 | 0.1052 | Fiber | 37 | 0 | 12 | 0 | 0 | 0 | 0 | 0 | 1153 | 0 | | 251 | 2 | 1520 |
| 0.7586 | 0.2172 | Gelatinous | 7 | 0 | 2 | 58 | 9 | 4 | 69 | 27 | 0 | 2171 | | 571 | 1 | 3010 |
| 0.7213 | 0.2021 | | 291 | 0 | 19 | | 486 | 213 | | | | | | | 6 | 3175 |
| 0.3203 | 0.5176 | | | 10 | | | | | | | | | | | | 15390 |
| 0.8441 | 0.2344 | | 0 | 0 | 6 | 0 | | | | 0 | 1 | 5 | 9 | | | 1085 |
| 0.6562 | 0.1788 | | 2779 | 677 | _ | 4577 | | | | 1474 | 1473 | 2721 | 2108 | | | 47300 |
| | nedicti Recall 0.8048 0.8262 0.8871 0.8962 0.8468 0.7740 0.7669 0.7586 0.7213 0.3203 0.8441 | Recall 1- Precision 0.8048 0.2109 0.8262 0.1152 0.8871 0.0979 0.8962 0.0944 0.8468 0.2051 0.7953 0.2173 0.7740 0.1239 0.7669 0.1052 0.7586 0.2172 0.7213 0.2021 0.3203 0.5176 0.8441 0.2344 | Name | New Note | New Color New | Name | New Color New | Name | Name | | Name | Name | Name | | Name | Name |

图 13: 不采用位置特征随机森林进行分类的结果

3.2.9 不包括位置特征和尺度特征 +SVM Linear

在 PkID 软件中, 从 67 个特征中去掉位置特征和尺度特征, 并采用 SVM Linear 进行训练和分类得到的结果如图 14, 其分类准确率为 70.3%。

3.2.10 不包括位置特征和尺度特征 +RandomForest

在 PkID 软件中, 从 67 个特征中去掉位置特征和尺度特征, 并采用随机森林进行训练和分类得到的结果如图 15, 其分类准确率为 76.4%。

3.2.11 不包括位置特征、尺度特征和灰度特征 +SVM Linear

在 PkID 软件中, 从 67 个特征中去掉位置特征、尺度特征和灰度特征, 并采用 SVM Linear 进行训练和分类得到的结果如图 16, 其分类准确率为 69.2%。

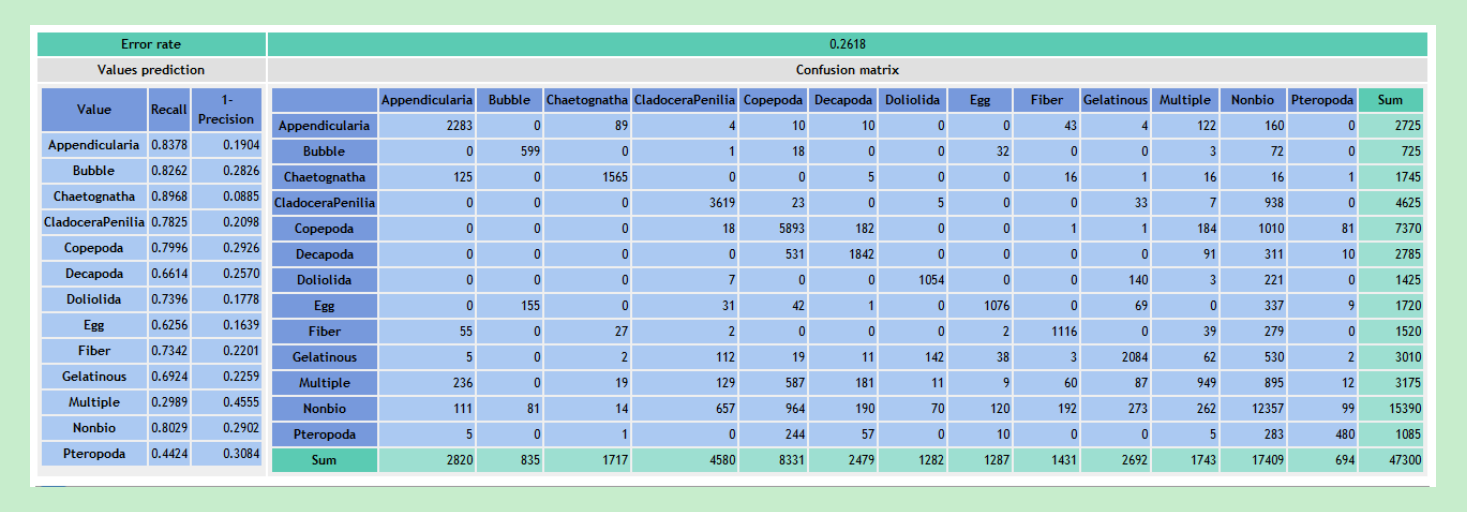


图 14: 不采用位置特征和尺度特征 SVM Linear 进行分类的结果

| Free | or rate | | | | | | | | 0.2085 | | | | | | | | |
|------------------|---------|-----------|------------------|----------------|--------|--------------|------------------|----------|-------------|-----------|------|-------|------------|----------|--------|-----------|-------|
| Values | | on | | | | | | Co | onfusion ma | trix | | | | | | | |
| | | 1- | | Appendicularia | Bubble | Chaetognatha | CladoceraPenilia | Copepoda | Decapoda | Doliolida | Egg | Fiber | Gelatinous | Multiple | Nonbio | Pteropoda | Sum |
| Value | Recall | Precision | Appendicularia | | 0 | 106 | 7 | 0 | 29 | 0 | -55 | 54 | 4 | 182 | 159 | 0 | 2725 |
| Appendicularia | 0.8015 | 0.2075 | Bubble | 0 | 610 | | 0 | 2 | 0 | 0 | 34 | 0 | 0 | 0 | 79 | 0 | 725 |
| Bubble | 0.8414 | 0.1003 | Chaetognatha | 133 | 0.0 | 1562 | 0 | 1 | 3 | 0 | 0 | 13 | 1 | 19 | 13 | 0 | 1745 |
| Chaetognatha | 0.8951 | 0.0924 | CladoceraPenilia | | 0 | 0 | 4113 | 21 | 0 | 5 | 0 | 0 | 7 | 17 | 462 | 0 | 4625 |
| CladoceraPenilia | 0.8893 | 0.0848 | Copepoda | 2 | 0 | 0 | 5 | 6256 | 137 | 0 | 0 | 2 | , | 228 | 712 | 25 | 7370 |
| Copepoda | 0.8488 | 0.2019 | Decapoda | 1 | 0 | 0 | 0 | 300 | 2235 | 0 | 0 | 0 | 0 | 96 | 145 | 8 | 2785 |
| Decapoda | 0.8025 | 0.2213 | | 1 | | • | 0 | | | • | 0 | 0 | 424 | | | _ | |
| Doliolida | 0.7860 | 0.1257 | Doliolida | 0 | 0 | 0 | 2 | 0 | 0 | 1120 | 0 | 0 | 134 | 10 | 159 | 0 | 1425 |
| Egg | 0.7669 | 0.1009 | Egg | 0 | 61 | 0 | 7 | 4 | 1 | 1 | 1319 | 0 | 25 | 7 | 282 | 13 | 1720 |
| Fiber | 0.7493 | 0.2335 | Fiber | 49 | 0 | 18 | 0 | 0 | 0 | 1 | 0 | 1139 | 0 | 66 | 247 | 0 | 1520 |
| Gelatinous | 0.7226 | 0.2333 | Gelatinous | 7 | 0 | 0 | 54 | 8 | 5 | 69 | 24 | 0 | 2175 | 84 | 584 | 0 | 3010 |
| | | | Multiple | 277 | 0 | 20 | 39 | 479 | 219 | 7 | 15 | 52 | 100 | 1042 | 921 | 4 | 3175 |
| Multiple | 0.3282 | 0.5133 | Nonbio | 102 | 7 | 12 | 267 | 712 | 187 | 78 | 75 | 226 | 261 | 379 | 12969 | 115 | 15390 |
| Nonbio | 0.8427 | 0.2359 | Pteropoda | 1 | 0 | 3 | 0 | 56 | 54 | 0 | 0 | 0 | 4 | 11 | 240 | 716 | 1085 |
| Pteropoda | 0.6599 | 0.1873 | Sum | 2756 | 678 | 1721 | 4494 | 7839 | 2870 | 1281 | 1467 | 1486 | 2714 | 2141 | 16972 | 881 | 47300 |

图 15: 不采用位置特征和尺度特征随机森林进行分类的结果

| Erro | r rate | | | | | | | | 0.2691 | | | | | | | | |
|------------------|-----------|-----------|------------------|----------------|--------|--------------|------------------|----------|------------|-----------|------|-------|------------|----------|--------|-----------|-------|
| Values p | rediction | on | | | | | | Co | nfusion ma | trix | | | | | | | |
| Value | Recall | 1- | | Appendicularia | Bubble | Chaetognatha | CladoceraPenilia | Copepoda | Decapoda | Doliolida | Egg | Fiber | Gelatinous | Multiple | Nonbio | Pteropoda | Sum |
| ruide | nocum | Precision | Appendicularia | 2282 | 0 | 93 | 3 | 11 | 10 | 0 | 0 | 42 | 5 | 126 | 153 | 0 | 2725 |
| Appendicularia | 0.8374 | 0.1945 | Bubble | 0 | 584 | 0 | 3 | 19 | 0 | 0 | 45 | 0 | 0 | 1 | 73 | 0 | 725 |
| Bubble | 0.8055 | 0.2930 | Chaetognatha | 134 | 0 | 1567 | 0 | 0 | 7 | 0 | 0 | 10 | 0 | 14 | 13 | 0 | 1745 |
| Chaetognatha | 0.8980 | 0.0884 | CladoceraPenilia | 0 | 0 | 0 | 3524 | 23 | 0 | 4 | 0 | 0 | 46 | 6 | 1022 | 0 | 4625 |
| CladoceraPenilia | 0.7619 | 0.2172 | Copepoda | 0 | 0 | 0 | 17 | 5870 | 171 | 0 | 0 | 1 | 4 | 189 | 1021 | 97 | 7370 |
| Copepoda | 0.7965 | 0.3007 | Decapoda | 2 | 0 | 0 | 0 | 592 | 1757 | 0 | 0 | 0 | 0 | 97 | 327 | 10 | 2785 |
| Decapoda | 0.6309 | 0.2667 | Doliolida | 0 | 0 | 0 | 8 | 0 | 0 | 994 | 0 | 0 | 175 | 2 | 246 | 0 | 1425 |
| Doliolida | 0.6975 | 0.1990 | Egg | 0 | 168 | 0 | 36 | 43 | 3 | 0 | 1050 | 0 | 75 | 0 | 337 | 8 | 1720 |
| Egg | 0.6105 | 0.1758 | Fiber | 54 | 0 | 25 | 1 | 0 | 0 | 0 | 2 | 1117 | 0 | 43 | 278 | 0 | 1520 |
| Fiber | 0.7349 | 0.2139 | Gelatinous | 5 | 0 | 1 | 108 | 20 | 10 | 149 | 44 | 4 | 2064 | 60 | 542 | 3 | 3010 |
| Gelatinous | 0.6857 | 0.2431 | Multiple | 241 | 0 | 18 | 130 | 593 | 189 | 10 | 13 | 57 | 88 | 940 | 883 | 13 | 3175 |
| Multiple | 0.2961 | 0.4588 | Nonbio | 111 | 74 | 14 | 672 | 978 | 183 | 84 | 111 | 190 | 270 | 254 | 12352 | 97 | 15390 |
| Nonbio | 0.8026 | 0.2955 | Pteropoda | 4 | 0 | 1 | 0 | 245 | 66 | 0 | 9 | 0 | 0 | 5 | 286 | 469 | 1085 |
| Pteropoda | 0.4323 | 0.3271 | Sum | 2833 | 826 | 1719 | 4502 | 8394 | 2396 | 1241 | 1274 | 1421 | 2727 | 1737 | 17533 | 697 | 47300 |

图 16: 不采用位置特征、尺度特征和灰度特征 SVM Linear 进行分类的结果

3.2.12 不包括位置特征、尺度特征和灰度特征 +RandomForest

在 PkID 软件中, 从 67 个特征中去掉位置特征、尺度特征和灰度特征, 并采用随机森林进行训练和分类得到的结果如图 17, 其分类准确率为 77.2%。

| Erro | or rate | | | | | | | | 0.2056 | | | | | | | | |
|------------------|------------|-----------|------------------|----------------|--------|--------------|------------------|----------|------------|-----------|------|-------|------------|----------|--------|-----------|-------|
| Values p | prediction | on | | | | | | Co | nfusion ma | trix | | | | | | | |
| Value | Recall | 1- | | Appendicularia | Bubble | Chaetognatha | CladoceraPenilia | Copepoda | Decapoda | Doliolida | Egg | Fiber | Gelatinous | Multiple | Nonbio | Pteropoda | Sum |
| | | Precision | Appendicularia | 2222 | 0 | 110 | 5 | 0 | 17 | 0 | 0 | 41 | 5 | 166 | 159 | 0 | 2725 |
| Appendicularia | 0.8154 | 0.2076 | Bubble | 0 | 642 | 0 | 0 | 3 | 0 | 0 | 28 | 0 | 0 | 0 | 52 | 0 | 725 |
| Bubble | 0.8855 | 0.0802 | Chaetognatha | 140 | 0 | 1563 | 0 | 0 | 4 | 0 | 0 | 4 | 0 | 22 | 12 | 0 | 1745 |
| Chaetognatha | 0.8957 | 0.0849 | CladoceraPenilia | 0 | 0 | 0 | 4106 | 22 | 0 | 5 | 0 | 0 | 6 | 16 | 470 | 0 | 4625 |
| CladoceraPenilia | 0.8878 | 0.0936 | Copepoda | 2 | 0 | 0 | 6 | 6275 | 132 | 0 | 0 | 2 | 3 | 223 | 709 | 18 | 7370 |
| Copepoda | 0.8514 | 0.2060 | Decapoda | 8 | 0 | 0 | 0 | 307 | 2209 | 0 | 0 | 0 | 0 | 103 | 149 | 9 | 2785 |
| Decapoda | 0.7932 | 0.2080 | Doliolida | 0 | 0 | 0 | 0 | 0 | 0 | 1116 | 0 | 0 | 157 | 10 | 142 | 0 | 1425 |
| Doliolida | 0.7832 | 0.1240 | Egg | 0 | 51 | 0 | 12 | 0 | 0 | 0 | 1355 | 0 | 21 | 2 | 277 | 2 | 1720 |
| Egg | 0.7878 | 0.1032 | Fiber | 51 | 0 | 11 | 0 | 0 | 0 | 3 | 0 | 1134 | 0 | 59 | 262 | 0 | 1520 |
| Fiber | 0.7461 | 0.2141 | Gelatinous | 5 | 0 | 0 | 54 | 12 | 1 | 73 | 21 | 1 | 2191 | 91 | 561 | 0 | 3010 |
| Gelatinous | 0.7279 | 0.1945 | Multiple | 270 | 0 | 12 | 47 | 499 | 213 | 8 | 15 | 63 | 101 | 1044 | 901 | 2 | 3175 |
| Multiple | 0.3288 | 0.5153 | Nonbio | 105 | 5 | 12 | 300 | 739 | 163 | 69 | 92 | 196 | 234 | 403 | 12970 | 102 | 15390 |
| Nonbio | 0.8428 | 0.2318 | Pteropoda | 1 | 0 | 0 | 0 | 46 | 50 | 0 | 0 | 2 | 2 | 15 | 220 | 749 | 1085 |
| Pteropoda | 0.6903 | 0.1508 | Sum | 2804 | 698 | 1708 | 4530 | 7903 | 2789 | 1274 | 1511 | 1443 | 2720 | 2154 | 16884 | 882 | 47300 |

图 17: 不采用位置特征、尺度特征和灰度特征随机森林进行分类的结果

3.2.13 不包括位置特征、尺度特征、灰度特征和形状特征 +SVM Linear

在 PkID 软件中, 从 67 个特征中去掉位置特征、尺度特征、灰度特征和形状特征, 并采用 SVM Linear 进行训练和分类得到的结果如图 18, 其分类准确率为 63.3%。

| rate | | | | | | | 0.312 | 6 | | | | | | | | |
|-----------|-----------------------------------------------------------------------------------------------------------------------|--------------------------|----------------|---------------------------------|--------------|------------------|-----------------------------------------------------------|------------------------------------------------------------------------------------------------------------------------------------------------------------------------------------------------------------------------------------------------------------------------------------------------------------------------------------------------------------------------------------------------------------------------------------------------------------------------------------------------------------------------------------------------------------------------------------------------------------------------------------------------------------------------------------------------------------------------------------------------------------------------------------------------------------------------------------------------------------------------------------------------------------------------------------------------------------------------------------------------------------------------------------------------------------------------------------------------------------------------------------------------------------------------------------------------------------------------------------------------------------------------------------------------------------------------------------------------------------------------------------------------------------------------------------------------------------------------------------------------------------------------------------------------------------------------------------------------------------------------------------------------------------------------------------------------------------------------------------------------------------------------------------------------------------------------------------------------------------------------------------------------------------------------------------------------------------------------------------------------------------------------------------------------------------------------------------------------------------------------------|-------------------------------------|------------------------------------------------------------------------------------------------------------------------------------------------------------------------------------------------------------------------------------------------------------------------------------------------------------------------------------------------------------------------------------------------------------------------------------------------------------------------------------------------------------------------------------------------------------------------------------------------------------------------------------------------------------------------------------------------------------------------------------------------------------------------------------------------------------------------------------------------------------------------------------------------------------------------------------------------------------------------------------------------------------------------------------------------------------------------------------------------------------------------------------------------------------------------------------------------------------------------------------------------------------------------------------------------------------------------------------------------------------------------------------------------------------------------------------------------------------------------------------------------------------------------------------------------------------------------------------------------------------------------------------------------------------------------------------------------------------------------------------------------------------------------------------------------------------------------------------------------------------------------------------------------------------------------------------------------------------------------------------------------------------------------------------------------------------------------------------------------------------------------------|------------------------------------------------------------------------------------------------------------------------------------------------------------------------------------------------------------------------------------------------------------------------------------------------------------------------------------------------------------------------------------------------------------------------------------------------------------------------------------------------------------------------------------------------------------------------------------------------------------------------------------------------------------------------------------------------------------------------------------------------------------------------------------------------------------------------------------------------------------------------------------------------------------------------------------------------------------------------------------------------------------------------------------------------------------------------------------------------------------------------------------------------------------------------------------------------------------------------------------------------------------------------------------------------------------------------------------------------------------------------------------------------------------------------------------------------------------------------------------------------------------------------------------------------------------------------------------------------------------------------------------------------------------------------------------------------------------------------------------------------------------------------------------------------------------------------------------------------------------------------------------------------------------------------------------------------------------------------------------------------------------------------------------------------------------------------------------------------------------------------------|------------------------------------------------------------------------------------------------------------------------------------------------------------------------------------------------------------------------------------------------------------------------------------------------------------------------------------------------------------------------------------------------------------------------------------------------------------------------------------------------------------------------------------------------------------------------------------------------------------------------------------------------------------------------------------------------------------------------------------------------------------------------------------------------------------------------------------------------------------------------------------------------------------------------------------------------------------------------------------------------------------------------------------------------------------------------------------------------------------------------------------------------------------------------------------------------------------------------------------------------------------------------------------------------------------------------------------------------------------------------------------------------------------------------------------------------------------------------------------------------------------------------------------------------------------------------------------------------------------------------------------------------------------------------------------------------------------------------------------------------------------------------------------------------------------------------------------------------------------------------------------------------------------------------------------------------------------------------------------------------------------------------------------------------------------------------------------------------------------------------------|------------------------------------------------------------------------------------------------------------------------------------------------------------------------------------------------------------------------------------------------------------------------------------------------------------------------------------------------------------------------------------------------------------------------------------------------------------------------------------------------------------------------------------------------------------------------------------------------------------------------------------------------------------------------------------------------------------------------------------------------------------------------------------------------------------------------------------------------------------------------------------------------------------------------------------------------------------------------------------------------------------------------------------------------------------------------------------------------------------------------------------------------------------------------------------------------------------------------------------------------------------------------------------------------------------------------------------------------------------------------------------------------------------------------------------------------------------------------------------------------------------------------------------------------------------------------------------------------------------------------------------------------------------------------------------------------------------------------------------------------------------------------------------------------------------------------------------------------------------------------------------------------------------------------------------------------------------------------------------------------------------------------------------------------------------------------------------------------------------------------------|------------------------------------------------------------------------------------------------------------------------------------------------------------------------------------------------------------------------------------------------------------------------------------------------------------------------------------------------------------------------------------------------------------------------------------------------------------------------------------------------------------------------------------------------------------------------------------------------------------------------------------------------------------------------------------------------------------------------------------------------------------------------------------------------------------------------------------------------------------------------------------------------------------------------------------------------------------------------------------------------------------------------------------------------------------------------------------------------------------------------------------------------------------------------------------------------------------------------------------------------------------------------------------------------------------------------------------------------------------------------------------------------------------------------------------------------------------------------------------------------------------------------------------------------------------------------------------------------------------------------------------------------------------------------------------------------------------------------------------------------------------------------------------------------------------------------------------------------------------------------------------------------------------------------------------------------------------------------------------------------------------------------------------------------------------------------------------------------------------------------------|------------------------------------------------------------------------------------------------------------------------------------------------------------------------------------------------------------------------------------------------------------------------------------------------------------------------------------------------------------------------------------------------------------------------------------------------------------------------------------------------------------------------------------------------------------------------------------------------------------------------------------------------------------------------------------------------------------------------------------------------------------------------------------------------------------------------------------------------------------------------------------------------------------------------------------------------------------------------------------------------------------------------------------------------------------------------------------------------------------------------------------------------------------------------------------------------------------------------------------------------------------------------------------------------------------------------------------------------------------------------------------------------------------------------------------------------------------------------------------------------------------------------------------------------------------------------------------------------------------------------------------------------------------------------------------------------------------------------------------------------------------------------------------------------------------------------------------------------------------------------------------------------------------------------------------------------------------------------------------------------------------------------------------------------------------------------------------------------------------------------------|----------------------------------------------------------------------------------------------------------------------------------------------------------------------------------------------------------------------------------------------------------------------------------------------------------------------------------------------------------------------------------------------------------------------------------------------------------------------------------------------------------------------------------------------------------------------------------------------------------------------------------------------------------------------------------------------------------------------------------------------------------------------------------------------------------------------------------------------------------------------------------------------------------------------------------------------------------------------------------------------------------------------------------------------------------------------------------------------------------------------------------------------------------------------------------------------------------------------------------------------------------------------------------------------------------------------------------------------------------------------------------------------------------------------------------------------------------------------------------------------------------------------------------------------------------------------------------------------------------------------------------------------------------------------------------------------------------------------------------------------------------------------------------------------------------------------------------------------------------------------------------------------------------------------------------------------------------------------------------------------------------------------------------------------------------------------------------------------------------------------------|
| edictio | ın | | | | | | Confusion | matrix | | | | | | | | |
| Recall | 1- | | Appendicularia | Bubble | Chaetognatha | CladoceraPenilia | Copepoda | Decapoda | Doliolida | Egg | Fiber | Gelatinous | Multiple | Nonbio | Pteropoda | Sum |
| rio cuiti | Precision | Appendicularia | 2234 | 0 | 102 | 15 | 16 | 10 | 0 | 0 | 48 | 1 | 135 | 164 | 0 | 2725 |
| 0.8198 | 0.2053 | Bubble | 0 | 547 | 0 | 9 | 25 | 0 | 0 | 83 | 0 | 0 | 0 | 61 | 0 | 725 |
| 0.7545 | 0.3058 | Chaetognatha | 129 | 0 | 1549 | 0 | 3 | 3 | 0 | 0 | 19 | 2 | 24 | 16 | 0 | 1745 |
| 0.8877 | 0.1041 | CladoceraPenilia | 0 | 0 | 0 | 3193 | 27 | 0 | 0 | 0 | 0 | 6 | 5 | 1394 | 0 | 4625 |
| 0.6904 | 0.3092 | Copepoda | 0 | 0 | 0 | 32 | 5528 | 159 | 0 | 0 | 3 | 0 | 166 | 1383 | 99 | 7370 |
| 0.7501 | 0.3325 | Decapoda | 2 | 0 | 0 | 0 | 618 | 1608 | 0 | 0 | 0 | 0 | 100 | 448 | 9 | 2785 |
| 0.5774 | 0.2674 | Doliolida | 0 | 0 | 0 | 4 | 0 | 0 | 774 | 0 | 0 | 242 | 3 | 402 | 0 | 1425 |
| 0.5432 | 0.2110 | Egg | 0 | 152 | 0 | 98 | 34 | 0 | 1 | 938 | 0 | 39 | 0 | 447 | 11 | 1720 |
| 0.5453 | 0.2514 | Fiber | 62 | 0 | 35 | 2 | 3 | 0 | 0 | 0 | 1056 | 0 | 40 | 322 | 0 | 1520 |
| 0.6947 | 0.2201 | Gelatinous | 16 | 0 | 0 | 247 | 36 | 17 | 108 | 7 | 2 | 1677 | 66 | 834 | 0 | 3010 |
| 0.5571 | 0.2583 | Multiple | 267 | 2 | 28 | 176 | 567 | 162 | 19 | 4 | 54 | | | 929 | 8 | |
| 0.2743 | 0.4772 | Nonbio | | | | | 1064 | 159 | 79 | 145 | 172 | | | 12169 | 102 | |
| 0.7907 | 0.3513 | | 5 | 1 | 0 | 0 | 361 | 77 | 0 | | 0 | | | | | |
| 0.3419 | 0.3817 | Sum | 2811 | 788 | | 4622 | 8282 | | | | 1354 | | | 18758 | 600 | |
| | edictic 0.8198 0.7545 0.8877 0.6904 0.7501 0.5774 0.5432 0.5432 0.6947 0.5774 0.2743 | Recall Precision 0.8198 | Appendicularia | Appendicularia Appendicularia | Name | Name | Appendicularia Bubble Chaetognatha CladoceraPenilia | Confusion Conf | Confusion matrix Confusion matrix | Confusion Conf | Confusion Conf | Confusion Conf | Confusion Confusion Confusion Confusion Copenda Copend | Confusion Conf | Confusion Conf | Confusion matrix Confusion Confusion |

图 18: 不采用位置特征、尺度特征、灰度特征和形状特征 SVM Linear 进行分类的结果

3.2.14 不包括位置特征、尺度特征、灰度特征和形状特征 +RandomForest

在 PkID 软件中, 从 67 个特征中去掉位置特征、尺度特征、灰度特征和形状特征, 并采用随机森林进行训练和分类得到的结果如图 19, 其分类准确率为 75.7%。

| Error | rate | | | | | | | 0.216 | 0 | | | | | | | | |
|------------------|-----------|-----------|------------------|----------------|--------|--------------|------------------|-----------|----------|-----------|------|-------|------------|----------|--------|-----------|-------|
| Values p | rediction | on | | | | | | Confusion | matrix | | | | | | | | |
| Value | Recall | 1- | | Appendicularia | Bubble | Chaetognatha | CladoceraPenilia | Copepoda | Decapoda | Doliolida | Egg | Fiber | Gelatinous | Multiple | Nonbio | Pteropoda | Sum |
| 7455 | ric cuii | Precision | Appendicularia | 2231 | 0 | 104 | 3 | 2 | 16 | 1 | 0 | 55 | 9 | 158 | 146 | 0 | 2725 |
| Appendicularia | 0.8187 | 0.2066 | Bubble | 0 | 646 | 0 | 0 | 2 | 0 | 0 | 30 | 0 | 0 | 1 | 46 | 0 | 725 |
| Bubble | 0.8910 | 0.0785 | Chaetognatha | 129 | 0 | 1544 | 0 | 5 | 4 | 0 | 0 | 19 | 1 | 36 | 7 | 0 | 1745 |
| Chaetognatha | 0.8848 | 0.0891 | CladoceraPenilia | 0 | 0 | 0 | 4060 | 27 | 0 | 6 | 0 | 0 | 7 | 23 | 502 | 0 | 4625 |
| CladoceraPenilia | 0.8778 | 0.1304 | Copepoda | 1 | 0 | 0 | 22 | 6244 | 183 | 0 | 0 | 0 | 4 | 219 | 667 | 30 | 7370 |
| Copepoda | 0.8472 | 0.2132 | Decapoda | 7 | 0 | 0 | 0 | 326 | 2184 | 0 | 0 | 0 | 1 | 109 | 155 | 3 | 2785 |
| Decapoda | 0.7842 | 0.2175 | Doliolida | 0 | 0 | 0 | 0 | 0 | 0 | 1115 | 0 | 0 | 127 | 8 | 175 | 0 | 1425 |
| Doliolida | 0.7825 | 0.1449 | Egg | 0 | 52 | 0 | 6 | 1 | 0 | 0 | 1344 | 0 | 22 | 1 | 285 | 9 | 1720 |
| Egg | 0.7814 | 0.0937 | Fiber | 65 | 0 | 25 | 0 | 0 | 0 | 3 | 0 | 1061 | 0 | 75 | 291 | 0 | 1520 |
| Fiber | 0.6980 | 0.2106 | Gelatinous | 13 | 0 | 0 | 88 | 18 | 7 | 74 | 12 | 6 | 2013 | 127 | 652 | 0 | 3010 |
| Gelatinous | 0.6688 | 0.2034 | Multiple | 281 | 2 | 12 | 53 | 496 | 198 | 15 | 16 | 40 | 90 | 1045 | 917 | 10 | 3175 |
| Multiple | 0.3291 | 0.5276 | Nonbio | 85 | 1 | 10 | 437 | 720 | 168 | 90 | 79 | 163 | 253 | 397 | 12893 | 94 | 15390 |
| Nonbio | 0.8378 | 0.2407 | Pteropoda | 0 | 0 | 0 | 0 | 95 | 31 | 0 | 2 | 0 | 0 | 13 | 243 | 701 | 1085 |
| Pteropoda | 0.6461 | 0.1724 | Sum | 2812 | 701 | 1695 | 4669 | 7936 | | 1304 | 1483 | 1344 | 2527 | | 16979 | 847 | |

图 19: 不采用位置特征、尺度特征、灰度特征和形状特征随机森林进行分类的结果

3.3 从 67 个特征中选取部分特征进行实验

3.3.1 选取 16 个特征 +SVM Linear

在 PkID 软件中, 从 67 个特征中根据自己的判断选取部分特征进行(选取 16 个特征: Fractal、Skelarea、Circ、ESD、Elongation、Circexc、CV、SR、Skew、Kurt、MeanPos、PerimAreaexc、FeretAreaexc、PerimFeret、PerimMaj、CDexc),并采用 SVM Linear 进行训练和分类得到的结果如图 20。

| Erro | or rate | | | | | | | | 0.3391 | | | | | | | | |
|------------------|---------|-----------|------------------|----------------|--------|--------------|------------------|----------|-------------|-----------|------|-------|------------|----------|--------|-----------|-------|
| Values p | | on | | | | | | Co | onfusion ma | trix | | | | | | | |
| Value | Recall | 1- | | Appendicularia | Bubble | Chaetognatha | CladoceraPenilia | Copepoda | Decapoda | Doliolida | Egg | Fiber | Gelatinous | Multiple | Nonbio | Pteropoda | Sum |
| value | Recall | Precision | Appendicularia | 2193 | 0 | 101 | 20 | 3 | 8 | 0 | 0 | 28 | 13 | 129 | 227 | 3 | 2725 |
| Appendicularia | 0.8048 | 0.2218 | Bubble | 0 | 566 | 0 | 2 | 23 | 1 | 0 | 10 | 0 | 0 | 5 | 118 | 0 | 725 |
| Bubble | 0.7807 | 0.3213 | Chaetognatha | 193 | 0 | 1451 | 4 | 2 | 1 | 0 | 0 | 8 | 5 | 38 | 43 | 0 | 1745 |
| Chaetognatha | 0.8315 | 0.1004 | CladoceraPenilia | 0 | 0 | 0 | 2758 | 18 | 0 | 2 | 0 | 0 | 56 | 0 | 1791 | 0 | 4625 |
| CladoceraPenilia | 0.5963 | 0.2995 | Copepoda | 0 | 0 | 0 | 5 | 5162 | 234 | 0 | 0 | 5 | 10 | 155 | 1779 | 20 | 7370 |
| Copepoda | 0.7004 | 0.3956 | Decapoda | 4 | 0 | 0 | 0 | 986 | 1409 | 0 | 1 | 0 | 0 | 78 | 306 | 1 | 2785 |
| Decapoda | 0.5059 | 0.2905 | Doliolida | 0 | 0 | 0 | 4 | 0 | 0 | 816 | 0 | 0 | 257 | 0 | 348 | 0 | 1425 |
| Doliolida | 0.5726 | 0.3131 | Egg | 0 | 157 | 0 | 27 | 42 | 7 | 0 | 984 | 0 | 70 | 1 | 419 | 13 | 1720 |
| Egg | 0.5721 | 0.2096 | Fiber | 53 | 0 | 26 | 9 | 26 | 0 | 0 | 3 | 977 | 1 | 39 | 386 | 0 | 1520 |
| Fiber | 0.6428 | 0.2184 | Gelatinous | 6 | 0 | 0 | 133 | 40 | 8 | 204 | 95 | 0 | 1825 | 86 | 612 | 1 | 3010 |
| Gelatinous | 0.6063 | 0.3074 | Multiple | 251 | 0 | 21 | 194 | 659 | 156 | 19 | 18 | 57 | 119 | 789 | 887 | 5 | 3175 |
| Multiple | 0.2485 | 0.4933 | Nonbio | 114 | 111 | 14 | 781 | 1205 | 118 | 147 | 131 | 175 | 279 | 232 | 12038 | 45 | 15390 |
| Nonbio | 0.7822 | 0.3768 | Pteropoda | 4 | 0 | 0 | 0 | 375 | 44 | | 3 | 0 | 0 | 5 | 363 | | 1085 |
| Pteropoda | 0.2682 | 0.2322 | Sum | 2818 | 834 | 1613 | 3937 | 8541 | 1986 | | 1245 | 1250 | 2635 | 1557 | 19317 | | 47300 |

图 20: 选取 16 个特征采用 SVM Linear 进行分类的结果

3.3.2 选取 16 个特征 +RandomForest

在 PkID 软件中,从 67 个特征中根据自己的判断选取部分特征进行(选取 16 个特征: Fractal、Skelarea、Circ、ESD、Elongation、Circexc、CV、SR、Skew、Kurt、MeanPos、PerimAreaexc、FeretAreaexc、PerimFeret、PerimMaj、CDexc),并采用随机森林进行训练和分类得到的结果如图 21,其分类准确率为 72.76%。

| Erro | or rate | | | | | | | | 0.2404 | | | | | | | | |
|---------------------|------------|-----------|------------------|----------------|--------|--------------|------------------|----------|------------|-----------|------|-------|------------|----------|--------|-----------|-------|
| Values _I | prediction | on | | | | | | Co | nfusion ma | trix | | | | | | | |
| Value | Recall | 1- | | Appendicularia | Bubble | Chaetognatha | CladoceraPenilia | Copepoda | Decapoda | Doliolida | Egg | Fiber | Gelatinous | Multiple | Nonbio | Pteropoda | Sum |
| value | necun | Precision | Appendicularia | 2185 | 0 | 111 | 14 | 1 | 12 | 0 | 0 | 42 | 4 | 188 | 167 | 1 | 2725 |
| Appendicularia | 0.8018 | 0.2295 | Bubble | 0 | 587 | 0 | 0 | 2 | 0 | 0 | 37 | 0 | 0 | 4 | 95 | 0 | 725 |
| Bubble | 0.8097 | 0.1186 | Chaetognatha | 161 | 0 | 1494 | 0 | 5 | 3 | 0 | 0 | 23 | 0 | 30 | 29 | 0 | 1745 |
| Chaetognatha | 0.8562 | 0.0890 | CladoceraPenilia | 0 | 0 | 0 | 3979 | 7 | 0 | 16 | 0 | 0 | 20 | 22 | 581 | 0 | 4625 |
| CladoceraPenilia | 0.8603 | 0.1373 | Copepoda | 4 | 0 | 0 | 7 | 6119 | 186 | 0 | 1 | 0 | 5 | 242 | 760 | 46 | 7370 |
| Copepoda | 0.8303 | 0.2521 | Decapoda | 6 | 0 | 0 | 1 | 462 | 2056 | 0 | 1 | 0 | 0 | 102 | 149 | 8 | 2785 |
| Decapoda | 0.7382 | 0.2135 | Doliolida | 0 | 0 | 0 | 7 | 0 | 0 | 1068 | 0 | 0 | 169 | 11 | 170 | 0 | 1425 |
| Doliolida | 0.7495 | 0.1772 | Egg | 0 | 60 | 0 | 8 | 2 | 5 | 1 | 1264 | 0 | 45 | 16 | 308 | 11 | 1720 |
| Egg | 0.7349 | 0.1684 | Fiber | 50 | 0 | 18 | 0 | 1 | 0 | 0 | 0 | 1044 | 0 | 75 | 330 | 2 | 1520 |
| Fiber | 0.6868 | 0.2457 | Gelatinous | 6 | 0 | 0 | 78 | 15 | 3 | 122 | 52 | 1 | 2029 | 102 | 601 | 1 | 3010 |
| Gelatinous | 0.6741 | 0.2329 | Multiple | 291 | 0 | 6 | 110 | 525 | 181 | 14 | 25 | 49 | 103 | 962 | 898 | 11 | 3175 |
| Multiple | 0.3030 | 0.5603 | Nonbio | 132 | 19 | 11 | 408 | 884 | 145 | 77 | 140 | 225 | 267 | 426 | 12490 | 166 | 15390 |
| Nonbio | 0.8116 | 0.2572 | Pteropoda | 1 | 0 | 0 | 0 | 159 | 23 | 0 | 0 | 0 | 3 | 8 | 237 | 654 | 1085 |
| Pteropoda | 0.6028 | 0.2733 | Sum | 2836 | 666 | 1640 | 4612 | 8182 | 2614 | 1298 | 1520 | 1384 | 2645 | 2188 | 16815 | 900 | 47300 |

图 21: 选取 16 个特征采用随机森林进行分类的结果

3.3.3 选取 18 个特征 +SVM Linear

在 PkID 软件中, 从 67 个特征中根据自己的判断选取部分特征进行(选取 18 个特征: Fractal、Skelarea、Circ、ESD、Elongation、Circexc、CV、SR、Skew、Kurt、MeanPos、PerimAreaexc、FeretAreaexc、PerimFeret、PerimMaj、CDexc、Symetrieh、Symetriev),并采用 SVM Linear 进行训练和分类得到的结果如图 22。

3.3.4 选取 18 个特征 +RandomForest

在 PkID 软件中, 从 67 个特征中根据自己的判断选取部分特征进行(选取 18 个特征: Fractal、Skelarea、Circ、ESD、Elongation、Circexc、CV、SR、Skew、Kurt、MeanPos、PerimAreaexc、FeretAreaexc、PerimFeret、PerimMaj、CDexc、Symetrieh、Symetriev),并采用随机森林进行训练和分类得到的结果如图 23, 其分类准确率为 74.59%。

3.3.5 选取 19 个特征 +SVM Linear

在 PkID 软件中, 从 67 个特征中根据自己的判断选取部分特征进行(选取 19 个特征: Fractal、Skelarea、Circ、ESD、Elongation、Circexc、CV、SR、Skew、Kurt、MeanPos、PerimAreaexc、FeretAreaexc、

| Erro | r rate | | | | | | | 0.3111 | | | | | | | | | |
|------------------|----------|-----------|------------------|----------------|--------|--------------|------------------|-------------|----------|-----------|------|-------|------------|----------|--------|-----------|-------|
| Values p | redictio | n | | | | | (| Confusion r | matrix | | | | | | | | |
| Value | Recall | 1- | | Appendicularia | Bubble | Chaetognatha | CladoceraPenilia | Copepoda | Decapoda | Doliolida | Egg | Fiber | Gelatinous | Multiple | Nonbio | Pteropoda | Sum |
| ruido | necun | Precision | Appendicularia | 2238 | 0 | 96 | 4 | 6 | 8 | 0 | 0 | 43 | 5 | 127 | 194 | 4 | 2725 |
| Appendicularia | 0.8213 | 0.2030 | Bubble | 0 | 583 | 0 | 0 | 26 | 3 | 0 | 11 | 0 | 0 | 5 | 97 | 0 | 725 |
| Bubble | 0.8041 | 0.3244 | Chaetognatha | 139 | 0 | 1549 | 0 | 3 | 0 | 0 | 0 | 16 | 0 | 13 | 25 | 0 | 1745 |
| Chaetognatha | 0.8877 | 0.0899 | CladoceraPenilia | 0 | 0 | 0 | 3231 | 33 | 0 | 5 | 0 | 0 | 65 | 0 | 1291 | 0 | 4625 |
| CladoceraPenilia | 0.6986 | 0.2502 | Copepoda | 0 | 0 | 0 | 15 | 5327 | 168 | 0 | 0 | 0 | 2 | 175 | 1661 | 22 | 7370 |
| Copepoda | 0.7228 | 0.3449 | Decapoda | 5 | 0 | 0 | 0 | 707 | 1514 | 0 | 0 | 0 | 0 | 91 | 466 | 2 | 2785 |
| Decapoda | 0.5436 | 0.2885 | Doliolida | 0 | 0 | 0 | 8 | 0 | 0 | 828 | 0 | 0 | 271 | 0 | 318 | 0 | 1425 |
| Doliolida | 0.5811 | 0.3106 | Egg | 0 | 168 | 0 | 27 | 48 | 1 | 0 | 993 | 0 | 70 | 0 | 403 | 10 | 1720 |
| Egg | 0.5773 | 0.1894 | Fiber | 54 | 0 | 29 | 2 | 5 | 1 | 0 | 2 | 1059 | 3 | 41 | 324 | 0 | 1520 |
| Fiber | 0.6967 | 0.2392 | Gelatinous | 7 | 0 | 0 | 158 | 50 | 6 | 202 | 84 | 2 | 1913 | 60 | 526 | 2 | 3010 |
| Gelatinous | 0.6355 | 0.2875 | Multiple | 248 | 0 | 12 | 129 | 585 | 185 | 14 | 18 | 66 | 90 | 820 | 1003 | 5 | 3175 |
| Multiple | 0.2583 | 0.4699 | Nonbio | 113 | 112 | 16 | 735 | 1048 | 162 | 152 | 110 | 206 | 266 | 205 | 12216 | 49 | 15390 |
| Nonbio | 0.7938 | 0.3537 | Pteropoda | 4 | 0 | 0 | 0 | 294 | 80 | 0 | 7 | 0 | 0 | 10 | 376 | 314 | 1085 |
| Pteropoda | 0.2894 | 0.2304 | Sum | 2808 | 863 | 1702 | 4309 | 8132 | 2128 | 1201 | 1225 | 1392 | 2685 | 1547 | 18900 | 408 | 47300 |

图 22: 选取 18 个特征采用 SVM Linear 进行分类的结果

| Erro | r rate | | | | | | | 0.2270 |) | | | | | | | | |
|------------------|----------|-----------|------------------|----------------|--------|--------------|------------------|-------------|----------|-----------|------|-------|------------|----------|--------|-----------|-------|
| Values p | redictio | on | | | | | | Confusion r | matrix | | | | | | | | |
| Value | Recall | 1- | | Appendicularia | Bubble | Chaetognatha | CladoceraPenilia | Copepoda | Decapoda | Doliolida | Egg | Fiber | Gelatinous | Multiple | Nonbio | Pteropoda | Sum |
| varde | necun | Precision | Appendicularia | 2219 | 0 | 110 | 3 | 4 | 11 | 0 | 0 | 46 | 5 | 186 | 141 | 0 | 2725 |
| Appendicularia | 0.8143 | 0.2189 | Bubble | 0 | 590 | 0 | 0 | 4 | 0 | 0 | 36 | 0 | 0 | 3 | 92 | 0 | 725 |
| Bubble | 0.8138 | 0.1246 | Chaetognatha | 172 | 0 | 1518 | 0 | 5 | 0 | 0 | 0 | 7 | 1 | 24 | 18 | 0 | 1745 |
| Chaetognatha | 0.8699 | 0.0894 | CladoceraPenilia | 0 | 0 | 0 | 4033 | 11 | 0 | 11 | 0 | 0 | 24 | 16 | 530 | 0 | 4625 |
| CladoceraPenilia | 0.8720 | 0.1189 | Copepoda | 2 | 0 | 0 | 9 | 6152 | 171 | 0 | 0 | 0 | 3 | 229 | 779 | 25 | 7370 |
| Copepoda | 0.8347 | 0.2228 | Decapoda | 2 | 0 | 0 | 2 | 356 | 2147 | 0 | 1 | 0 | 1 | 107 | 162 | 7 | 2785 |
| Decapoda | 0.7709 | 0.2136 | Doliolida | 0 | 0 | 0 | 4 | 0 | 0 | 1047 | 0 | 0 | 179 | 4 | 191 | 0 | 1425 |
| Doliolida | 0.7347 | 0.1704 | Egg | 0 | 58 | 0 | 12 | 3 | 3 | 2 | 1255 | 0 | 43 | 14 | 317 | 13 | 1720 |
| Egg | 0.7297 | 0.1572 | Fiber | 50 | 0 | 10 | 0 | 5 | 0 | 1 | 0 | 1116 | 1 | 60 | 277 | 0 | 1520 |
| Fiber | 0.7342 | 0.2398 | Gelatinous | 10 | 0 | 0 | 81 | 20 | 3 | 105 | 54 | 0 | 2067 | 74 | 594 | 2 | 3010 |
| Gelatinous | 0.6867 | 0.2296 | Multiple | 257 | 1 | 16 | 62 | 495 | 194 | 11 | 20 | 60 | 82 | 1012 | 953 | 12 | 3175 |
| Multiple | 0.3187 | 0.5188 | Nonbio | 129 | 25 | 11 | 371 | 806 | 167 | 85 | 122 | 238 | 273 | 366 | 12652 | 145 | 15390 |
| Nonbio | 0.8221 | 0.2528 | Pteropoda | 0 | 0 | 2 | 0 | 55 | 34 | 0 | 1 | 1 | 4 | 8 | 226 | 754 | 1085 |
| Pteropoda | 0.6949 | 0.2129 | Sum | 2841 | 674 | 1667 | 4577 | 7916 | 2730 | 1262 | 1489 | 1468 | 2683 | 2103 | 16932 | 958 | 47300 |

图 23: 选取 18 个特征采用随机森林进行分类的结果

PerimFeret、PerimMaj、CDexc、Mean、stdDev、Mode),并采用 SVM Linear 进行训练和分类得到的结果如图 24。

3.3.6 选取 19 个特征 +RandomForest

在 PkID 软件中, 从 67 个特征中根据自己的判断选取部分特征进行(选取 19 个特征: Fractal、Skelarea、Circ、ESD、Elongation、Circexc、CV、SR、Skew、Kurt、MeanPos、PerimAreaexc、FeretAreaexc、PerimFeret、PerimMaj、CDexc、Mean、stdDev、Mode),并采用随机森林进行训练和分类得到的结果如图 25, 其分类准确率为 73.04%。

| Erro | r rate | | | | | | | 0.3290 |) | | | | | | | | |
|------------------|-----------|-----------|------------------|----------------|--------|--------------|------------------|-------------|----------|-----------|------|-------|------------|----------|--------|-----------|-------|
| Values p | rediction | on | | | | | | Confusion 1 | natrix | | | | | | | | |
| Value | Recall | 1- | | Appendicularia | Bubble | Chaetognatha | CladoceraPenilia | Copepoda | Decapoda | Doliolida | Egg | Fiber | Gelatinous | Multiple | Nonbio | Pteropoda | Sum |
| varde | necan | Precision | Appendicularia | 2199 | 0 | 107 | 27 | 1 | 8 | 0 | 0 | 26 | 6 | 140 | 211 | 0 | 2725 |
| Appendicularia | 0.8070 | 0.2210 | Bubble | 0 | 540 | 0 | 6 | 20 | 1 | 0 | 52 | 0 | 0 | 4 | 102 | 0 | 725 |
| Bubble | 0.7448 | 0.3366 | Chaetognatha | 193 | 0 | 1454 | 3 | 6 | 0 | 0 | 0 | 11 | 5 | 37 | 36 | 0 | 1745 |
| Chaetognatha | 0.8332 | 0.0975 | CladoceraPenilia | 0 | 0 | 0 | 2806 | 16 | 0 | 3 | 0 | 0 | 57 | 2 | 1741 | 0 | 4625 |
| CladoceraPenilia | 0.6067 | 0.2967 | Copepoda | 0 | 0 | 0 | 7 | 5371 | 262 | 0 | 0 | 3 | 5 | 177 | 1452 | 93 | 7370 |
| Copepoda | 0.7288 | 0.3900 | Decapoda | 4 | 0 | 0 | 0 | 983 | 1514 | 0 | 0 | 0 | 0 | 73 | 205 | 6 | 2785 |
| Decapoda | 0.5436 | 0.2932 | Doliolida | 0 | 0 | 0 | 4 | 0 | 0 | 838 | 0 | 0 | 253 | 1 | 329 | 0 | 1425 |
| Doliolida | 0.5881 | 0.2922 | Egg | 0 | 172 | 0 | 31 | 49 | 3 | 1 | 980 | 0 | 65 | 1 | 409 | 9 | 1720 |
| Egg | 0.5698 | 0.2379 | Fiber | 56 | 0 | 23 | 9 | 18 | 0 | 0 | 2 | 991 | 2 | 40 | 379 | 0 | 1520 |
| Fiber | 0.6520 | 0.2122 | Gelatinous | 6 | 0 | 0 | 121 | 37 | 12 | 195 | 103 | 0 | 1841 | 81 | 611 | 3 | 3010 |
| Gelatinous | 0.6116 | 0.3008 | Multiple | 250 | 0 | 14 | 186 | 710 | 164 | 18 | 19 | 51 | 116 | 852 | 789 | 6 | 3175 |
| Multiple | 0.2683 | 0.4867 | Nonbio | 112 | 102 | 13 | 790 | 1246 | 140 | 129 | 125 | 176 | 283 | 247 | 11943 | 84 | 15390 |
| Nonbio | 0.7760 | 0.3539 | Pteropoda | 3 | 0 | 0 | 0 | 348 | 38 | 0 | 5 | 0 | 0 | 5 | 277 | 409 | 1085 |
| Pteropoda | 0.3770 | 0.3295 | Sum | 2823 | 814 | 1611 | 3990 | 8805 | 2142 | 1184 | 1286 | 1258 | 2633 | 1660 | 18484 | 610 | 47300 |

图 24: 选取 19 个特征采用 SVM Linear 进行分类的结果

| Error | rate | | | | | | | 0.238 | 14 | | | | | | | | |
|------------------|----------|-----------|------------------|----------------|--------|--------------|------------------|-----------|----------|-----------|------|-------|------------|----------|--------|-----------|-------|
| Values p | redictio | n | | | | | | Confusion | matrix | | | | | | | | |
| Value | Recall | 1- | | Appendicularia | Bubble | Chaetognatha | CladoceraPenilia | Copepoda | Decapoda | Doliolida | Egg | Fiber | Gelatinous | Multiple | Nonbio | Pteropoda | Sum |
| value | necun | Precision | Appendicularia | 2155 | 0 | 125 | 15 | 4 | 12 | 0 | 0 | 54 | 8 | 186 | 166 | 0 | 2725 |
| Appendicularia | 0.7908 | 0.2315 | Bubble | 0 | 597 | 0 | 0 | 1 | 0 | 0 | 27 | 0 | 0 | 3 | 97 | 0 | 725 |
| Bubble | 0.8234 | 0.0982 | Chaetognatha | 163 | 0 | 1504 | 0 | 5 | 1 | 0 | 0 | 19 | 0 | 32 | 20 | 1 | 1745 |
| Chaetognatha | 0.8619 | 0.0967 | CladoceraPenilia | 0 | 0 | 0 | 3980 | 16 | 0 | 22 | 0 | 0 | 19 | 23 | 565 | 0 | 4625 |
| CladoceraPenilia | 0.8605 | 0.1329 | Copepoda | 1 | 0 | 0 | 5 | 6087 | 197 | 0 | 1 | 0 | 7 | 263 | 765 | 44 | 7370 |
| Copepoda | 0.8259 | 0.2459 | Decapoda | 2 | 0 | 0 | 0 | 424 | 2115 | 0 | 1 | 0 | 0 | 89 | 146 | 8 | 2785 |
| Decapoda | 0.7594 | 0.2334 | Doliolida | 0 | 0 | 0 | 4 | 0 | 0 | 1075 | 0 | 0 | 154 | 15 | 177 | 0 | 1425 |
| Doliolida | 0.7544 | 0.1831 | Egg | 0 | 44 | 0 | 6 | 3 | 10 | 1 | 1259 | 0 | 47 | 17 | 324 | 9 | 1720 |
| Egg | 0.7320 | 0.1476 | Fiber | 44 | 0 | 17 | 1 | 4 | 0 | 1 | 0 | 1052 | 0 | 67 | 333 | 1 | 1520 |
| Fiber | 0.6921 | 0.2448 | Gelatinous | 11 | 0 | 0 | 74 | 22 | 2 | 108 | 42 | 0 | 2054 | 106 | 591 | 0 | 3010 |
| Gelatinous | 0.6824 | 0.2313 | Multiple | 295 | 1 | 9 | 93 | 521 | 205 | 18 | 22 | 48 | 104 | 958 | 893 | 8 | 3175 |
| Multiple | 0.3017 | 0.5606 | Nonbio | 133 | 20 | 9 | 412 | 823 | 189 | 91 | 125 | 219 | 276 | 413 | 12541 | 139 | 15390 |
| Nonbio | 0.8149 | 0.2559 | Pteropoda | 0 | 0 | 1 | 0 | 162 | 28 | 0 | 0 | 1 | 3 | 8 | 236 | 646 | 1085 |
| Pteropoda | 0.5954 | 0.2453 | Sum | 2804 | 662 | 1665 | 4590 | 8072 | 2759 | 1316 | 1477 | 1393 | 2672 | 2180 | 16854 | 856 | 47300 |

图 25: 选取 19 个特征采用随机森林进行分类的结果

3.3.7 选取 21 个特征 +SVM Linear

在 PkID 软件中, 从 67 个特征中根据自己的判断选取部分特征进行(选取 21 个特征: Fractal、Skelarea、Circ、ESD、Elongation、Circexc、CV、SR、Skew、Kurt、MeanPos、PerimAreaexc、FeretAreaexc、PerimFeret、PerimMaj、CDexc、Symetrieh、Symetriev、Mean、stdDev、Mode),并采用 SVM Linear 进行训练和分类得到的结果如图 26。

3.3.8 选取 21 个特征 +RandomForest

在 PkID 软件中, 从 67 个特征中根据自己的判断选取部分特征进行(选取 21 个特征: Fractal、Skelarea、Circ、ESD、Elongation、Circexc、CV、SR、Skew、Kurt、MeanPos、PerimAreaexc、FeretAreaexc、

| Erro | r rate | | | | | | | 0.300 | 3 | | | | | | | | |
|------------------|----------|-----------|------------------|----------------|--------|--------------|------------------|-------------|----------|-----------|------|-------|------------|----------|--------|-----------|-------|
| Values p | redictio | on | | | | | | Confusion 1 | matrix | | | | | | | | |
| Value | Recall | 1- | | Appendicularia | Bubble | Chaetognatha | CladoceraPenilia | Copepoda | Decapoda | Doliolida | Egg | Fiber | Gelatinous | Multiple | Nonbio | Pteropoda | Sum |
| 13.30 | | Precision | Appendicularia | 2249 | 0 | 101 | 7 | 8 | 11 | 0 | 0 | 48 | 4 | 139 | 156 | 2 | 2725 |
| Appendicularia | 0.8253 | 0.2028 | Bubble | 0 | 563 | 0 | 3 | 17 | 2 | 0 | 48 | 0 | 0 | 6 | 86 | 0 | 725 |
| Bubble | 0.7766 | 0.3249 | Chaetognatha | 141 | 0 | 1547 | 0 | 8 | 0 | 0 | 0 | 15 | 0 | 17 | 17 | 0 | 1745 |
| Chaetognatha | 0.8865 | 0.0916 | CladoceraPenilia | 0 | 0 | 0 | 3262 | 21 | 0 | 7 | 0 | 0 | 69 | 1 | 1265 | 0 | 4625 |
| CladoceraPenilia | 0.7053 | 0.2503 | Copepoda | 0 | 0 | 0 | 10 | 5468 | 180 | 0 | 0 | 0 | 2 | 195 | 1418 | 97 | 7370 |
| Copepoda | 0.7419 | 0.3313 | Decapoda | 4 | 0 | 0 | 0 | 711 | 1577 | 0 | 0 | 0 | 0 | 100 | 385 | 8 | 2785 |
| Decapoda | 0.5662 | 0.2871 | Doliolida | 0 | 0 | 0 | 7 | 0 | 0 | 848 | 0 | 0 | 258 | 1 | 311 | 0 | 1425 |
| Doliolida | 0.5951 | 0.2886 | Egg | 0 | 170 | 0 | 36 | 47 | 2 | 0 | 996 | 0 | 79 | 1 | 378 | 11 | 1720 |
| Egg | 0.5791 | 0.2157 | Fiber | 57 | 0 | 25 | 1 | 4 | 0 | 0 | 2 | 1076 | 1 | 43 | 311 | 0 | 1520 |
| Fiber | 0.7079 | 0.2380 | Gelatinous | 6 | 0 | 0 | 150 | 27 | 5 | 187 | 86 | 1 | 1976 | 60 | 511 | 1 | 3010 |
| Gelatinous | 0.6565 | 0.2809 | Multiple | 247 | 0 | 13 | 135 | 596 | 185 | 16 | 20 | 62 | 89 | 883 | 922 | 7 | 3175 |
| Multiple | 0.2781 | 0.4744 | Nonbio | 114 | 101 | 16 | 740 | 996 | 181 | 134 | 110 | 210 | 270 | 223 | 12201 | 94 | 15390 |
| Nonbio | 0.7928 | 0.3316 | Pteropoda | 3 | 0 | 1 | 0 | 274 | 69 | 0 | 8 | 0 | 0 | 11 | 293 | 426 | 1085 |
| Pteropoda | 0.3926 | 0.3406 | Sum | 2821 | 834 | 1703 | 4351 | 8177 | 2212 | 1192 | 1270 | 1412 | 2748 | 1680 | 18254 | 646 | 47300 |

图 26: 选取 21 个特征采用 SVM Linear 进行分类的结果

PerimFeret、PerimMaj、CDexc、Symetrieh、Symetriev、Mean、stdDev、Mode), 并采用随机森林进行训练和分类得到的结果如图 27, 其分类准确率为 74.91%。

| Erro | r rate | | | | | | | 0.22 | 40 | | | | | | | | |
|------------------|----------|-----------|------------------|----------------|--------|--------------|------------------|-----------|----------|-----------|------|-------|------------|----------|--------|-----------|------|
| Values p | redictio | n | | | | | | Confusion | matrix | | | | | | | | |
| Value | DII | 1- | | Appendicularia | Bubble | Chaetognatha | CladoceraPenilia | Copepoda | Decapoda | Doliolida | Egg | Fiber | Gelatinous | Multiple | Nonbio | Pteropoda | Sum |
| value | Recall | Precision | Appendicularia | 2166 | 0 | 148 | 3 | 0 | 10 | 0 | 0 | 50 | 2 | 191 | 155 | 0 | 2725 |
| Appendicularia | 0.7949 | 0.2256 | Bubble | 0 | 589 | 0 | 0 | 6 | 0 | 0 | 31 | 0 | 0 | 1 | 98 | 0 | 725 |
| Bubble | 0.8124 | 0.0952 | Chaetognatha | 172 | 0 | 1512 | 0 | 5 | 1 | 0 | 0 | 9 | 0 | 22 | 24 | 0 | 1745 |
| Chaetognatha | 0.8665 | 0.1153 | CladoceraPenilia | 0 | 0 | 0 | 4054 | 10 | 0 | 15 | 0 | 0 | 19 | 22 | 505 | 0 | 4625 |
| CladoceraPenilia | 0.8765 | 0.1225 | Copepoda | 4 | 0 | 0 | 10 | 6229 | 167 | 0 | 0 | 0 | 4 | 194 | 737 | 25 | 7370 |
| Copepoda | 0.8452 | 0.2216 | Decapoda | 5 | 0 | 0 | 0 | 349 | 2151 | 0 | 0 | 0 | 0 | 92 | 180 | 8 | 2785 |
| Decapoda | 0.7724 | 0.2089 | Doliolida | 0 | 0 | 0 | 5 | 0 | 0 | 1083 | 0 | 0 | 153 | 11 | 173 | 0 | 1425 |
| Doliolida | 0.7600 | 0.1752 | Egg | 0 | 46 | 0 | 8 | 5 | 1 | 2 | 1281 | 0 | 44 | 15 | 307 | 11 | 1720 |
| Egg | 0.7448 | 0.1262 | Fiber | 50 | 0 | 23 | 0 | 1 | 0 | 2 | 1 | 1125 | 0 | 46 | 272 | 0 | 1520 |
| Fiber | 0.7401 | 0.2388 | Gelatinous | 11 | 0 | 0 | 75 | 20 | 0 | 104 | 25 | 0 | 2111 | 83 | 577 | 4 | 3010 |
| Gelatinous | 0.7013 | 0.2170 | Multiple | 264 | 0 | 14 | 72 | 526 | 180 | 15 | 20 | 69 | 88 | 974 | 948 | 5 | 3175 |
| Multiple | 0.3068 | 0.5233 | Nonbio | 125 | 16 | 10 | 393 | 792 | | | 108 | 225 | 271 | 385 | 12676 | 124 | |
| Nonbio | 0.8237 | 0.2489 | Pteropoda | 0 | 0 | 2 | 0 | 59 | 36 | 0 | 0 | 0 | 4 | 7 | 224 | 753 | |
| Pteropoda | 0.6940 | 0.1903 | Sum | 2797 | 651 | 1709 | 4620 | | | 1313 | 1466 | 1478 | 2696 | 2043 | 16876 | 930 | |

图 27: 选取 21 个特征采用随机森林进行分类的结果

3.3.9 选取 25 个特征 +SVM Linear

在 PkID 软件中, 从 67 个特征中根据自己的判断选取部分特征进行(选取 25 个特征: Fractal、Skelarea、Circ、ESD、Elongation、Circexc、CV、SR、Skew、Kurt、MeanPos、PerimAreaexc、FeretAreaexc、PerimFeret、PerimMaj、CDexc、Symetrieh、Symetriev、Mean、stdDev、Mode、Symetriehc、Symetrievc、Fcons、ThickR),并采用 SVM Linear 进行训练和分类得到的结果如图 28。



图 28: 选取 25 个特征采用 SVM Linear 进行分类的结果

3.3.10 选取 25 个特征 +RandomForest

在 PkID 软件中,从 67 个特征中根据自己的判断选取部分特征进行(选取 25 个特征: Fractal、Skelarea、Circ、ESD、Elongation、Circexc、CV、SR、Skew、Kurt、MeanPos、PerimAreaexc、FeretAreaexc、PerimFeret、PerimMaj、CDexc、Symetrieh、Symetriev、Mean、stdDev、Mode、Symetriehc、Symetrievc、Fcons、ThickR),并采用随机森林进行训练和分类得到的结果如图 29,其分类准确率为 76.5%。

| Erro | rate | | | | | | | 0.213 | 3 | | | | | | | | |
|------------------|--------|-----------|------------------|----------------|--------|--------------|------------------|-----------|----------|-----------|------|-------|------------|----------|--------|-----------|-------|
| Values p | | on | | | | | | Confusion | | | | | | | | | |
| Value | Recall | 1- | | Appendicularia | Bubble | Chaetognatha | CladoceraPenilia | Copepoda | Decapoda | Doliolida | Egg | Fiber | Gelatinous | Multiple | Nonbio | Pteropoda | Sum |
| value | Recall | Precision | Appendicularia | 2184 | 0 | 126 | 3 | 1 | 13 | 0 | 0 | 57 | 6 | 189 | 144 | 2 | 2725 |
| Appendicularia | 0.8015 | 0.2138 | Bubble | 0 | 659 | 0 | 0 | 1 | 0 | 0 | 19 | 0 | 0 | 2 | 44 | 0 | 725 |
| Bubble | 0.9090 | 0.0948 | Chaetognatha | 169 | 0 | 1521 | 0 | 0 | 2 | 0 | 0 | 17 | 0 | 19 | 17 | 0 | 1745 |
| Chaetognatha | 0.8716 | 0.0957 | CladoceraPenilia | 0 | 0 | 0 | 4072 | 20 | 0 | 19 | 0 | 0 | 20 | 23 | 471 | 0 | 4625 |
| CladoceraPenilia | 0.8804 | 0.1125 | Copepoda | 1 | 0 | 0 | 8 | 6261 | 131 | 0 | 0 | 2 | 2 | 212 | 738 | 15 | 7370 |
| Copepoda | 0.8495 | 0.2066 | Decapoda | 6 | 0 | 0 | 0 | 327 | 2182 | 0 | 0 | 0 | 0 | 96 | 170 | 4 | 2785 |
| Decapoda | 0.7835 | 0.2068 | Doliolida | 0 | 0 | 0 | 5 | 0 | 0 | 1082 | 0 | 0 | 156 | 13 | 169 | 0 | 1425 |
| Doliolida | 0.7593 | 0.1467 | Egg | 0 | 62 | 0 | 10 | 0 | 0 | 3 | 1355 | 0 | 40 | 1 | 248 | 1 | 1720 |
| Egg | 0.7878 | 0.1038 | Fiber | 51 | 0 | 17 | 0 | 1 | 0 | 0 | 0 | 1145 | 0 | 59 | 247 | 0 | 1520 |
| Fiber | 0.7533 | 0.2437 | Gelatinous | 5 | 0 | 0 | 72 | 25 | 1 | 76 | 39 | 2 | 2131 | 99 | 557 | 3 | 3010 |
| Gelatinous | 0.7080 | 0.2254 | Multiple | 257 | 3 | 3 | 70 | 489 | 214 | 15 | 16 | 73 | 101 | 1002 | 923 | 9 | 3175 |
| Multiple | 0.3156 | 0.5278 | Nonbio | 105 | 4 | 10 | 348 | 722 | 170 | 73 | 83 | 217 | 292 | 395 | 12868 | 103 | 15390 |
| Nonbio | 0.8361 | 0.2354 | Pteropoda | 0 | 0 | 5 | 0 | 44 | 38 | 0 | 0 | 1 | 3 | 12 | 234 | 748 | 1085 |
| Pteropoda | 0.6894 | 0.1548 | Sum | 2778 | 728 | 1682 | 4588 | 7891 | 2751 | 1268 | 1512 | 1514 | 2751 | 2122 | 16830 | 885 | 47300 |

图 29: 选取 25 个特征采用随机森林进行分类的结果

3.3.11 选取 27 个特征 +SVM Linear

在 PkID 软件中, 从 67 个特征中根据自己的判断选取部分特征进行(选取 27 个特征: Fractal、Skelarea、Circ、ESD、Elongation、Circexc、CV、SR、Skew、Kurt、MeanPos、PerimAreaexc、FeretAreaexc、

PerimFeret、PerimMaj、CDexc、Symetrieh、Symetriev、Mean、stdDev、Mode、Symetriehc、Symetrievc、Fcons、ThickR、Convperim、Convarea),并采用 SVM Linear 进行训练和分类得到的结果如图 30。

| Erro | rate | | | | | | | 0.2819 |) | | | | | | | | |
|------------------|-----------|-----------|------------------|----------------|--------|--------------|------------------|-------------|----------|-----------|------|-------|------------|----------|--------|-----------|-------|
| Values p | rediction | on | | | | | | Confusion r | matrix | | | | | | | | |
| Value | Recall | 1- | | Appendicularia | Bubble | Chaetognatha | CladoceraPenilia | Copepoda | Decapoda | Doliolida | Egg | Fiber | Gelatinous | Multiple | Nonbio | Pteropoda | Sum |
| value | necun | Precision | Appendicularia | 2273 | 0 | 94 | 3 | 11 | 9 | 0 | 0 | 37 | 5 | 122 | 171 | 0 | 2725 |
| Appendicularia | 0.8341 | 0.1937 | Bubble | 0 | 583 | 0 | 0 | 24 | 0 | 0 | 46 | 0 | 0 | 3 | 69 | 0 | 725 |
| Bubble | 0.8041 | 0.3084 | Chaetognatha | 143 | 0 | 1551 | 0 | 0 | 8 | 0 | 0 | 15 | 0 | 16 | 12 | 0 | 1745 |
| Chaetognatha | 0.8888 | 0.0909 | CladoceraPenilia | 0 | 0 | 0 | 3388 | 29 | 0 | 10 | 0 | 0 | 60 | 1 | 1137 | 0 | 4625 |
| CladoceraPenilia | 0.7325 | 0.2305 | Copepoda | 0 | 0 | 0 | 17 | 5789 | 155 | 0 | 0 | 3 | 2 | 171 | 1136 | 97 | 7370 |
| Copepoda | 0.7855 | 0.3078 | Decapoda | 2 | 0 | 0 | 0 | 611 | 1711 | 0 | 0 | 0 | 0 | 94 | 357 | 10 | 2785 |
| Decapoda | 0.6144 | 0.2676 | Doliolida | 0 | 0 | 0 | 7 | 0 | 0 | 904 | 0 | 0 | 242 | 0 | 272 | 0 | 1425 |
| Doliolida | 0.6344 | 0.2745 | Egg | 0 | 180 | 0 | 34 | 41 | 1 | 0 | 1036 | 0 | 67 | 0 | 352 | 9 | 1720 |
| Egg | 0.6023 | 0.1738 | Fiber | 60 | 0 | 26 | 1 | 0 | 0 | 0 | 2 | 1113 | 0 | 40 | 278 | 0 | 1520 |
| Fiber | 0.7322 | 0.2184 | Gelatinous | 5 | 0 | 1 | 139 | 37 | 7 | 183 | 45 | 4 | 1994 | 58 | 532 | 5 | 3010 |
| Gelatinous | 0.6625 | 0.2728 | Multiple | 233 | 0 | 17 | 122 | 584 | 189 | 11 | 13 | 61 | 90 | 867 | 978 | 10 | 3175 |
| Multiple | 0.2731 | 0.4530 | Nonbio | 98 | 80 | 16 | 692 | 998 | 186 | 138 | 103 | 191 | 282 | 208 | 12299 | 99 | 15390 |
| Nonbio | 0.7992 | 0.3126 | Pteropoda | 5 | 0 | 1 | 0 | 239 | 70 | 0 | 9 | 0 | 0 | 5 | 298 | 458 | 1085 |
| Pteropoda | 0.4221 | 0.3343 | Sum | 2819 | 843 | 1706 | 4403 | 8363 | 2336 | 1246 | 1254 | 1424 | 2742 | 1585 | 17891 | 688 | 47300 |

图 30: 选取 27 个特征采用 SVM Linear 进行分类的结果

3.3.12 选取 27 个特征 +RandomForest

在 PkID 软件中,从 67 个特征中根据自己的判断选取部分特征进行(选取 27 个特征: Fractal、Skelarea、Circ、ESD、Elongation、Circexc、CV、SR、Skew、Kurt、MeanPos、PerimAreaexc、FeretAreaexc、PerimFeret、PerimMaj、CDexc、Symetrieh、Symetriev、Mean、stdDev、Mode、Symetriehc、Symetrievc、Fcons、ThickR、Convperim、Convarea),并采用随机森林进行训练和分类得到的结果如图 31,其分类准确率为 76.3%。

| _ | | | | | | | | 0.040 | | | | | | | | | |
|------------------|-----------|-----------|------------------|----------------|--------|--------------|------------------|-----------|----------|-----------|------|-------|------------|----------|--------|-----------|-------|
| | r rate | | | | | | | 0.212 | | | | | | | | | |
| Values p | rediction | on | | | | | | Confusion | matrix | | | | | | | | |
| Value | Recall | 1- | | Appendicularia | Bubble | Chaetognatha | CladoceraPenilia | Copepoda | Decapoda | Doliolida | Egg | Fiber | Gelatinous | Multiple | Nonbio | Pteropoda | Sum |
| varde | recuir | Precision | Appendicularia | 2191 | 0 | 122 | 0 | 0 | 19 | 0 | 0 | 67 | 0 | 178 | 147 | 1 | 2725 |
| Appendicularia | 0.8040 | 0.2200 | Bubble | 0 | 630 | 0 | 0 | 5 | 0 | 0 | 30 | 0 | 0 | 3 | 57 | 0 | 725 |
| Bubble | 0.8690 | 0.0735 | Chaetognatha | 148 | 0 | 1541 | 0 | 2 | 4 | 0 | 0 | 10 | 1 | 27 | 12 | 0 | 1745 |
| Chaetognatha | 0.8831 | 0.1015 | CladoceraPenilia | 0 | 0 | 0 | 4079 | 12 | 0 | 22 | 0 | 0 | 16 | 20 | 476 | 0 | 4625 |
| CladoceraPenilia | 0.8819 | 0.1140 | Copepoda | 3 | 0 | 0 | 12 | 6348 | 124 | 0 | 0 | 0 | 5 | 211 | 647 | 20 | 7370 |
| Copepoda | 0.8613 | 0.2072 | Decapoda | 5 | 0 | 0 | 0 | 323 | 2201 | 0 | 0 | 0 | 0 | 99 | 154 | 3 | 2785 |
| Decapoda | 0.7903 | 0.2048 | Doliolida | 0 | 0 | 0 | 5 | 0 | 0 | 1076 | 0 | 0 | 154 | 9 | 181 | 0 | 1425 |
| Doliolida | 0.7551 | 0.1567 | Egg | 0 | 47 | 0 | 9 | 2 | 0 | 1 | 1366 | 0 | 42 | 2 | 247 | 4 | 1720 |
| Egg | 0.7942 | 0.1025 | Fiber | 58 | 0 | 24 | 0 | 0 | 0 | 1 | 0 | 1114 | 0 | 57 | 266 | 0 | 1520 |
| Fiber | 0.7329 | 0.2359 | Gelatinous | 10 | 0 | 0 | 80 | 24 | 1 | 92 | 23 | 0 | 2122 | 88 | 567 | 3 | 3010 |
| Gelatinous | 0.7050 | 0.2230 | Multiple | 287 | 1 | 15 | 67 | 499 | 216 | 9 | 10 | 60 | 104 | 1005 | 896 | 6 | 3175 |
| Multiple | 0.3165 | 0.5230 | Nonbio | 107 | 2 | | 352 | 738 | | 75 | | | 283 | | 12836 | | 15390 |
| Nonbio | 0.8340 | 0.2320 | Pteropoda | 0 | 0 | 1 | 0 | | | 0 | 0 | | 4 | 8 | 228 | 751 | |
| Pteropoda | 0.6922 | 0.1738 | Sum | 2809 | | 1715 | 4604 | | | | | | | · | 16714 | | 47300 |
| | | | Julii | 2007 | 000 | 1713 | 4004 | 0007 | 2700 | 12/0 | 1322 | 1430 | 2/31 | 2107 | 10/14 | 707 | 4/300 |

图 31: 选取 27 个特征采用随机森林进行分类的结果

3.3.13 选取 29 个特征 +RandomForest

在 PkID 软件中, 从 67 个特征中根据自己的判断选取部分特征进行(选取 29 个特征: Mean, StdDev, Fractal, Skelarea, Circ, Kurt, Skew, Symetrieh, Symetriev, Symetriehc, Symetrievc, Convperim, Convarea, Elongation, MeanPos, CV, SR, PermAreaexc, FeretAreaexc, PerimFeret, Circexc, CDexc, PerimMaj, ESD, ThickR, Fcons, Nb1, Nb2, Nb3), 并采用随机森林进行训练和分类得到的结果如图 32, 其分类准确率为 76.3%。

| Erro | r rate | | | | | | | 0.206 | 55 | | | | | | | | |
|------------------|----------|-----------|------------------|----------------|--------|--------------|------------------|-----------|----------|-----------|------|-------|------------|----------|--------|-----------|-------|
| Values p | redictio | n | | | | | | Confusion | matrix | | | | | | | | |
| Value | Recall | 1- | | Appendicularia | Bubble | Chaetognatha | CladoceraPenilia | Copepoda | Decapoda | Doliolida | Egg | Fiber | Gelatinous | Multiple | Nonbio | Pteropoda | Sum |
| raide | necuii | Precision | Appendicularia | 2223 | 0 | 118 | 9 | 0 | 16 | 0 | 0 | 39 | 2 | 174 | 144 | 0 | 2725 |
| Appendicularia | 0.8158 | 0.2027 | Bubble | 0 | 652 | 0 | 0 | 2 | 0 | 0 | 24 | 0 | 0 | 1 | 46 | 0 | 725 |
| Bubble | 0.8993 | 0.0856 | Chaetognatha | 142 | 0 | 1544 | 0 | 0 | 5 | 0 | 0 | 20 | 0 | 18 | 16 | 0 | 1745 |
| Chaetognatha | 0.8848 | 0.0960 | CladoceraPenilia | 0 | 0 | 0 | 4117 | 22 | 0 | 3 | 0 | 0 | 11 | 14 | 458 | 0 | 4625 |
| CladoceraPenilia | 0.8902 | 0.0920 | Copepoda | 3 | 0 | 0 | 8 | 6276 | 133 | 0 | 0 | 3 | 3 | 223 | 704 | 17 | 7370 |
| Copepoda | 0.8516 | 0.2045 | Decapoda | 4 | 0 | 0 | 0 | 325 | 2186 | 0 | 0 | 0 | 0 | 109 | 156 | 5 | 2785 |
| Decapoda | 0.7849 | 0.2097 | Doliolida | 0 | 0 | 0 | 0 | 0 | 0 | 1116 | 0 | 0 | 159 | 5 | 145 | 0 | 1425 |
| Doliolida | 0.7832 | 0.1129 | Egg | 0 | 56 | 0 | 9 | 0 | 0 | 0 | 1340 | 0 | 25 | 1 | 286 | 3 | 1720 |
| Egg | 0.7791 | 0.1037 | Fiber | 59 | 0 | 22 | 0 | 0 | 0 | 0 | 0 | 1131 | 1 | 44 | 263 | 0 | 1520 |
| Fiber | 0.7441 | 0.2290 | Gelatinous | 8 | 0 | 2 | 49 | 18 | 1 | 71 | 26 | 0 | 2184 | 103 | 548 | 0 | 3010 |
| Gelatinous | 0.7256 | 0.2093 | Multiple | 255 | 4 | 6 | 54 | 484 | 219 | 9 | 17 | 64 | 104 | 1006 | 948 | 5 | 3175 |
| Multiple | 0.3169 | 0.5182 | Nonbio | 92 | 1 | 11 | 288 | 723 | 155 | 59 | 88 | 210 | 270 | 375 | 13026 | 92 | 15390 |
| Nonbio | 0.8464 | 0.2327 | Pteropoda | 2 | 0 | 5 | 0 | 39 | 51 | 0 | 0 | 0 | 3 | 15 | 237 | 733 | 1085 |
| Pteropoda | 0.6756 | 0.1427 | Sum | 2788 | 713 | 1708 | 4534 | 7889 | 2766 | 1258 | 1495 | 1467 | 2762 | 2088 | 16977 | 855 | 47300 |

图 32: 选取 29 个特征采用随机森林进行分类的结果

3.4 实验分析

- 位置特征、尺度特征和灰度特征对分类结果没有太大影响。
- 使用 PkID 中的特征能达到的最高分类识别率大概在 76% 左右。
- 我们自己的 SVM 和随机森林分类结果要比 PkID 中的分类结果高 1% 左右。
- 随机森林的分类准确率要比 SVM 要高。

根据以上实验,判断可以从 PkID 的 67 个特征中选取一下特征: Mean, StdDev, Fractal, Skelarea, Circ, Kurt, Skew, Symetrieh, Symetriev, Elongation, MeanPos, CV, SR, PermAreaexc, FeretAreaexc, PerimFeret, Circexc, CDexc, Symetriehc, Symetrievc, Convperim, Convarea, (PerimMaj, ESD, ThickR, Fcons, Nb1, Nb2, Nb3)。

前 22 个特征,在 PkID 软件采用 SVM Linear 进行训练和分类得到的结果如图 33,其分类准确率为 66.07%。

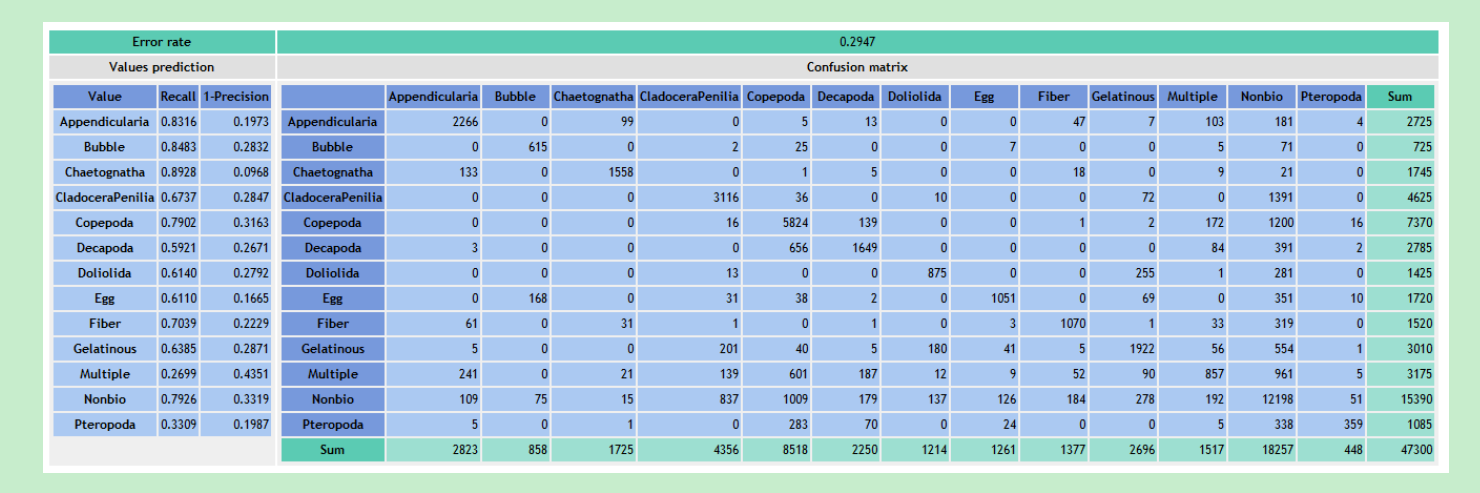


图 33: 选取 22 个特征采用 SVM Linear 进行分类的结果

前 22 个特征, 用自己设计的 SVM Linear 进行训练和分类得到的结果如图 34。

| | Appendicularia | Bubble | Chaetognatha | CladoceraPenilia | Copepoda | Decapoda | Doliolida | Egg | Fiber | Gelatinous | Multiple | Nonbio | Pteropoda | Total | Recall | 1-Precision |
|------------------|----------------|--------|--------------|------------------|----------|----------|-----------|------|-------|------------|----------|--------|-----------|-------|-----------|-------------|
| Appendicularia | 2309 | 0 | 88 | 4 | 6 | 14 | 0 | 0 | 49 | 6 | 89 | 157 | 3 | 2725 | 0.847339 | 0. 199653 |
| Bubble | 0 | 633 | 0 | 3 | 24 | 1 | 0 | 14 | 0 | 0 | 6 | 44 | 0 | 725 | 0.873103 | 0. 330867 |
| Chaetognatha | 134 | 0 | 1565 | 0 | 0 | 7 | 0 | 0 | 10 | 0 | 10 | 19 | 0 | 1745 | 0.896848 | 0.096942 |
| CladoceraPenilia | 0 | 0 | 0 | 3528 | 37 | 0 | 10 | 1 | 0 | 67 | 0 | 982 | 0 | 4625 | 0.762811 | 0. 271074 |
| Copepoda | 0 | 0 | 0 | 22 | 6062 | 131 | 0 | 0 | 3 | 0 | 153 | 985 | 14 | 7370 | 0.822524 | 0. 328236 |
| Decapoda | 3 | 0 | 0 | 0 | 706 | 1677 | 0 | 0 | 0 | 0 | 63 | 336 | 0 | 2785 | 0.602154 | 0. 268005 |
| Doliolida | 0 | 0 | 0 | 28 | 0 | 0 | 966 | 0 | 0 | 209 | 0 | 222 | 0 | 1425 | 0. 677895 | 0. 253478 |
| Egg | 0 | 203 | 0 | 40 | 134 | 0 | 1 | 1013 | 0 | 58 | 0 | 260 | 11 | 1720 | 0. 588953 | 0. 171031 |
| Fiber | 53 | 0 | 38 | 2 | 0 | 1 | 0 | 5 | 1078 | 0 | 40 | 303 | 0 | 1520 | 0.709211 | 0. 218274 |
| Gelatinous | 5 | 0 | 0 | 209 | 39 | 11 | 154 | 45 | 5 | 1951 | 56 | 535 | 0 | 3010 | 0.648173 | 0. 269288 |
| Multiple | 273 | 0 | 25 | 164 | 603 | 184 | 15 | 14 | 49 | 100 | 826 | 917 | 5 | 3175 | 0. 260157 | 0. 42439 |
| Nonbio | 103 | 110 | 17 | 840 | 1044 | 174 | 148 | 108 | 185 | 279 | 187 | 12143 | 52 | 15390 | 0. 789019 | 0. 291334 |
| Pteropoda | 5 | 0 | 0 | 0 | 369 | 91 | 0 | 22 | 0 | 0 | 5 | 232 | 361 | 1085 | 0. 332719 | 0. 190583 |
| Total | 2885 | 946 | 1733 | 4840 | 9024 | 2291 | 1294 | 1222 | 1379 | 2670 | 1435 | 17135 | 446 | 47300 | 0.677762 | 0. 254858 |

图 34: 选取 22 个特征采用 SVM Linear 进行分类的结果

前 22 个特征, 在 PkID 软件采用随机森林进行训练和分类得到的结果如图 35, 其分类准确率为76.66%。

前 22 个特征, 用自己设计的随机森林进行训练和分类得到的结果如图 35。

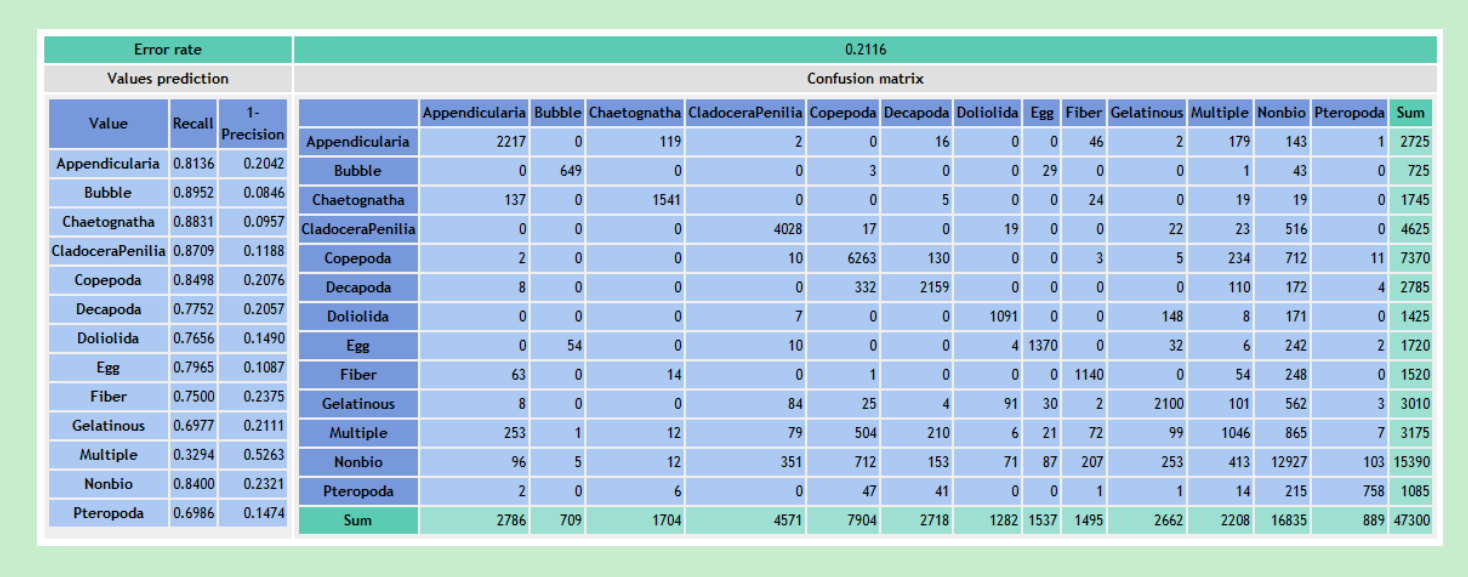


图 35: 选取 22 个特征采用随机森林进行分类的结果

| | Appendicularia | Bubble | Chaetognatha | CladoceraPenilia | Copepoda | Decapoda | Doliolida | Egg | Fiber | Gelatinous | Multiple | Nonbio | Pteropoda | Total | Recall | 1-Precision |
|------------------|----------------|--------|--------------|------------------|----------|----------|-----------|------|-------|------------|----------|--------|-----------|-------|-----------|-------------|
| Appendicularia | 2276 | 0 | 97 | 4 | 0 | 15 | 0 | 0 | 53 | 2 | 134 | 144 | 0 | 2725 | 0.835229 | 0. 198592 |
| Bubble | 0 | 632 | 0 | 0 | 3 | 0 | 0 | 30 | 0 | 0 | 1 | 59 | 0 | 725 | 0.871724 | 0.063704 |
| Chaetognatha | 143 | 0 | 1549 | 0 | 1 | 5 | 0 | 0 | 12 | 0 | 22 | 12 | 1 | 1745 | 0.887679 | 0.080712 |
| CladoceraPenilia | 0 | 0 | 0 | 4051 | 15 | 0 | 26 | 0 | 0 | 12 | 17 | 504 | 0 | 4625 | 0.875892 | 0. 106922 |
| Copepoda | 0 | 0 | 0 | 10 | 6334 | 137 | 0 | 0 | 0 | 4 | 208 | 660 | 17 | 7370 | 0.85943 | 0. 189404 |
| Decapoda | 2 | 0 | 0 | 0 | 309 | 2216 | 0 | 0 | 0 | 0 | 92 | 163 | 3 | 2785 | 0. 795691 | 0. 208571 |
| Doliolida | 0 | 0 | 0 | 7 | 0 | 0 | 1092 | 0 | 0 | 149 | 3 | 174 | 0 | 1425 | 0.766316 | 0. 137441 |
| Egg | 0 | 41 | 0 | 8 | 1 | 0 | 0 | 1414 | 0 | 33 | 1 | 218 | 4 | 1720 | 0.822093 | 0.097639 |
| Fiber | 53 | 0 | 12 | 0 | 0 | 0 | 1 | 0 | 1130 | 0 | 57 | 267 | 0 | 1520 | 0.743421 | 0. 228669 |
| Gelatinous | 5 | 0 | 0 | 81 | 28 | 3 | 77 | 22 | 3 | 2064 | 86 | 638 | 3 | 3010 | 0.685714 | 0. 208589 |
| Multiple | 274 | 1 | 12 | 72 | 458 | 222 | 12 | 11 | 61 | 94 | 1022 | 930 | 6 | 3175 | 0. 32189 | 0. 499265 |
| Nonbio | 87 | 1 | 11 | 303 | 629 | 163 | 58 | 90 | 206 | 249 | 387 | 13093 | 113 | 15390 | 0.850747 | 0. 233745 |
| Pteropoda | 0 | 0 | 4 | 0 | 36 | 39 | 0 | 0 | 0 | 1 | 11 | 225 | 769 | 1085 | 0. 708756 | 0. 16048 |
| Total | 2840 | 675 | 1685 | 4536 | 7814 | 2800 | 1266 | 1567 | 1465 | 2608 | 2041 | 17087 | 916 | 47300 | 0.771122 | 0. 185672 |

图 36: 选取 22 个特征采用随机森林进行分类的结果

4. 计算机视觉特征提取

4.1 几何参数

4.1.1 边界的周长

轮廓边界的周长。对轮廓边缘上的像素点的统计。

4.1.2 边界的曲率

4.1.3 面积

描述区域大小的特征。对区域内总像素点的统计。

4.1.4 宽度和高度

最小外接矩形的宽度和高度

4.1.5 矩形度

反映被检测目标的最小外接矩形的充满程度, 当目标的形状越接近矩形时, 矩形度的值越接近 1。

$$R = \frac{A}{WH}$$

A 为目标的面积, W、H 分别为最小外接矩形的宽度和高度。

4.1.6 体态比

为目标最小外接矩形的长与宽的比值。

$$C = \frac{W}{H}$$

4.1.7 圆形性

用目标区域的所有边界点定义的特征向量。

$$C_I = \frac{\mu_R}{\sigma_R}$$

 μ_R 为区域重心到边界点的平均距离, σ_R 为从区域重心到边界点的距离的平均方差。

4.1.8 偏心率

在一定程度上反映了区域的紧凑程度。定义为目标区域长短主轴的平方根的比值。

$$E = \frac{p}{q}$$

设目标区域在 XY 平面上,区域像素点绕 X 轴的转动惯量为 A,绕 Y 轴的转动惯量为 B,惯性积为 C。目标区域的长度分别是 P 和 Q。

$$p = \sqrt{\frac{2}{(A+B) + \sqrt{(A-B)^2 + 4C^2}}}$$

$$q = \sqrt{\frac{2}{(A+B) - \sqrt{(A-B)^2 + 4C^2}}}$$

4.1.9 凸率

为目标区域面积与目标区域凸包面积之比, 该特征包含着描述边界不规则特性的信息。

$$C_R = \frac{A}{\sum_{x=1}^{M} \sum_{y=1}^{N} k(x, y)}$$

分母为凸包区域的面积。

4.1.10 密集度

描述目标密集度的量化特征,提供了目标形状的重要信息。在周长确定后,密集度越高,所围成的面积越大。

$$C_2 = \frac{L^2}{4\pi A}$$

L为周长。

4.1.11 球状性

内切圆的直径与外接圆的直径之比。

$$S = \frac{r_i}{r_c}$$

4.1.12 伸长度

周长与目标区域最小外接矩形面积之比。

$$P = \frac{L}{WH}$$

4.1.13 叶状性

叶状反映了边界的幅度特征,为区域重心到边界的最短距离与目标区域的最大宽度之比。

$$B = \frac{R_1}{W_{max}}$$

4.2 几种典型的特征描述方法

4.2.1 边界描述子

- 链码
- 多边形近似
- 骨架
- 形状数
- 统计矩: 边界线段的形状可以通过简单的统计矩进行定量的描述, 如均值、方差和高阶矩。
- 傅里叶描述子
- 曲率尺度空间
- 形状上下文(KNN)

4.2.2 区域描述子

- 拓扑描述: 欧拉数
- 不变矩
- 角半径变换 (Angular RadialTransformation, ART): 通过使用一组半径变换系数, 描述单个连通区域或者不连通区域, 对旋转和噪声具有鲁棒性。

纹理

- 统计方法: 灰度共生矩阵

- 模型法: 马尔科夫随机场

- 频谱方法: Gabor 滤波、小波变换

4.3 特征融合

特征融合分为三个层次:数据级融合、特征级融合和决策级融合。数据级融合是结合未加工的信息来得到更加丰富的信息。特征级融合是选择并结合特征来去除多余和无关的特征。决策级融合是用 多个相同或不同的分类器,相同或不同的分类器。

图像融合方法:

像素级: PCA (主成分分析)、HIS 变换、Brovery 变换、线性加权法、SFIM、IHS 变换、高通滤波法、小波变换融合算法。

特征级: 聚类分析法、贝叶斯估计法、信息熵法、神经网络法、带权平均法、Dempster-shafer 推理法、表决法及神经网络法。

决策级:神经网络法、贝叶斯融合、模糊聚类法、模糊集理论、可靠性理论以及逻辑模板法。

4.3.1 贝叶斯融合 (Bayes Fusion)

当在进行图像分类过程中,可能需要用到不止一种特征。贝叶斯融合可以通过结合不同分类器的 结果实现特征融合。

贝叶斯融合规则:

如果要将一幅图像分类到 n 个可能的种类中 $(\omega_1,\ldots,\omega_n)$, x_i 表示第 i 个分类器产生的待识的属性,它属于 n 个模式类之一。记 $P(\omega_k)$ 为先验概率, $P(x_i|\omega_k)$ 为每类的概率密度函数, $P(x_1,\ldots,x_R|\omega_k)$ 联合概率分布函数, R 为用来分类的分类器数目。

根据贝叶斯最小错误率理论, 如果

$$P(\omega_j|x_1,\dots,x_R) = \max_k P(\omega_k|x_1,\dots,x_R)$$
(1)

则 $Z \in \omega_j$ 。

且有:

$$P(\omega_j|x_1,\ldots,x_R) = \frac{P(x_1,\ldots,x_R|\omega_k)P(\omega_k)}{P(x_1,\ldots,x_R)}$$
(2)

其中

$$P(x_1, \dots, x_R) = \sum_{j=1}^n P(x_1, \dots, x_R | \omega_k) P(\omega_j)$$
(3)

假定分类器度量之间是相互独立的,有:

$$P(x_1, \dots, x_R | \omega_k) = \prod_{i=1}^R P(x_i | \omega_k)$$
(4)

将式 (3)(4) 带入式 (2) 有:

$$P(\omega_j|x_1,\dots,x_R) = \frac{P(\omega_k) \prod_{i=1}^R P(x_i|\omega_k)}{\sum_{j=1}^n P(\omega_j) \prod_{i=1}^R P(x_i|\omega_k)}$$
(5)

将式 (5) 带入式 (1), 得到:

1. 融合规则 1: 乘法规则

$$P(\omega_j) \prod_{i=1}^R P(x_i|\omega_j) = \max_{k=1}^n P(\omega_k) \prod_{i=1}^R P(x_i|\omega_k)$$
(6)

转化为后验概率,得到:

$$P^{-(R-1)}(\omega_j) \prod_{i=1}^R P(\omega_j | x_i) = \max_{k=1}^n P^{-(R-1)}(\omega_k) \prod_{i=1}^R P(\omega_k | x_i)$$
 (7)

这样就可以将该图片归类为 ω_j 。

2. 融合规则 2: 加法规则

在乘法规则中, 如果假定由分类器输出的后验概率与相应的先验概率之间只有微小的偏差:

$$P(\omega_k|x_i) = P(\omega_k)(1+\delta_{ki}), \delta_{ki} \ll 1$$
(8)

由此得到:

$$P^{-(R-1)}(\omega_k) \prod_{i=1}^{R} P(\omega_k | x_i) = P(\omega_k) \prod_{i=1}^{R} (1 + \delta_{ki})$$
(9)

如果将上式右边的乘积展开忽略二次以上的项, 即:

$$P(\omega_k) \prod_{i=1}^R (1 + \delta_{ki}) = P(\omega_k) + P(\omega_k) \sum_{i=1}^R \delta_{ki}$$
(10)

再将式 (8)(10) 带入 (7) 可以得到加法规则如下:

$$(1-R)P(\omega_j) + \sum_{i=1}^n P(\omega_j|x_i) = \max_{k=1}^n [(1-R)P(\omega_k) + \sum_{i=1}^R P(\omega_k|x_i)]$$
 (11)

通常我们假定各类的先验概率是相等的, 则上式等价于:

$$\sum_{i=1}^{R} P(\omega_{i}|x_{i}) = \max_{k=1}^{n} \sum_{i=1}^{R} P(\omega_{k}|x_{i})$$
(12)

由于加法规则对估计误差不敏感, 因而具有比其他规则更好的性能。

5. 选取特征进行实验

该部分进行的实验:用 Matlab 和 C (以 MATLAB 为主)实现对浮游动物特征的提取 (特征包括 PkID 中部分特征以及计算视觉中的一些特征提取方法),并进行分类。在该实验中使用的去噪方法是 去掉连通区域小于 50 的噪声。

5.1 参数特征选取实验

5.1.1 实验一

选用特征: Mean、StdDev、CV、SR、MeanPos、Elongation、Circ、Feret、PerimAreaexc、CDexc、Skelarea、FeretAreaexc、PerimFeret。(这些特征是从 PkID 的 67 个特征中选取的)

分类器: 随机森林、SVM

- MATLAB: 采用随机森林进行训练和分类得到的结果如图 37, 其分类准确率为 61.6%。采用 SVM Linear 进行训练和分类得到的结果如图 38, 其分类准确率为 39.9%
- C: 采用随机森林进行训练和分类得到的结果如图 39, 其分类准确率为 59.7%。采用 SVM Linear 进行训练和分类得到的结果如图 40, 其分类准确率为 33.4%

| | Appendicularia | Bubble | Chaetognatha | CladoceraPenilia | Copepoda | Decapoda | Doliolida | Egg | Fiber | Gelatinous | Multiple | Nonbio | Pteropoda | Total | Recall | 1-Precision |
|------------------|----------------|--------|--------------|------------------|----------|----------|-----------|------|-------|------------|----------|--------|-----------|-------|-----------|-------------|
| Appendicularia | 1857 | 0 | 220 | 49 | 20 | 12 | 5 | 0 | 64 | 64 | 124 | 310 | 0 | 2725 | 0.681468 | 0. 355208 |
| Bubble | 0 | 527 | 0 | 4 | 11 | 0 | 0 | 94 | 0 | 2 | 5 | 82 | 0 | 725 | 0. 726897 | 0. 155449 |
| Chaetognatha | 234 | 0 | 1279 | 0 | 3 | 0 | 2 | 0 | 134 | 7 | 36 | 50 | 0 | 1745 | 0. 732951 | 0. 244982 |
| CladoceraPenilia | 15 | 0 | 0 | 3587 | 16 | 2 | 8 | 5 | 1 | 80 | 46 | 865 | 0 | 4625 | 0. 775568 | 0. 270045 |
| Copepoda | 5 | 0 | 0 | 21 | 5715 | 379 | 5 | 0 | 2 | 5 | 189 | 984 | 65 | 7370 | 0.775441 | 0. 310865 |
| Decapoda | 6 | 0 | 0 | 1 | 866 | 1421 | 0 | 2 | 3 | 4 | 128 | 332 | 22 | 2785 | 0. 510233 | 0. 394288 |
| Doliolida | 0 | 0 | 0 | 7 | 1 | 0 | 971 | 0 | 0 | 204 | 9 | 233 | 0 | 1425 | 0.681404 | 0. 354388 |
| Egg | 0 | 71 | 0 | 39 | 0 | 18 | 0 | 1210 | 0 | 23 | 41 | 314 | 4 | 1720 | 0. 703488 | 0. 212752 |
| Fiber | 173 | 0 | 127 | 5 | 13 | 19 | 7 | 0 | 779 | 17 | 98 | 282 | 0 | 1520 | 0. 5125 | 0.386614 |
| Gelatinous | 42 | 1 | 2 | 237 | 18 | 0 | 284 | 20 | 5 | 1122 | 137 | 1139 | 3 | 3010 | 0. 372757 | 0.509615 |
| Multiple | 227 | 0 | 30 | 168 | 463 | 227 | 56 | 43 | 79 | 238 | 765 | 866 | 13 | 3175 | 0. 240945 | 0.608896 |
| Nonbio | 321 | 25 | 36 | 796 | 987 | 229 | 166 | 162 | 203 | 522 | 365 | 11396 | 182 | 15390 | 0.740481 | 0. 333801 |
| Pteropoda | 0 | 0 | 0 | 0 | 180 | 39 | 0 | 1 | 0 | 0 | 13 | 253 | 599 | 1085 | 0. 552074 | 0. 32545 |
| Total | 2880 | 624 | 1694 | 4914 | 8293 | 2346 | 1504 | 1537 | 1270 | 2288 | 1956 | 17106 | 888 | 47300 | 0.615862 | 0. 343258 |

图 37: Matlab-13 个特征采用随机森林进行分类的结果

5.1.2 实验二

选用特征: Mean、StdDev、CV、SR、MeanPos、Elongation、Circ、Feret、PerimAreaexc、CDexc、Skelarea、FeretAreaexc、PerimFeret、矩形度、体态比、凸率、伸长度、灰度共生矩阵(对比度)、对称性(左右),共 19 个特征。(前 13 个特征为5.1.1实验一所使用的特征)

| | Appendicularia | Bubble | Chaetognatha | CladoceraPenilia | Copepoda | Decapoda | Doliolida | Egg | Fiber | Gelatinous | Multiple | Nonbio | Pteropoda | Total | Recall | 1-Precision |
|------------------|----------------|--------|--------------|------------------|----------|----------|-----------|-----|-------|------------|----------|--------|-----------|-------|-----------|-------------|
| Appendicularia | 1891 | 0 | 145 | 104 | 36 | 3 | 7 | 0 | 61 | 51 | 62 | 365 | 0 | 2725 | 0. 693945 | 0. 362441 |
| Bubble | 0 | 254 | 0 | 19 | 33 | 0 | 0 | 260 | 0 | 0 | 2 | 157 | 0 | 725 | 0. 350345 | 0.498024 |
| Chaetognatha | 273 | 0 | 1227 | 0 | 11 | 2 | 2 | 0 | 113 | 7 | 10 | 100 | 0 | 1745 | 0. 703152 | 0. 245387 |
| CladoceraPenilia | 1 | 0 | 0 | 3312 | 29 | 0 | 1 | 0 | 0 | 8 | 17 | 1257 | 0 | 4625 | 0.716108 | 0.407725 |
| Copepoda | 3 | 0 | 0 | 35 | 5465 | 10 | 0 | 1 | 2 | 0 | 88 | 1762 | 4 | 7370 | 0.74152 | 0. 52116 |
| Decapoda | 7 | 0 | 0 | 0 | 2341 | 155 | 0 | 0 | 0 | 0 | 42 | 240 | 0 | 2785 | 0. 055655 | 0. 448399 |
| Doliolida | 2 | 0 | 0 | 50 | 0 | 0 | 359 | 0 | 0 | 447 | 0 | 567 | 0 | 1425 | 0. 25193 | 0. 544416 |
| Egg | 0 | 157 | 0 | 128 | 217 | 0 | 3 | 406 | 0 | 2 | 18 | 788 | 1 | 1720 | 0. 236047 | 0. 533869 |
| Fiber | 189 | 0 | 197 | 10 | 43 | 10 | 3 | 0 | 558 | 14 | 36 | 460 | 0 | 1520 | 0.367105 | 0.403209 |
| Gelatinous | 20 | 0 | 0 | 653 | 55 | 0 | 204 | 3 | 0 | 487 | 177 | 1411 | 0 | 3010 | 0. 161794 | 0.674683 |
| Multiple | 274 | 0 | 17 | 340 | 929 | 21 | 35 | 0 | 48 | 208 | 373 | 929 | 1 | 3175 | 0. 11748 | 0.605291 |
| Nonbio | 306 | 95 | 40 | 941 | 1722 | 21 | 174 | 199 | 153 | 273 | 108 | 11332 | 26 | 15390 | 0. 736322 | 0. 427503 |
| Pteropoda | 0 | 0 | 0 | 0 | 532 | 59 | 0 | 2 | 0 | 0 | 12 | 426 | 54 | 1085 | 0.04977 | 0. 372093 |
| Total | 2966 | 506 | 1626 | 5592 | 11413 | 281 | 788 | 871 | 935 | 1497 | 945 | 19794 | 86 | 47300 | 0. 398552 | 0. 464938 |

图 38: Matlab-13 个特征采用 SVM Linear 进行分类的结果

| | Appendicularia | Bubble | Chaetognatha | CladoceraPenilia | Copepoda | Decapoda | Doliolida | Egg | Fiber | Gelatinous | Multiple | Nonbio | Pteropoda | Total | Recall | 1-Precision |
|------------------|----------------|--------|--------------|------------------|----------|----------|-----------|------|-------|------------|----------|--------|-----------|-------|-----------|-------------|
| Appendicularia | 1800 | 0 | 263 | 72 | 26 | 11 | 20 | 0 | 68 | 20 | 171 | 274 | 0 | 2725 | 0. 66055 | 0. 3998 |
| Bubble | 0 | 532 | 0 | 2 | 12 | 0 | 0 | 82 | 0 | 4 | 15 | 78 | 0 | 725 | 0. 733793 | 0. 173913 |
| Chaetognatha | 321 | 0 | 1129 | 0 | 4 | 1 | 22 | 0 | 127 | 2 | 36 | 103 | 0 | 1745 | 0. 646991 | 0. 307787 |
| CladoceraPenilia | 40 | 0 | 1 | 3449 | 12 | 1 | 28 | 1 | 1 | 65 | 65 | 962 | 0 | 4625 | 0.74573 | 0. 289452 |
| Copepoda | 26 | 1 | 0 | 27 | 5480 | 495 | 5 | 0 | 4 | 1 | 175 | 1099 | 57 | 7370 | 0. 743555 | 0. 324041 |
| Decapoda | 6 | 0 | 0 | 0 | 806 | 1424 | 0 | 13 | 6 | 0 | 85 | 421 | 24 | 2785 | 0. 511311 | 0. 424414 |
| Doliolida | 22 | 0 | 4 | 10 | 3 | 0 | 840 | 0 | 28 | 234 | 26 | 258 | 0 | 1425 | 0. 589474 | 0. 389535 |
| Egg | 0 | 77 | 0 | 13 | 3 | 16 | 0 | 1173 | 0 | 60 | 22 | 347 | 9 | 1720 | 0.681977 | 0. 226253 |
| Fiber | 171 | 0 | 141 | 2 | 21 | 19 | 9 | 3 | 646 | 7 | 85 | 416 | 0 | 1520 | 0. 425 | 0.439722 |
| Gelatinous | 59 | 0 | 0 | 167 | 22 | 2 | 206 | 48 | 3 | 1529 | 97 | 874 | 3 | 3010 | 0. 507973 | 0.408053 |
| Multiple | 262 | 4 | 42 | 220 | 456 | 199 | 65 | 34 | 45 | 112 | 717 | 1006 | 13 | 3175 | 0. 225827 | 0.627145 |
| Nonbio | 292 | 30 | 51 | 892 | 1127 | 261 | 181 | 157 | 225 | 549 | 414 | 11069 | 142 | 15390 | 0.719233 | 0. 355629 |
| Pteropoda | 0 | 0 | 0 | 0 | 135 | 45 | 0 | 5 | 0 | 0 | 15 | 271 | 614 | 1085 | 0. 565899 | 0. 287703 |
| Total | 2999 | 644 | 1631 | 4854 | 8107 | 2474 | 1376 | 1516 | 1153 | 2583 | 1923 | 17178 | 862 | 47300 | 0. 596716 | 0. 357957 |

图 39: C-13 个特征采用随机森林进行分类的结果

| | Appendicularia | Bubble | Chaetognatha | CladoceraPenilia | Copepoda | Decapoda | Doliolida | Egg | Fiber | Gelatinous | Multiple | Nonbio | Pteropoda | Total | Recall | 1-Precision |
|------------------|----------------|--------|--------------|------------------|----------|----------|-----------|------|-------|------------|----------|--------|-----------|-------|-----------|-------------|
| Appendicularia | 1438 | 0 | 141 | 170 | 65 | 0 | 60 | 0 | 2 | 15 | 29 | 805 | 0 | 2725 | 0. 527706 | 0. 579163 |
| Bubble | 0 | 58 | 0 | 11 | 55 | 0 | 0 | 580 | 0 | 0 | 0 | 21 | 0 | 725 | 0.08 | 0. 546875 |
| Chaetognatha | 474 | 0 | 668 | 2 | 21 | 0 | 22 | 0 | 3 | 0 | 7 | 548 | 0 | 1745 | 0. 382808 | 0.37277 |
| CladoceraPenilia | 52 | 0 | 0 | 2900 | 17 | 0 | 6 | 0 | 0 | 74 | 6 | 1570 | 0 | 4625 | 0. 627027 | 0.399462 |
| Copepoda | 9 | 0 | 0 | 24 | 5271 | 0 | 2 | 9 | 0 | 0 | 13 | 2035 | 7 | 7370 | 0. 715197 | 0. 55635 |
| Decapoda | 8 | 0 | 0 | 0 | 2414 | 0 | 0 | 0 | 0 | 0 | 6 | 357 | 0 | 2785 | 0 | 0 |
| Doliolida | 89 | 0 | 1 | 55 | 0 | 0 | 311 | 0 | 0 | 242 | 3 | 724 | 0 | 1425 | 0. 218246 | 0.591327 |
| Egg | 4 | 43 | 0 | 73 | 240 | 0 | 0 | 1054 | 0 | 62 | 2 | 240 | 2 | 1720 | 0. 612791 | 0. 486355 |
| Fiber | 156 | 0 | 159 | 6 | 113 | 0 | 18 | 2 | 24 | 3 | 6 | 1033 | 0 | 1520 | 0. 015789 | 0. 538462 |
| Gelatinous | 220 | 6 | 1 | 493 | 53 | 0 | 141 | 59 | 0 | 1022 | 14 | 1001 | 0 | 3010 | 0. 339535 | 0. 433481 |
| Multiple | 545 | 0 | 10 | 329 | 997 | 0 | 52 | 17 | 0 | 27 | 81 | 1113 | 4 | 3175 | 0. 025512 | 0. 588832 |
| Nonbio | 422 | 21 | 85 | 766 | 1965 | 0 | 149 | 312 | 23 | 359 | 29 | 11225 | 34 | 15390 | 0. 72937 | 0.465145 |
| Pteropoda | 0 | 0 | 0 | 0 | 670 | 0 | 0 | 19 | 0 | 0 | 1 | 315 | 80 | 1085 | 0. 073733 | 0. 370079 |
| Total | 3417 | 128 | 1065 | 4829 | 11881 | 0 | 761 | 2052 | 52 | 1804 | 197 | 20987 | 127 | 47300 | 0. 334439 | 0. 456023 |

图 40: C-13 个特征采用 SVM Linear 进行分类的结果

分类器: 随机森林、SVM

MATLAB: 采用随机森林进行训练和分类得到的结果如图 41, 其分类准确率为 72.9%。采用 SVM Linear 进行训练和分类得到的结果如图 42, 其分类准确率为 58.9%

5.1.3 实验三

选用特征: 在5.1.2实验二所用特征的基础上增加的了不变矩特征, 共 20 个特征。

分类器: 随机森林、SVM

| | Appendicularia | Bubble | Chaetognatha | CladoceraPenilia | Copepoda | Decapoda | Doliolida | Egg | Fiber | Gelatinous | Multiple | Nonbio | Pteropoda | Total | Recall | 1-Precision |
|------------------|----------------|--------|--------------|------------------|----------|----------|-----------|------|-------|------------|----------|--------|-----------|-------|-----------|-------------|
| Appendicularia | 2106 | 0 | 166 | 41 | 10 | 16 | 0 | 0 | 57 | 0 | 152 | 177 | 0 | 2725 | 0. 772844 | 0. 241628 |
| Bubble | 0 | 624 | 0 | 0 | 5 | 0 | 0 | 14 | 0 | 0 | 0 | 82 | 0 | 725 | 0.86069 | 0.023474 |
| Chaetognatha | 173 | 0 | 1491 | 0 | 2 | 11 | 0 | 0 | 7 | 1 | 41 | 19 | 0 | 1745 | 0. 854441 | 0. 126026 |
| CladoceraPenilia | 4 | 0 | 0 | 3856 | 22 | 1 | 13 | 0 | 0 | 42 | 37 | 650 | 0 | 4625 | 0. 83373 | 0. 175716 |
| Copepoda | 2 | 0 | 1 | 15 | 6076 | 208 | 0 | 0 | 3 | 0 | 193 | 851 | 21 | 7370 | 0. 824423 | 0. 234182 |
| Decapoda | 6 | 0 | 0 | 0 | 453 | 2027 | 0 | 3 | 0 | 4 | 86 | 203 | 3 | 2785 | 0. 727828 | 0. 236822 |
| Doliolida | 0 | 0 | 0 | 1 | 0 | 0 | 1061 | 0 | 0 | 215 | 0 | 148 | 0 | 1425 | 0. 744561 | 0. 226112 |
| Egg | 0 | 10 | 0 | 13 | 2 | 7 | 0 | 1322 | 0 | 23 | 12 | 328 | 3 | 1720 | 0. 768605 | 0. 127393 |
| Fiber | 75 | 0 | 11 | 4 | 2 | 2 | 0 | 0 | 1081 | 1 | 55 | 286 | 3 | 1520 | 0.711184 | 0. 229508 |
| Gelatinous | 5 | 0 | 0 | 148 | 10 | 6 | 194 | 34 | 0 | 1810 | 89 | 714 | 0 | 3010 | 0.601329 | 0. 29736 |
| Multiple | 253 | 1 | 27 | 125 | 463 | 209 | 14 | 27 | 62 | 129 | 914 | 949 | 2 | 3175 | 0. 287874 | 0. 534149 |
| Nonbio | 153 | 4 | 10 | 475 | 770 | 144 | 89 | 115 | 193 | 348 | 367 | 12646 | 76 | 15390 | 0.821702 | 0. 267026 |
| Pteropoda | 0 | 0 | 0 | 0 | 119 | 25 | 0 | 0 | 0 | 3 | 16 | 200 | 722 | 1085 | 0.665438 | 0. 13012 |
| Total | 2777 | 639 | 1706 | 4678 | 7934 | 2656 | 1371 | 1515 | 1403 | 2576 | 1962 | 17253 | 830 | 47300 | 0. 728819 | 0. 219194 |

图 41: Matlab-19 个特征采用随机森林进行分类的结果

| | Appendicularia | Bubble | Chaetognatha | CladoceraPenilia | Copepoda | Decapoda | Doliolida | Egg | Fiber | Gelatinous | Multiple | Nonbio | Pteropoda | Total | Recall | 1-Precision |
|------------------|----------------|--------|--------------|------------------|----------|----------|-----------|------|-------|------------|----------|--------|-----------|-------|-----------|-------------|
| Appendicularia | 2154 | 0 | 150 | 46 | 18 | 7 | 0 | 0 | 50 | 0 | 147 | 153 | 0 | 2725 | 0. 790459 | 0. 330432 |
| Bubble | 0 | 636 | 0 | 15 | 16 | 7 | 0 | 4 | 0 | 0 | 0 | 47 | 0 | 725 | 0.877241 | 0. 105485 |
| Chaetognatha | 314 | 0 | 1371 | 0 | 1 | 11 | 0 | 0 | 6 | 1 | 33 | 8 | 0 | 1745 | 0. 785673 | 0. 164534 |
| CladoceraPenilia | 1 | 0 | 0 | 3321 | 34 | 0 | 8 | 0 | 0 | 24 | 13 | 1224 | 0 | 4625 | 0.718054 | 0. 362082 |
| Copepoda | 1 | 0 | 0 | 32 | 5762 | 108 | 0 | 0 | 2 | 0 | 164 | 1283 | 18 | 7370 | 0. 781818 | 0.417568 |
| Decapoda | 7 | 0 | 0 | 0 | 1209 | 1251 | 0 | 0 | 0 | 0 | 84 | 234 | 0 | 2785 | 0.449192 | 0. 256684 |
| Doliolida | 3 | 0 | 0 | 5 | 0 | 0 | 606 | 0 | 0 | 547 | 2 | 262 | 0 | 1425 | 0. 425263 | 0. 437848 |
| Egg | 0 | 44 | 0 | 98 | 171 | 0 | 10 | 1053 | 0 | 6 | 5 | 328 | 5 | 1720 | 0.612209 | 0. 2171 |
| Fiber | 224 | 0 | 52 | 7 | 30 | 10 | 1 | 0 | 823 | 1 | 39 | 333 | 0 | 1520 | 0. 541447 | 0. 22723 |
| Gelatinous | 7 | 0 | 0 | 445 | 76 | 2 | 260 | 14 | 0 | 1326 | 80 | 800 | 0 | 3010 | 0. 440532 | 0. 434059 |
| Multiple | 320 | 0 | 45 | 278 | 699 | 161 | 30 | 12 | 28 | 149 | 699 | 749 | 5 | 3175 | 0. 220157 | 0. 524813 |
| Nonbio | 186 | 31 | 23 | 959 | 1392 | 96 | 163 | 262 | 156 | 289 | 193 | 11614 | 26 | 15390 | 0.754646 | 0. 32902 |
| Pteropoda | 0 | 0 | 0 | 0 | 485 | 30 | 0 | 0 | 0 | 0 | 12 | 274 | 284 | 1085 | 0. 261751 | 0. 159763 |
| Total | 3217 | 711 | 1641 | 5206 | 9893 | 1683 | 1078 | 1345 | 1065 | 2343 | 1471 | 17309 | 338 | 47300 | 0. 589111 | 0. 305125 |

图 42: Matlab-19 个特征采用 SVM Linear 进行分类的结果

MATLAB: 采用随机森林进行训练和分类得到的结果如图 43, 其分类准确率为 73.7%。采用 SVM Linear 进行训练和分类得到的结果如图 49, 其分类准确率为 61.0%

| | Appendicularia | Bubble | Chaetognatha | CladoceraPenilia | Copepoda | Decapoda | Doliolida | Egg | Fiber | Gelatinous | Multiple | Nonbio | Pteropoda | Total | Recall | 1-Precision |
|------------------|----------------|--------|--------------|------------------|----------|----------|-----------|------|-------|------------|----------|--------|-----------|-------|-----------|-------------|
| Appendicularia | 2209 | 0 | 120 | 34 | 11 | 10 | 0 | 0 | 36 | 0 | 163 | 142 | 0 | 2725 | 0.810642 | 0. 207391 |
| Bubble | 0 | 627 | 0 | 0 | 5 | 0 | 0 | 14 | 0 | 0 | 1 | 78 | 0 | 725 | 0.864828 | 0. 021841 |
| Chaetognatha | 131 | 0 | 1537 | 0 | 2 | 5 | 0 | 0 | 15 | 0 | 39 | 16 | 0 | 1745 | 0.880802 | 0. 108469 |
| CladoceraPenilia | 2 | 0 | 0 | 3902 | 23 | 3 | 6 | 0 | 0 | 19 | 18 | 652 | 0 | 4625 | 0.843676 | 0. 161762 |
| Copepoda | 1 | 0 | 0 | 15 | 6112 | 195 | 0 | 0 | 0 | 0 | 191 | 833 | 23 | 7370 | 0.829308 | 0. 227405 |
| Decapoda | 5 | 0 | 0 | 0 | 440 | 2033 | 0 | 4 | 0 | 4 | 78 | 215 | 6 | 2785 | 0. 729982 | 0. 227877 |
| Doliolida | 0 | 0 | 0 | 3 | 0 | 0 | 1073 | 0 | 0 | 205 | 0 | 144 | 0 | 1425 | 0. 752982 | 0. 207533 |
| Egg | 0 | 13 | 0 | 9 | 6 | 9 | 0 | 1358 | 0 | 20 | 5 | 300 | 0 | 1720 | 0. 789535 | 0. 100066 |
| Fiber | 64 | 0 | 13 | 2 | 1 | 1 | 0 | 0 | 1121 | 0 | 59 | 259 | 0 | 1520 | 0. 7375 | 0. 222068 |
| Gelatinous | 5 | 0 | 0 | 129 | 19 | 7 | 182 | 23 | 0 | 1800 | 88 | 757 | 0 | 3010 | 0. 598007 | 0. 291896 |
| Multiple | 247 | 0 | 33 | 112 | 461 | 197 | 13 | 18 | 62 | 147 | 875 | 1007 | 3 | 3175 | 0. 275591 | 0. 526771 |
| Nonbio | 123 | 1 | 21 | 449 | 719 | 150 | 80 | 92 | 207 | 346 | 317 | 12823 | 62 | 15390 | 0.833203 | 0. 266083 |
| Pteropoda | 0 | 0 | 0 | 0 | 112 | 23 | 0 | 0 | 0 | 1 | 15 | 246 | 688 | 1085 | 0.634101 | 0. 120205 |
| Total | 2787 | 641 | 1724 | 4655 | 7911 | 2633 | 1354 | 1509 | 1441 | 2542 | 1849 | 17472 | 782 | 47300 | 0. 736935 | 0. 206874 |

图 43: Matlab-20 个特征采用随机森林进行分类的结果

5.1.4 实验四

选用特征: 采用内距离形状上下文提取图像特征:

1. 先从图像中挑选 39 张图像作为模板 (每种浮游动物中选取 3 张)。

| | Appendicularia | Bubble | Chaetognatha | CladoceraPenilia | Copepoda | Decapoda | Doliolida | Egg | Fiber | Gelatinous | Multiple | Nonbio | Pteropoda | Total | Recall | 1-Precision |
|------------------|----------------|--------|--------------|------------------|----------|----------|-----------|------|-------|------------|----------|--------|-----------|-------|-----------|-------------|
| Appendicularia | 2170 | 0 | 154 | 48 | 12 | 9 | 0 | 0 | 40 | 1 | 140 | 151 | 0 | 2725 | 0. 79633 | 0. 332513 |
| Bubble | 0 | 630 | 0 | 15 | 20 | 2 | 0 | 3 | 0 | 0 | 2 | 53 | 0 | 725 | 0.868966 | 0. 111425 |
| Chaetognatha | 308 | 0 | 1379 | 0 | 0 | 11 | 0 | 0 | 8 | 1 | 28 | 10 | 0 | 1745 | 0. 790258 | 0. 163228 |
| CladoceraPenilia | 3 | 0 | 0 | 3356 | 18 | 0 | 8 | 0 | 0 | 16 | 15 | 1209 | 0 | 4625 | 0.725622 | 0. 349108 |
| Copepoda | 2 | 0 | 0 | 34 | 5881 | 101 | 0 | 0 | 3 | 1 | 175 | 1142 | 31 | 7370 | 0. 797965 | 0. 372225 |
| Decapoda | 11 | 0 | 0 | 0 | 877 | 1488 | 0 | 5 | 0 | 0 | 83 | 321 | 0 | 2785 | 0.534291 | 0. 237314 |
| Doliolida | 1 | 0 | 0 | 1 | 0 | 0 | 554 | 0 | 0 | 592 | 1 | 276 | 0 | 1425 | 0.388772 | 0. 438134 |
| Egg | 0 | 43 | 0 | 75 | 52 | 9 | 10 | 1196 | 0 | 2 | 4 | 329 | 0 | 1720 | 0.695349 | 0. 10412 |
| Fiber | 237 | 0 | 51 | 7 | 41 | 11 | 2 | 0 | 816 | 0 | 39 | 316 | 0 | 1520 | 0.536842 | 0. 214629 |
| Gelatinous | 6 | 0 | 0 | 408 | 72 | 4 | 243 | 3 | 0 | 1373 | 70 | 831 | 0 | 3010 | 0.456146 | 0. 438905 |
| Multiple | 318 | 0 | 42 | 280 | 674 | 163 | 19 | 3 | 25 | 152 | 718 | 774 | 7 | 3175 | 0. 226142 | 0. 51552 |
| Nonbio | 195 | 36 | 22 | 932 | 1274 | 125 | 150 | 125 | 147 | 309 | 193 | 11837 | 45 | 15390 | 0.769136 | 0. 322322 |
| Pteropoda | 0 | 0 | 0 | 0 | 447 | 28 | 0 | 0 | 0 | 0 | 14 | 218 | 378 | 1085 | 0. 348387 | 0. 180043 |
| Total | 3251 | 709 | 1648 | 5156 | 9368 | 1951 | 986 | 1335 | 1039 | 2447 | 1482 | 17467 | 461 | 47300 | 0.610323 | 0. 29073 |

图 44: Matlab-20 个特征采用 SVM Linear 进行分类的结果

- 2. 采用内距离形状上下文分别计算训练集和测试集中所有图像和上一步中 39 张图像间的距离。
- 3. 将上面计算得到的距离矩阵作为训练集和测试集的特征, 输入到 ELM 中进行学习和分类。

分类器: ELM (经过实验发现 ELM 的分类效果要比 SVM 和随机森林的好)

MATLAB: 采用 ELM 进行训练和分类得到的结果如图 45, 其分类准确率为 63.4%。

| | Appendicularia | Bubble | Chaetognatha | CladoceraPenilia | Copepoda | Decapoda | Doliolida | Egg | Fiber | Gelatinous | Multiple | Nonbio | Pteropoda | Total | Recall | 1-Precision |
|------------------|----------------|--------|--------------|------------------|----------|----------|-----------|-----|-------|------------|----------|--------|-----------|-------|-----------|-------------|
| Appendicularia | 1123 | 0 | 28 | 0 | 6 | 21 | 1 | 0 | 31 | 5 | 32 | 117 | 1 | 1365 | 0. 822711 | 0. 292821 |
| Bubble | 0 | 87 | 0 | 3 | 0 | 0 | 0 | 190 | 1 | 0 | 1 | 82 | 0 | 364 | 0. 239011 | 0. 360294 |
| Chaetognatha | 71 | 0 | 759 | 1 | 0 | 0 | 0 | 0 | 26 | 0 | 3 | 8 | 0 | 868 | 0. 874424 | 0. 173203 |
| CladoceraPenilia | 0 | 0 | 0 | 1933 | 29 | 13 | 0 | 0 | 0 | 9 | 6 | 381 | 0 | 2371 | 0. 815268 | 0. 212306 |
| Copepoda | 1 | 0 | 0 | 33 | 2985 | 60 | 4 | 1 | 6 | 24 | 86 | 537 | 1 | 3738 | 0. 798555 | 0. 229479 |
| Decapoda | 11 | 0 | 0 | 53 | 72 | 906 | 3 | 0 | 0 | 7 | 16 | 300 | 1 | 1369 | 0. 661797 | 0. 27462 |
| Doliolida | 0 | 0 | 0 | 10 | 3 | 1 | 461 | 3 | 0 | 50 | 14 | 202 | 0 | 744 | 0. 619624 | 0. 246732 |
| Egg | 0 | 37 | 1 | 31 | 5 | 3 | 1 | 568 | 1 | 9 | 8 | 165 | 1 | 830 | 0. 684337 | 0. 339535 |
| Fiber | 74 | 0 | 94 | 0 | 4 | 3 | 0 | 2 | 420 | 5 | 49 | 91 | 0 | 742 | 0. 566038 | 0. 310345 |
| Gelatinous | 7 | 0 | 0 | 45 | 70 | 4 | 18 | 50 | 1 | 820 | 62 | 412 | 5 | 1494 | 0. 548862 | 0. 252507 |
| Multiple | 136 | 0 | 3 | 63 | 179 | 66 | 28 | 5 | 46 | 43 | 266 | 712 | 1 | 1548 | 0. 171835 | 0.650919 |
| Nonbio | 146 | 12 | 28 | 282 | 508 | 165 | 96 | 41 | 75 | 123 | 214 | 5972 | 19 | 7681 | 0. 777503 | 0. 344025 |
| Pteropoda | 19 | 0 | 5 | 0 | 13 | 7 | 0 | 0 | 2 | 2 | 5 | 125 | 358 | 536 | 0. 66791 | 0.074935 |
| Total | 1588 | 136 | 918 | 2454 | 3874 | 1249 | 612 | 860 | 609 | 1097 | 762 | 9104 | 387 | 23650 | 0. 634452 | 0. 289363 |

图 45: Matlab-IDSC 特征采用 ELM 进行分类的结果 (39 张图像作为模板)

5.1.5 实验五

选用特征: 采用内距离形状上下文提取图像特征。该实验在5.1.4实验四的基础上,将 39 张图像模板 增加到 65 张。

分类器: ELM

MATLAB: 采用 ELM 进行训练和分类得到的结果如图 46, 其分类准确率为 64.8%。

| | Appendicularia | Bubble | Chaetognatha | CladoceraPenilia | Copepoda | Decapoda | Doliolida | Egg | Fiber | Gelatinous | Multiple | Nonbio | Pteropoda | Total | Recall | 1-Precision |
|------------------|----------------|--------|--------------|------------------|----------|----------|-----------|-----|-------|------------|----------|--------|-----------|-------|-----------|-------------|
| Appendicularia | 1018 | 0 | 43 | 0 | 6 | 15 | | 0 | 48 | 8 | 90 | 124 | 6 | 1358 | 0.749632 | 0. 263919 |
| Bubble | 1 | 146 | 0 | 3 | 2 | 1 | 1 | 170 | 1 | 3 | 5 | 76 | 0 | 409 | 0. 356968 | 0. 444867 |
| Chaetognatha | 57 | 0 | 746 | 2 | 2 | 0 | 0 | 0 | 38 | 1 | 10 | 28 | 0 | 884 | 0. 843891 | 0. 158014 |
| CladoceraPenilia | 0 | 0 | 0 | 1861 | 30 | 26 | 2 | 4 | 0 | 11 | 29 | 341 | 0 | 2304 | 0.807726 | 0. 201288 |
| Copepoda | 2 | 0 | 0 | 19 | 2919 | 38 | 5 | 1 | 2 | 29 | 141 | 501 | 1 | 3658 | 0. 797977 | 0. 223257 |
| Decapoda | 11 | 0 | 0 | 41 | 48 | 961 | 0 | 0 | 4 | 17 | 55 | 258 | 0 | 1395 | 0. 688889 | 0. 25039 |
| Doliolida | 1 | 0 | 0 | 5 | 6 | 1 | 473 | 0 | 0 | 36 | 23 | 145 | 0 | 690 | 0.685507 | 0. 299259 |
| Egg | 2 | 87 | 0 | 22 | 5 | 13 | 2 | 531 | 3 | 28 | 12 | 166 | 0 | 871 | 0.609644 | 0. 332075 |
| Fiber | 54 | 0 | 63 | 1 | 7 | 5 | 0 | 2 | 446 | 5 | 59 | 103 | 3 | 748 | 0. 596257 | 0. 354559 |
| Gelatinous | 5 | 4 | 0 | 39 | 66 | 8 | 31 | 29 | 8 | 892 | 65 | 338 | 7 | 1492 | 0. 597855 | 0.318564 |
| Multiple | 112 | 0 | 3 | 48 | 180 | 45 | 32 | 6 | 47 | 62 | 366 | 680 | 2 | 1583 | 0. 231207 | 0.700491 |
| Nonbio | 105 | 26 | 26 | 288 | 476 | 164 | 129 | 52 | 94 | 209 | 351 | 5769 | 24 | 7713 | 0. 747958 | 0. 33144 |
| Pteropoda | 15 | 0 | 5 | 1 | 11 | 5 | 0 | 0 | 0 | 8 | 16 | 100 | 384 | 545 | 0. 704587 | 0. 100703 |
| Total | 1383 | 263 | 886 | 2330 | 3758 | 1282 | 675 | 795 | 691 | 1309 | 1222 | 8629 | 427 | 23650 | 0. 647546 | 0.306063 |

图 46: Matlab-IDSC 特征采用 ELM 进行分类的结果 (65 张图像作为模板)

| | Appendicularia | Bubble | Chaetognatha | CladoceraPenilia | Copepoda | Decapoda | Doliolida | Egg | Fiber | Gelatinous | Multiple | Nonbio | Pteropoda | Total | Recall | 1-Precision |
|------------------|----------------|--------|--------------|------------------|----------|----------|-----------|------|-------|------------|----------|--------|-----------|-------|-----------|-------------|
| Appendicularia | 2170 | 0 | 154 | 48 | 12 | 9 | 0 | 0 | 40 | 1 | 140 | 151 | 0 | 2725 | 0. 79633 | 0. 332513 |
| Bubble | 0 | 630 | 0 | 15 | 20 | 2 | 0 | 3 | 0 | 0 | 2 | 53 | 0 | 725 | 0.868966 | 0. 111425 |
| Chaetognatha | 308 | 0 | 1379 | 0 | 0 | 11 | 0 | 0 | 8 | 1 | 28 | 10 | 0 | 1745 | 0.790258 | 0. 163228 |
| CladoceraPenilia | 3 | 0 | 0 | 3356 | 18 | 0 | 8 | 0 | 0 | 16 | 15 | 1209 | 0 | 4625 | 0.725622 | 0.349108 |
| Copepoda | 2 | 0 | 0 | 34 | 5881 | 101 | 0 | 0 | 3 | 1 | 175 | 1142 | 31 | 7370 | 0. 797965 | 0. 372225 |
| Decapoda | 11 | 0 | 0 | 0 | 877 | 1488 | 0 | 5 | 0 | 0 | 83 | 321 | 0 | 2785 | 0. 534291 | 0. 237314 |
| Doliolida | 1 | 0 | 0 | 1 | 0 | 0 | 554 | 0 | 0 | 592 | 1 | 276 | 0 | 1425 | 0.388772 | 0. 438134 |
| Egg | 0 | 43 | 0 | 75 | 52 | 9 | 10 | 1196 | 0 | 2 | 4 | 329 | 0 | 1720 | 0.695349 | 0. 10412 |
| Fiber | 237 | 0 | 51 | 7 | 41 | 11 | 2 | 0 | 816 | 0 | 39 | 316 | 0 | 1520 | 0.536842 | 0. 214629 |
| Gelatinous | 6 | 0 | 0 | 408 | 72 | 4 | 243 | 3 | 0 | 1373 | 70 | 831 | 0 | 3010 | 0. 456146 | 0. 438905 |
| Multiple | 318 | 0 | 42 | 280 | 674 | 163 | 19 | 3 | 25 | 152 | 718 | 774 | 7 | 3175 | 0. 226142 | 0. 51552 |
| Nonbio | 195 | 36 | 22 | 932 | 1274 | 125 | 150 | 125 | 147 | 309 | 193 | 11837 | 45 | 15390 | 0.769136 | 0. 322322 |
| Pteropoda | 0 | 0 | 0 | 0 | 447 | 28 | 0 | 0 | 0 | 0 | 14 | 218 | 378 | 1085 | 0. 348387 | 0. 180043 |
| Total | 3251 | 709 | 1648 | 5156 | 9368 | 1951 | 986 | 1335 | 1039 | 2447 | 1482 | 17467 | 461 | 47300 | 0.610323 | 0. 29073 |

图 47: Matlab-20 个特征采用 SVM Linear 进行分类的结果

5.1.6 实验六

选用特征: 采用内距离形状上下文提取图像特征。该实验在5.1.4实验四的基础上,将 39 张图像模板 增加到 104 张。

分类器: ELM

MATLAB: 采用 ELM 进行训练和分类得到的结果如图 48, 其分类准确率为 65.9%。

| | Appendicularia | Bubble | Chaetognatha | CladoceraPenilia | Copepoda | Decapoda | Doliolida | Egg | Fiber | Gelatinous | Multiple | Nonbio | Pteropoda | Total | Recall | 1-Precision |
|------------------|----------------|--------|--------------|------------------|----------|----------|-----------|-----|-------|------------|----------|--------|-----------|-------|-----------|-------------|
| Appendicularia | 1052 | 0 | 44 | 1 | 7 | 13 | 1 | 1 | 37 | 6 | 94 | 116 | 2 | 1374 | 0. 765648 | 0. 227606 |
| Bubble | 0 | 115 | 0 | 3 | 2 | 1 | 0 | 181 | 0 | 2 | 2 | 70 | 0 | 376 | 0. 305851 | 0. 452381 |
| Chaetognatha | 42 | 0 | 763 | 0 | 2 | 1 | 0 | 1 | 39 | 2 | 9 | 16 | 0 | 875 | 0.872 | 0. 138826 |
| CladoceraPenilia | 0 | 1 | 0 | 1929 | 20 | 36 | 1 | 8 | 0 | 12 | 26 | 324 | 0 | 2357 | 0. 818413 | 0. 190856 |
| Copepoda | 1 | 0 | 0 | 29 | 3016 | 29 | 4 | 1 | 6 | 33 | 141 | 495 | 1 | 3756 | 0. 802982 | 0. 199788 |
| Decapoda | 5 | 0 | 0 | 30 | 37 | 984 | 3 | 3 | 5 | 11 | 43 | 230 | 4 | 1355 | 0. 726199 | 0. 221519 |
| Doliolida | 1 | 0 | 0 | 9 | 2 | 2 | 514 | 2 | 2 | 28 | 28 | 127 | 0 | 715 | 0. 718881 | 0. 238519 |
| Egg | 2 | 68 | 0 | 26 | 5 | 5 | 4 | 569 | 5 | 26 | 16 | 141 | 0 | 867 | 0. 656286 | 0. 357062 |
| Fiber | 49 | 0 | 49 | 0 | 7 | 2 | 3 | 3 | 453 | 4 | 58 | 120 | 0 | 748 | 0. 605615 | 0. 350072 |
| Gelatinous | 5 | 5 | 1 | 34 | 41 | 8 | 32 | 44 | 7 | 864 | 64 | 394 | 5 | 1504 | 0. 574468 | 0. 309904 |
| Multiple | 104 | 0 | 4 | 49 | 167 | 39 | 18 | 4 | 47 | 57 | 357 | 677 | 5 | 1528 | 0. 233639 | 0. 715538 |
| Nonbio | 90 | 21 | 17 | 274 | 452 | 140 | 95 | 67 | 91 | 197 | 402 | 5773 | 23 | 7642 | 0. 755431 | 0. 325978 |
| Pteropoda | 11 | 0 | 8 | 0 | 11 | 4 | 0 | 1 | 5 | 10 | 15 | 82 | 406 | 553 | 0. 734177 | 0. 089686 |
| Total | 1362 | 210 | 886 | 2384 | 3769 | 1264 | 675 | 885 | 697 | 1252 | 1255 | 8565 | 446 | 23650 | 0. 659199 | 0. 293672 |

图 48: Matlab-IDSC 特征采用 ELM 进行分类的结果 (104 张图像作为模板)

| | Appendicularia | Bubble | Chaetognatha | CladoceraPenilia | Copepoda | Decapoda | Doliolida | Egg | Fiber | Gelatinous | Multiple | Nonbio | Pteropoda | Total | Recall | 1-Precision |
|------------------|----------------|--------|--------------|------------------|----------|----------|-----------|------|-------|------------|----------|--------|-----------|-------|-----------|-------------|
| Appendicularia | 2170 | 0 | 154 | 48 | 12 | 9 | 0 | 0 | 40 | 1 | 140 | 151 | 0 | 2725 | 0. 79633 | 0. 332513 |
| Bubble | 0 | 630 | 0 | 15 | 20 | 2 | 0 | 3 | 0 | 0 | 2 | 53 | 0 | 725 | 0.868966 | 0. 111425 |
| Chaetognatha | 308 | 0 | 1379 | 0 | 0 | 11 | 0 | 0 | 8 | 1 | 28 | 10 | 0 | 1745 | 0. 790258 | 0. 163228 |
| CladoceraPenilia | 3 | 0 | 0 | 3356 | 18 | 0 | 8 | 0 | 0 | 16 | 15 | 1209 | 0 | 4625 | 0.725622 | 0.349108 |
| Copepoda | 2 | 0 | 0 | 34 | 5881 | 101 | 0 | 0 | 3 | 1 | 175 | 1142 | 31 | 7370 | 0. 797965 | 0. 372225 |
| Decapoda | 11 | 0 | 0 | 0 | 877 | 1488 | 0 | 5 | 0 | 0 | 83 | 321 | 0 | 2785 | 0.534291 | 0. 237314 |
| Doliolida | 1 | 0 | 0 | 1 | 0 | 0 | 554 | 0 | 0 | 592 | 1 | 276 | 0 | 1425 | 0.388772 | 0. 438134 |
| Egg | 0 | 43 | 0 | 75 | 52 | 9 | 10 | 1196 | 0 | 2 | 4 | 329 | 0 | 1720 | 0.695349 | 0. 10412 |
| Fiber | 237 | 0 | 51 | 7 | 41 | 11 | 2 | 0 | 816 | 0 | 39 | 316 | 0 | 1520 | 0.536842 | 0. 214629 |
| Gelatinous | 6 | 0 | 0 | 408 | 72 | 4 | 243 | 3 | 0 | 1373 | 70 | 831 | 0 | 3010 | 0.456146 | 0. 438905 |
| Multiple | 318 | 0 | 42 | 280 | 674 | 163 | 19 | 3 | 25 | 152 | 718 | 774 | 7 | 3175 | 0. 226142 | 0. 51552 |
| Nonbio | 195 | 36 | 22 | 932 | 1274 | 125 | 150 | 125 | 147 | 309 | 193 | 11837 | 45 | 15390 | 0.769136 | 0. 322322 |
| Pteropoda | 0 | 0 | 0 | 0 | 447 | 28 | 0 | 0 | 0 | 0 | 14 | 218 | 378 | 1085 | 0.348387 | 0. 180043 |
| Total | 3251 | 709 | 1648 | 5156 | 9368 | 1951 | 986 | 1335 | 1039 | 2447 | 1482 | 17467 | 461 | 47300 | 0.610323 | 0. 29073 |

图 49: Matlab-20 个特征采用 SVM Linear 进行分类的结果

5.2 特征融合方法实验

该部分进行的是特征融合实验,确定哪种特征融合方式可以得到更高的分类准确率。

5.2.1 实验一 (特征融合方法一)

该实验进行的是特征融合。由于在实验——三中使用的特征都是特征值,而实验四中使用的特征以及 HOG、LBP 和其他的一些特征都是特征向量的形式。如果要将这些特征一起使用就需要进行特征融合。在该实验中,将5.1.3中的 20 个特征和 LBP 特征融合,具体的融合方法:

- 1. 用训练集不同种的特征(这里的将特征分为两种:实验三中20个特征作为一种,LBP特征作为一种)分别进行训练得到分类器(20个特征采用随机森林进行训练,LBP采用SVM进行训练)。然后将训练集对应的这两种特征分别输入到其对应的分类器中进行预测,这两种特征会分别得到训练集中每个样本属于每个类别的分类概率(m×n维,m为训练集样本数,n为类别数)。
- 2. 将每种特征得到的概率进行拼接($m \times 2n$ 维),再输入到分类器(这里的分类器使用的是 SVM)进行训练。
- 3. 然后将测试集的分类概率 (用和步骤 1 中同样的方法可以得到测试集的分类概率) 输入到步骤 2 中训练好的分类器, 得到最终的分类结果。

在该实验得到的分类结果如图50, 其分类准确率为 76.1%。

5.2.2 实验二 (特征融合方法二)

该实验也是将5.1.3中的 20 个特征和 LBP 特征融合,采用的融合方法:

1. 用训练集不同种的特征(这里的将特征分为两种:实验三中的20个特征作为一种,LBP特征作为一种)分别进行训练得到分类器(20个特征采用随机森林进行训练,LBP采用SVM进行训

| | Appendicularia | Bubble | Chaetognatha | CladoceraPenilia | Copepoda | Decapoda | Doliolida | Egg | Fiber | Gelatinous | Multiple | Nonbio | Pteropoda | Total | Recall | 1-Precision |
|------------------|----------------|--------|--------------|------------------|----------|----------|-----------|------|-------|------------|----------|--------|-----------|-------|-----------|-------------|
| Appendicularia | 2188 | 0 | 123 | 22 | 6 | 9 | 0 | 0 | 44 | 0 | 182 | 151 | 0 | 2725 | 0. 802936 | 0. 197359 |
| Bubble | 0 | 661 | 0 | 0 | 5 | 0 | 0 | 1 | 0 | 0 | 0 | 58 | 0 | 725 | 0. 911724 | 0.001511 |
| Chaetognatha | 137 | 0 | 1543 | 0 | 3 | 3 | 0 | 0 | 8 | 0 | 36 | 15 | 0 | 1745 | 0.884241 | 0. 113218 |
| CladoceraPenilia | 0 | 0 | 0 | 3962 | 24 | 4 | 4 | 0 | 0 | 18 | 29 | 584 | 0 | 4625 | 0.856649 | 0. 1536 |
| Copepoda | 1 | 0 | 0 | 15 | 6129 | 198 | 0 | 0 | 0 | 1 | 242 | 756 | 28 | 7370 | 0.831615 | 0. 218937 |
| Decapoda | 4 | 0 | 0 | 0 | 390 | 2079 | 0 | 0 | 0 | 2 | 95 | 210 | 5 | 2785 | 0.746499 | 0. 224254 |
| Doliolida | 0 | 0 | 0 | 3 | 0 | 0 | 1150 | 0 | 0 | 148 | 0 | 124 | 0 | 1425 | 0.807018 | 0. 14307 |
| Egg | 0 | 1 | 0 | 13 | 5 | 8 | 0 | 1440 | 0 | 20 | 7 | 226 | 0 | 1720 | 0.837209 | 0. 08803 |
| Fiber | 58 | 0 | 19 | 1 | 2 | . 0 | 0 | 0 | 1135 | 0 | 64 | 241 | 0 | 1520 | 0.746711 | 0. 220467 |
| Gelatinous | 5 | 0 | 0 | 113 | 11 | . 7 | 108 | 19 | 0 | 2004 | 81 | 662 | 0 | 3010 | 0.665781 | 0. 265934 |
| Multiple | 230 | 0 | 32 | 119 | 446 | 186 | 9 | 21 | 61 | 135 | 996 | 940 | 0 | 3175 | 0. 313701 | 0. 534579 |
| Nonbio | 103 | 0 | 22 | 433 | 725 | 156 | 71 | 98 | 208 | 401 | 386 | 12717 | 70 | 15390 | 0.826316 | 0. 247114 |
| Pteropoda | 0 | 0 | 1 | 0 | 101 | 30 | 0 | 0 | 0 | 1 | 22 | 207 | 723 | 1085 | 0.666359 | 0. 124697 |
| Total | 2726 | 662 | 1740 | 4681 | 7847 | 2680 | 1342 | 1579 | 1456 | 2730 | 2140 | 16891 | 826 | 47300 | 0. 761289 | 0. 194828 |

图 50: Matlab-20 个特征和 LBP 特征融合方法一

练)。

- 2. 计算每个分类器的权重:对于训练样本集中的每一个样本,分别将其每种特征输入到对应的特征分类器中进行识别,如果能够识别正确,则其对应的特征分类器的权重加一,最终得到每种特征的权重。
- 3. 预测概率:每幅的不同种类特征通过分类器可以得到其属于每个类别的分类概率(与特征融合方法一中步骤1相同)。根据权重和分类概率,计算出最终属于各个类别的概率。

在该实验得到的分类结果如图51, 其分类准确率为73.7%。

| | Appendicularia | Bubble | Chaetognatha | CladoceraPenilia | Copepoda | Decapoda | Doliolida | Egg | Fiber | Gelatinous | Multiple | Nonbio | Pteropoda | Total | Recall | 1-Precision |
|------------------|----------------|--------|--------------|------------------|----------|----------|-----------|------|-------|------------|----------|--------|-----------|-------|-----------|-------------|
| Appendicularia | 2202 | 0 | 109 | 27 | 5 | 11 | 0 | 0 | 57 | 1 | 160 | 153 | 0 | 2725 | 0.808073 | 0. 208198 |
| Bubble | 0 | 624 | 0 | 0 | 5 | 0 | 0 | 13 | 0 | 0 | 0 | 83 | 0 | 725 | 0.86069 | 0.023474 |
| Chaetognatha | 141 | 0 | 1544 | 0 | 4 | 2 | 0 | 0 | 11 | 0 | 33 | 10 | 0 | 1745 | 0.884814 | 0. 101281 |
| CladoceraPenilia | 1 | 0 | 0 | 3922 | 23 | 3 | 7 | 0 | 0 | 22 | 19 | 628 | 0 | 4625 | 0.848 | 0. 161787 |
| Copepoda | 1 | 0 | 0 | 19 | 6122 | 191 | 0 | 0 | 0 | 1 | 191 | 822 | 23 | 7370 | 0.830665 | 0. 228384 |
| Decapoda | 5 | 0 | 0 | 0 | 452 | 2013 | 0 | 4 | 0 | 5 | 83 | 221 | 2 | 2785 | 0.722801 | 0. 226662 |
| Doliolida | 0 | 0 | 0 | 5 | 0 | 0 | 1068 | 0 | 0 | 187 | 0 | 165 | 0 | 1425 | 0.749474 | 0. 208302 |
| Egg | 0 | 9 | 0 | 16 | 6 | 9 | 0 | 1366 | 0 | 17 | 5 | 291 | 1 | 1720 | 0.794186 | 0. 102497 |
| Fiber | 70 | 0 | 12 | 1 | 0 | 1 | 0 | 0 | 1131 | 0 | 54 | 249 | 2 | 1520 | 0.744079 | 0. 235294 |
| Gelatinous | 3 | 0 | 0 | 118 | 18 | 5 | 178 | 23 | 0 | 1818 | 75 | 772 | 0 | 3010 | 0.603987 | 0. 277998 |
| Multiple | 238 | 1 | 36 | 122 | 462 | 193 | 16 | 14 | 70 | 132 | 882 | 1007 | 2 | 3175 | 0. 277795 | 0. 515651 |
| Nonbio | 120 | 5 | 17 | 449 | 720 | 142 | 80 | 102 | 210 | 334 | 305 | 12833 | 73 | 15390 | 0.833853 | 0. 265679 |
| Pteropoda | 0 | 0 | 0 | 0 | 117 | 33 | 0 | 0 | 0 | 1 | 14 | 242 | 678 | 1085 | 0. 624885 | 0. 131882 |
| Total | 2781 | 639 | 1718 | 4679 | 7934 | 2603 | 1349 | 1522 | 1479 | 2518 | 1821 | 17476 | 781 | 47300 | 0. 737177 | 0. 206699 |

图 51: Matlab-20 个特征和 LBP 特征融合方法二

5.3 融合不同特征实验

该部分实验采用特征融合方法一。在实验过程中,采用的针对不同特征采用的分类器:

- 5.1.3实验三中的 20 个特征: 随机森林
- LBP 特征、Gabor 特征、Fourier 描述子、SIFT 特征: SVM
- IDSC: ELM

5.3.1 实验一

选用特征: 在5.2.1特征融合方法一的基础上,将5.1.3中的20个特征、LBP特征融和Gabor特征 融合。

MATLAB: 在该实验得到的分类结果如图52, 其分类准确率为 73.6%。

| | Appendicularia | Bubble | Chaetognatha | CladoceraPenilia | Copepoda | Decapoda | Doliolida | Egg | Fiber | Gelatinous | Multiple | Nonbio | Pteropoda | Total | Recall | 1-Precision |
|------------------|----------------|--------|--------------|------------------|----------|----------|-----------|------|-------|------------|----------|--------|-----------|-------|-----------|-------------|
| Appendicularia | 2178 | 0 | 75 | 13 | 1 | 7 | 0 | 0 | 31 | 3 | 259 | 158 | 0 | 2725 | 0.799266 | 0. 190335 |
| Bubble | 1 | 663 | 0 | 0 | 5 | 2 | 0 | 10 | 0 | 0 | 2 | 42 | 0 | 725 | 0. 914483 | 0.005997 |
| Chaetognatha | 158 | 0 | 1526 | 0 | 0 | 4 | 0 | 0 | 13 | 0 | 32 | 11 | 1 | 1745 | 0.874499 | 0. 093286 |
| CladoceraPenilia | 0 | 0 | 0 | 3753 | 35 | 3 | 1 | 0 | 0 | 16 | 33 | 784 | 0 | 4625 | 0.811459 | 0. 138825 |
| Copepoda | 3 | 0 | 1 | 25 | 5866 | 186 | 0 | 1 | 0 | 3 | 276 | 996 | 13 | 7370 | 0. 795929 | 0. 195226 |
| Decapoda | 4 | 0 | 0 | 11 | 300 | 2022 | 0 | 0 | 0 | 1 | 124 | 319 | 4 | 2785 | 0.726032 | 0. 239278 |
| Doliolida | 0 | 0 | 0 | 6 | 6 | 0 | 1007 | 0 | 0 | 169 | 5 | 232 | 0 | 1425 | 0.706667 | 0.071033 |
| Egg | 0 | 3 | 0 | 9 | 1 | 14 | 1 | 1437 | 0 | 33 | 9 | 213 | 0 | 1720 | 0.835465 | 0. 072305 |
| Fiber | 62 | 0 | 33 | 0 | 2 | 2 | 3 | 2 | 1064 | 0 | 89 | 263 | 0 | 1520 | 0.7 | 0. 2 |
| Gelatinous | 5 | 0 | 1 | 76 | 17 | 4 | 17 | 7 | 3 | 1982 | 127 | 771 | 0 | 3010 | 0.658472 | 0. 236518 |
| Multiple | 194 | 1 | 16 | 91 | 315 | 188 | 10 | 7 | 51 | 90 | 1127 | 1081 | 4 | 3175 | 0.354961 | 0. 561137 |
| Nonbio | 81 | 0 | 27 | 374 | 654 | 158 | 45 | 85 | 168 | 299 | 461 | 13001 | 37 | 15390 | 0.844769 | 0. 284991 |
| Pteropoda | 4 | 0 | 4 | 0 | 87 | 68 | 0 | 0 | 0 | 0 | 24 | 312 | 586 | 1085 | 0.540092 | 0.091473 |
| Total | 2690 | 667 | 1683 | 4358 | 7289 | 2658 | 1084 | 1549 | 1330 | 2596 | 2568 | 18183 | 645 | 47300 | 0. 735546 | 0. 183108 |

图 52: Matlab-20 个特征、LBP 和 Gabor 特征融合方法一

5.3.2 实验二

选用特征: 在5.2.1特征融合方法一的基础上,将5.1.3中的20个特征、LBP特征融Fourier描述子融合。

MATLAB: 在该实验得到的分类结果如图53, 其分类准确率为 76.2%。

| | Appendicularia | Bubble | Chaetognatha | CladoceraPenilia | Copepoda | Decapoda | Doliolida | Egg | Fiber | Gelatinous | Multiple | Nonbio | Pteropoda | Total | Recall | 1-Precision |
|------------------|----------------|--------|--------------|------------------|----------|----------|-----------|------|-------|------------|----------|--------|-----------|-------|-----------|-------------|
| Appendicularia | 2204 | 0 | 116 | 20 | 9 | 10 | 0 | 0 | 42 | 0 | 176 | 148 | 0 | 2725 | 0.808807 | 0. 195914 |
| Bubble | 0 | 659 | 0 | 0 | 5 | 0 | 0 | 4 | 0 | 0 | 0 | 57 | 0 | 725 | 0. 908966 | 0.003026 |
| Chaetognatha | 133 | 0 | 1549 | 0 | 3 | 2 | 0 | 0 | 9 | 0 | 33 | 16 | 0 | 1745 | 0.887679 | 0. 10669 |
| CladoceraPenilia | 1 | 0 | 0 | 3944 | 22 | 5 | 4 | 0 | 0 | 16 | 34 | 599 | 0 | 4625 | 0.852757 | 0. 152557 |
| Copepoda | 0 | 0 | 0 | 16 | 6135 | 181 | 0 | 0 | 0 | 0 | 222 | 792 | 24 | 7370 | 0.832429 | 0. 223516 |
| Decapoda | 5 | 0 | 0 | 0 | 416 | 2061 | 0 | 0 | 0 | 3 | 87 | 207 | 6 | 2785 | 0.740036 | 0. 214857 |
| Doliolida | 0 | 0 | 0 | 3 | 0 | 0 | 1145 | 0 | 0 | 154 | 0 | 123 | 0 | 1425 | 0.803509 | 0. 143605 |
| Egg | 0 | 1 | 0 | 13 | 8 | 7 | 0 | 1450 | 0 | 20 | 5 | 216 | 0 | 1720 | 0.843023 | 0.091479 |
| Fiber | 58 | 0 | 17 | 1 | 1 | 0 | 0 | 0 | 1150 | 0 | 64 | 229 | 0 | 1520 | 0. 756579 | 0. 217155 |
| Gelatinous | 4 | 0 | 0 | 110 | 10 | 6 | 108 | 20 | 0 | 1998 | 78 | 676 | 0 | 3010 | 0.663787 | 0. 267058 |
| Multiple | 226 | 0 | 28 | 119 | 452 | 177 | 9 | 21 | 63 | 130 | 981 | 969 | 0 | 3175 | 0.308976 | 0. 524939 |
| Nonbio | 109 | 1 | 23 | 428 | 738 | 145 | 71 | 101 | 205 | 405 | 365 | 12729 | 70 | 15390 | 0.827096 | 0. 249735 |
| Pteropoda | 1 | 0 | 1 | 0 | 102 | 31 | 0 | 0 | 0 | 0 | 20 | 205 | 725 | 1085 | 0.668203 | 0. 121212 |
| Total | 2741 | 661 | 1734 | 4654 | 7901 | 2625 | 1337 | 1596 | 1469 | 2726 | 2065 | 16966 | 825 | 47300 | 0.76168 | 0. 193211 |

图 53: Matlab-20 个特征、LBP 和 Fourier 描述子融合方法一

5.3.3 实验三

选用特征: 在5.2.1特征融合方法一的基础上,将5.1.3中的20个特征、LBP特征和SIFT特征融合。

MATLAB: 在该实验得到的分类结果如图54, 其分类准确率为 76.1%。

| | Appendicularia | Bubble | Chaetognatha | CladoceraPenilia | Copepoda | Decapoda | Doliolida | Egg | Fiber | Gelatinous | Multiple | Nonbio | Pteropoda | Total | Recall | 1-Precision |
|------------------|----------------|--------|--------------|------------------|----------|----------|-----------|------|-------|------------|----------|--------|-----------|-------|-----------|-------------|
| Appendicularia | 2193 | 0 | 122 | 21 | 8 | 9 | 0 | 0 | 48 | 0 | 172 | 152 | 0 | 2725 | 0. 804771 | 0. 199927 |
| Bubble | 0 | 661 | 0 | 0 | 5 | 0 | 0 | 1 | 0 | 0 | 0 | 58 | 0 | 725 | 0. 911724 | 0.001511 |
| Chaetognatha | 138 | 0 | 1544 | 0 | 3 | 3 | 0 | 0 | 8 | 0 | 33 | 16 | 0 | 1745 | 0. 884814 | 0. 111623 |
| CladoceraPenilia | 0 | 0 | 0 | 3964 | 25 | 4 | 4 | 0 | 0 | 19 | 27 | 582 | 0 | 4625 | 0.857081 | 0. 154076 |
| Copepoda | 2 | 0 | 0 | 15 | 6140 | 194 | 0 | 0 | 0 | 1 | 239 | 751 | 28 | 7370 | 0.833107 | 0. 220416 |
| Decapoda | 4 | 0 | 0 | 0 | 392 | 2073 | 0 | 0 | 0 | 2 | 97 | 212 | 5 | 2785 | 0. 744345 | 0. 221262 |
| Doliolida | 0 | 0 | 0 | 4 | 0 | 0 | 1146 | 0 | 0 | 149 | 0 | 126 | 0 | 1425 | 0.804211 | 0. 142857 |
| Egg | 0 | 1 | 0 | 12 | 4 | 8 | 0 | 1438 | 0 | 21 | 9 | 227 | 0 | 1720 | 0.836047 | 0.088142 |
| Fiber | 60 | 0 | 17 | 1 | 1 | 0 | 0 | 0 | 1130 | 0 | 64 | 247 | 0 | 1520 | 0.743421 | 0. 220152 |
| Gelatinous | 5 | 0 | 0 | 116 | 12 | 7 | 108 | 19 | 0 | 2001 | 81 | 661 | 0 | 3010 | 0.664784 | 0. 268105 |
| Multiple | 231 | 0 | 32 | 118 | 447 | 188 | 9 | 21 | 60 | 137 | 992 | 940 | 0 | 3175 | 0. 312441 | 0. 531191 |
| Nonbio | 108 | 0 | 22 | 435 | 734 | 148 | 70 | 98 | 203 | 403 | 381 | 12720 | 68 | 15390 | 0.826511 | 0. 247248 |
| Pteropoda | 0 | 0 | 1 | 0 | 105 | 28 | 0 | 0 | 0 | 1 | 21 | 206 | 723 | 1085 | 0.666359 | 0. 122573 |
| Total | 2741 | 662 | 1738 | 4686 | 7876 | 2662 | 1337 | 1577 | 1449 | 2734 | 2116 | 16898 | 824 | 47300 | 0.76074 | 0. 194545 |

图 54: Matlab-20 个特征、LBP 和 SIFT 特征融合方法一

5.3.4 实验四

选用特征: 在5.2.1特征融合方法一的基础上, 将5.1.3中的 20 个特征和5.1.4中的 IDSC 特征融合。

MATLAB: 在该实验得到的分类结果如图55, 其分类准确率为 76.3%。

| | Appendicularia | Bubble | Chaetognatha | CladoceraPenilia | Copepoda | Decapoda | Doliolida | Egg | Fiber | Gelatinous | Multiple | Nonbio | Pteropoda | Total | Recall | 1-Precision |
|------------------|----------------|--------|--------------|------------------|----------|----------|-----------|------|-------|------------|----------|--------|-----------|-------|-----------|-------------|
| Appendicularia | 2222 | 0 | 106 | 15 | 8 | 9 | 0 | 0 | 44 | 1 | 185 | 135 | 0 | 2725 | 0.815413 | 0. 195219 |
| Bubble | 0 | 628 | 0 | 0 | 5 | 0 | 0 | 18 | 0 | 0 | 4 | 70 | 0 | 725 | 0.866207 | 0.017214 |
| Chaetognatha | 128 | 0 | 1560 | 0 | 4 | 1 | 0 | 0 | 9 | 0 | 32 | 11 | 0 | 1745 | 0.893983 | 0. 097744 |
| CladoceraPenilia | 0 | 0 | 0 | 4023 | 32 | 4 | 7 | 0 | 0 | 23 | 31 | 505 | 0 | 4625 | 0.869838 | 0. 151803 |
| Copepoda | 1 | 0 | 0 | 20 | 6155 | 181 | 0 | 0 | 0 | 0 | 215 | 786 | 12 | 7370 | 0.835142 | 0. 216123 |
| Decapoda | 4 | 0 | 0 | 0 | 373 | 2119 | 0 | 4 | 0 | 0 | 93 | 190 | 2 | 2785 | 0.760862 | 0. 202484 |
| Doliolida | 0 | 0 | 0 | 5 | 0 | 0 | 1116 | 0 | 0 | 146 | 1 | 157 | 0 | 1425 | 0. 783158 | 0. 180617 |
| Egg | 0 | 10 | 1 | 10 | 5 | 10 | 0 | 1403 | 0 | 17 | 7 | 256 | 1 | 1720 | 0.815698 | 0. 119272 |
| Fiber | 61 | 0 | 17 | 0 | 5 | 0 | 0 | 0 | 1147 | 1 | 57 | 232 | 0 | 1520 | 0.754605 | 0. 230201 |
| Gelatinous | 3 | 0 | 0 | 112 | 14 | 3 | 151 | 27 | 0 | 1975 | 88 | 637 | 0 | 3010 | 0.656146 | 0. 262509 |
| Multiple | 225 | 0 | 25 | 116 | 454 | 181 | 13 | 21 | 64 | 141 | 1003 | 932 | 0 | 3175 | 0.315906 | 0. 533922 |
| Nonbio | 117 | 1 | 17 | 442 | 725 | 126 | 75 | 120 | 226 | 370 | 423 | 12690 | 58 | 15390 | 0.824561 | 0. 243833 |
| Pteropoda | 0 | 0 | 3 | 0 | 72 | 23 | 0 | 0 | 0 | 4 | 13 | 181 | 789 | 1085 | 0. 727189 | 0. 084687 |
| Total | 2761 | 639 | 1729 | 4743 | 7852 | 2657 | 1362 | 1593 | 1490 | 2678 | 2152 | 16782 | 862 | 47300 | 0. 762977 | 0. 195048 |

图 55: Matlab-20 个特征和 IDSC 特征融合方法一

5.3.5 实验五

选用特征: 在5.2.1特征融合方法一的基础上,将5.1.3中的20个特征、LBP特征和5.1.4中的IDSC特征融合。(采用特征融合方法一)

MATLAB: 在该实验中, IDSC 采用 39 个模板得到的分类结果如图56, 其分类准确率为 77.1%。

MATLAB: 在该实验中, IDSC 采用 65 个模板得到的分类结果如图57, 其分类准确率为 77.7%。 MATLAB: 在该实验中, IDSC 采用 104 个模板得到的分类结果如图58, 其分类准确率为 77.7%。

5.4 ELM 作为分类器的实验

该部分使用极限学习机(ELM)作为分类器。

| | Appendicularia | Bubble | Chaetognatha | CladoceraPenilia | Copepoda | Decapoda | Doliolida | Egg | Fiber | Gelatinous | Multiple | Nonbio | Pteropoda | Total | Recall | 1-Precision |
|------------------|----------------|--------|--------------|------------------|----------|----------|-----------|------|-------|------------|----------|--------|-----------|-------|-----------|-------------|
| Appendicularia | 2250 | 0 | 116 | 14 | 7 | 5 | 0 | 0 | 34 | 0 | 154 | 145 | 0 | 2725 | 0. 825688 | 0. 196715 |
| Bubble | 0 | 651 | 0 | 1 | 5 | 0 | 0 | 2 | 0 | 0 | 1 | 65 | 0 | 725 | 0.897931 | 0 |
| Chaetognatha | 151 | 0 | 1544 | 0 | 1 | 0 | 0 | 0 | 8 | 0 | 31 | 10 | 0 | 1745 | 0.884814 | 0. 105446 |
| CladoceraPenilia | 0 | 0 | 0 | 4020 | 30 | 2 | 5 | 0 | 0 | 14 | 29 | 525 | 0 | 4625 | 0.869189 | 0. 136041 |
| Copepoda | 1 | 0 | 0 | 16 | 6190 | 158 | 0 | 0 | 2 | 0 | 230 | 763 | 10 | 7370 | 0.839891 | 0. 216852 |
| Decapoda | 5 | 0 | 0 | 1 | 369 | 2120 | 0 | 0 | 0 | 1 | 96 | 193 | 0 | 2785 | 0.761221 | 0. 191457 |
| Doliolida | 0 | 0 | 0 | 7 | 0 | 0 | 1156 | 0 | 0 | 114 | 0 | 148 | 0 | 1425 | 0.811228 | 0. 122914 |
| Egg | 0 | 0 | 0 | 6 | 5 | 6 | 0 | 1462 | 0 | 15 | 4 | 222 | 0 | 1720 | 0.85 | 0.075269 |
| Fiber | 66 | 0 | 11 | 1 | 4 | 0 | 0 | 0 | 1134 | 0 | 65 | 239 | 0 | 1520 | 0.746053 | 0. 222755 |
| Gelatinous | 3 | 0 | 0 | 99 | 10 | 3 | 86 | 17 | 0 | 2040 | 76 | 676 | 0 | 3010 | 0.677741 | 0. 23994 |
| Multiple | 223 | 0 | 30 | 93 | 481 | 175 | 9 | 13 | 67 | 122 | 997 | 965 | 0 | 3175 | 0.314016 | 0. 528605 |
| Nonbio | 100 | 0 | 18 | 395 | 730 | 128 | 62 | 87 | 214 | 376 | 419 | 12803 | 58 | 15390 | 0.831904 | 0. 24417 |
| Pteropoda | 2 | 0 | 7 | 0 | 72 | 25 | 0 | 0 | 0 | 2 | 13 | 185 | 779 | 1085 | 0.717972 | 0. 080283 |
| Total | 2801 | 651 | 1726 | 4653 | 7904 | 2622 | 1318 | 1581 | 1459 | 2684 | 2115 | 16939 | 847 | 47300 | 0.771358 | 0. 181573 |

图 56: Matlab-20 个特征、LBP 和 IDSC 特征融合方法一

| | Appendicularia | Bubble | Chaetognatha | CladoceraPenilia | Copepoda | Decapoda | Doliolida | Egg | Fiber | Gelatinous | Multiple | Nonbio | Pteropoda | Total | Recall | 1-Precision |
|------------------|----------------|--------|--------------|------------------|----------|----------|-----------|------|-------|------------|----------|--------|-----------|-------|-----------|-------------|
| Appendicularia | 2253 | 0 | 106 | 14 | 4 | 5 | 0 | 0 | 35 | 0 | 165 | 143 | 0 | 2725 | 0.826789 | 0. 192473 |
| Bubble | 0 | 658 | 0 | 0 | 5 | 0 | 0 | 0 | 0 | 0 | 1 | 61 | 0 | 725 | 0. 907586 | 0.004539 |
| Chaetognatha | 119 | 0 | 1582 | 0 | 0 | 3 | 0 | 0 | 4 | 0 | 21 | 16 | 0 | 1745 | 0. 90659 | 0.094966 |
| CladoceraPenilia | 0 | 0 | 0 | 4063 | 29 | 3 | 3 | 0 | 0 | 16 | 17 | 494 | 0 | 4625 | 0.878486 | 0. 135164 |
| Copepoda | 1 | 0 | 0 | 14 | 6216 | 145 | 0 | 0 | 0 | 1 | 201 | 784 | 8 | 7370 | 0.843419 | 0. 217128 |
| Decapoda | 8 | 0 | 1 | 1 | 367 | 2122 | 0 | 0 | 0 | 2 | 85 | 198 | 1 | 2785 | 0. 761939 | 0. 186038 |
| Doliolida | 0 | 0 | 0 | 6 | 0 | 0 | 1181 | 0 | 0 | 108 | 1 | 129 | 0 | 1425 | 0.828772 | 0. 116018 |
| Egg | 0 | 1 | 0 | 15 | 6 | 10 | 1 | 1438 | 0 | 19 | 7 | 223 | 0 | 1720 | 0.836047 | 0. 075835 |
| Fiber | 51 | 0 | 12 | 1 | 3 | 1 | 0 | 0 | 1137 | 0 | 66 | 249 | 0 | 1520 | 0.748026 | 0. 214779 |
| Gelatinous | 4 | 0 | 2 | 94 | 12 | 2 | 75 | 12 | 0 | 2066 | 86 | 657 | 0 | 3010 | 0. 686379 | 0. 23792 |
| Multiple | 230 | 0 | 23 | 99 | 473 | 166 | 14 | 18 | 74 | 115 | 994 | 969 | 0 | 3175 | 0. 313071 | 0.50962 |
| Nonbio | 122 | 2 | 18 | 391 | 762 | 125 | 62 | 88 | 197 | 380 | 370 | 12813 | 60 | 15390 | 0.832554 | 0. 242596 |
| Pteropoda | 2 | 0 | 4 | 0 | 63 | 25 | 0 | 0 | 1 | 4 | 13 | 181 | 792 | 1085 | 0.729954 | 0. 080139 |
| Total | 2790 | 661 | 1748 | 4698 | 7940 | 2607 | 1336 | 1556 | 1448 | 2711 | 2027 | 16917 | 861 | 47300 | 0. 776893 | 0. 177478 |

图 57: Matlab-20 个特征、LBP 和 IDSC 特征融合方法一

| | Appendicularia | Bubble | Chaetognatha | CladoceraPenilia | Copepoda | Decapoda | Doliolida | Egg | Fiber | Gelatinous | Multiple | Nonbio | Pteropoda | Total | Recall | 1-Precision |
|------------------|----------------|--------|--------------|------------------|----------|----------|-----------|------|-------|------------|----------|--------|-----------|-------|-----------|-------------|
| Appendicularia | 2250 | 0 | 116 | 13 | 7 | 6 | 0 | 0 | 46 | 0 | 148 | 139 | 0 | 2725 | 0.825688 | 0. 189773 |
| Bubble | 0 | 660 | 0 | 0 | 5 | 0 | 0 | 0 | 0 | 0 | 1 | 59 | 0 | 725 | 0. 910345 | 0.001513 |
| Chaetognatha | 120 | 0 | 1574 | 0 | 1 | 1 | 0 | 0 | 6 | 0 | 30 | 13 | 0 | 1745 | 0. 902006 | 0. 105173 |
| CladoceraPenilia | 0 | 0 | 0 | 4076 | 25 | 1 | 5 | 0 | 0 | 15 | 18 | 485 | 0 | 4625 | 0.881297 | 0.142075 |
| Copepoda | 0 | 0 | 0 | 15 | 6206 | 139 | 0 | 0 | 0 | 1 | 222 | 775 | 12 | 7370 | 0.842062 | 0. 214729 |
| Decapoda | 7 | 0 | 0 | 0 | 381 | 2127 | 0 | 0 | 0 | 1 | 79 | 187 | 3 | 2785 | 0.763734 | 0.174942 |
| Doliolida | 0 | 0 | 0 | 8 | 0 | 0 | 1154 | 0 | 0 | 108 | 0 | 155 | 0 | 1425 | 0.809825 | 0.110254 |
| Egg | 0 | 0 | 0 | 11 | 5 | 11 | 0 | 1444 | 0 | 24 | 7 | 217 | 1 | 1720 | 0. 839535 | 0.079082 |
| Fiber | 47 | 0 | 15 | 1 | 4 | 0 | 0 | 0 | 1150 | 0 | 67 | 236 | 0 | 1520 | 0.756579 | 0.21875 |
| Gelatinous | 3 | 0 | 0 | 106 | 17 | 2 | 68 | 18 | 0 | 2075 | 80 | 641 | 0 | 3010 | 0. 689369 | 0. 237132 |
| Multiple | 229 | 0 | 25 | 106 | 470 | 147 | 12 | 21 | 74 | 122 | 999 | 969 | 1 | 3175 | 0.314646 | 0.521781 |
| Nonbio | 120 | 1 | 22 | 415 | 725 | 120 | 58 | 85 | 196 | 372 | 424 | 12785 | 67 | 15390 | 0.830734 | 0.241156 |
| Pteropoda | 1 | 0 | 7 | 0 | 57 | 24 | 0 | 0 | 0 | 2 | 14 | 187 | 793 | 1085 | 0. 730876 | 0.095781 |
| Total | 2777 | 661 | 1759 | 4751 | 7903 | 2578 | 1297 | 1568 | 1472 | 2720 | 2089 | 16848 | 877 | 47300 | 0. 776669 | 0. 179396 |

图 58: Matlab-20 个特征、LBP 和 IDSC 特征融合方法一

5.4.1 实验一

选用特征: 采用5.1.3中的20个特征进行实验。

MATLAB: 在该实验中 ELM 隐藏神经元设置为 650 个,实验得到的分类结果如图59,其分类准确率为 72.4%。

| | Appendicularia | Bubble | Chaetognatha | CladoceraPenilia | Copepoda | Decapoda | Doliolida | Egg | Fiber | Gelatinous | Multiple | Nonbio | Pteropoda | Total | Recall | 1-Precision |
|------------------|----------------|--------|--------------|------------------|----------|----------|-----------|-----|-------|------------|----------|--------|-----------|-------|-----------|-------------|
| Appendicularia | 1138 | 0 | 40 | 22 | 3 | 9 | 3 | 1 | 25 | 3 | 71 | 44 | 0 | 1359 | 0. 83738 | 0. 28652 |
| Bubble | 0 | 323 | 0 | 0 | 1 | 0 | 0 | 1 | 0 | 0 | 5 | 36 | 0 | 366 | 0.882514 | 0.027108 |
| Chaetognatha | 133 | 0 | 667 | 6 | 8 | 3 | 1 | 1 | 6 | 4 | 22 | 23 | 1 | 875 | 0. 762286 | 0. 087551 |
| CladoceraPenilia | 0 | 0 | 0 | 2041 | 8 | 4 | 1 | 0 | 0 | 3 | 6 | 273 | 0 | 2336 | 0.873716 | 0. 262911 |
| Copepoda | 5 | 0 | 1 | 18 | 3104 | 63 | 1 | 0 | 1 | 4 | 73 | 372 | 8 | 3650 | 0.850411 | 0. 258303 |
| Decapoda | 5 | 0 | 2 | 12 | 209 | 1070 | 0 | 4 | 2 | 3 | 24 | 93 | 1 | 1425 | 0.750877 | 0. 222948 |
| Doliolida | 4 | 0 | 1 | 10 | 2 | 0 | 589 | 0 | 2 | 59 | 3 | 60 | 0 | 730 | 0.806849 | 0. 232073 |
| Egg | 2 | 3 | 0 | 22 | 11 | 9 | 13 | 629 | 0 | 5 | 6 | 147 | 0 | 847 | 0.742621 | 0. 103989 |
| Fiber | 48 | 1 | 3 | 6 | 14 | 5 | 3 | 0 | 518 | 1 | 34 | 131 | 1 | 765 | 0.677124 | 0. 226866 |
| Gelatinous | 11 | 0 | 0 | 107 | 8 | 4 | 74 | 8 | 0 | 988 | 34 | 287 | 0 | 1521 | 0.649573 | 0. 234109 |
| Multiple | 148 | 2 | 8 | 106 | 304 | 75 | 12 | 5 | 29 | 72 | 387 | 407 | 1 | 1556 | 0. 248715 | 0. 538186 |
| Nonbio | 99 | 3 | 8 | 408 | 430 | 104 | 68 | 50 | 87 | 145 | 155 | 6067 | 31 | 7655 | 0. 792554 | 0. 246429 |
| Pteropoda | 2 | 0 | 1 | 11 | 83 | 31 | 2 | 3 | 0 | 3 | 18 | 111 | 300 | 565 | 0. 530973 | 0. 125364 |
| Total | 1595 | 332 | 731 | 2769 | 4185 | 1377 | 767 | 702 | 670 | 1290 | 838 | 8051 | 343 | 23650 | 0. 723507 | 0. 219412 |

图 59: Matlab-20 个特征采用 ELM 进行分类

6. 实验总结

使用的特征:

- 20 个统计特征: Mean、StdDev、CV、SR、MeanPos、Elongation、Circ、Feret、PerimAreaexc、CDexc、Skelarea、FeretAreaexc、PerimFeret、矩形度、体态比、凸率、伸长度、灰度共生矩阵(对比度)、对称性(左右)、不变矩。
- LBP 特征
- 内距离形状上下文

分类器: SVM, 随机森林, ELM

(不同特征适合不同的分类器: 20 个统计特征适合采用随机森林, LBP 适合采用 SVM, 内距离形状上下文采用的是 ELM)。

实验结果:

| 单类特征实验 | 结果 | |
|---------------------------|--------------|----------|
| 采用的特征 | 分类器 | 分类准确率(%) |
| 20个统计特征 | 随机森林 | 73. 7 |
| LBP特征 | SVM | 67. 4 |
| 内距离形状上下文(39) | ELM | 63. 4 |
| 内距离形状上下文(65) | ELM | 64. 8 |
| 内距离形状上下文(104) | ELM | 65. 9 |
| 多类特征融合实 | 验结果 | |
| 采用的特征 | 分类器 | 分类准确率(%) |
| 20个统计特征+LBP特征 | 随机森林+SVM | 76. 1 |
| 20个统计特征+内距离形状上下文(39) | 随机森林+ELM+SVM | 76. 3 |
| 20个统计特征+LBP+内距离形状上下文(39) | 随机森林+ELM+SVM | 77. 1 |
| 20个统计特征+LBP+内距离形状上下文 (65) | 随机森林+ELM+SVM | 77. 7 |
| 20个统计特征+LBP+内距离形状上下文(104) | 随机森林+ELM+SVM | 77.7 |

图 60: 采用不同特征与分类的实验结果统计

实验分析:

- 实验发现, 5.1.3中 20 个特征、LBP 特征和 IDSC 特征对分类准确率提高有较大作用, 其中最好的是5.1.3中 20 个特征。
- 采用 IDSC 提取图像特征时,先选用了 39 张图像作为模板,后来又选用 65 张图像作为模板。模板图像数量越多,分类的准确率越高,但同时需要的时间越多。在将 IDSC 与另外两类特征融合后,随着模板数量的增长最终分类准确率的提高并不明显。
- IDSC 通常采用 K-NN 进行分类,但是计算时间较长,因此在实验中没有采用 K-NN 进行分类。 而是通过选取模板,计算所有图像和模板之间的距离,作为图像的特征。

接下来的工作:

- 目前采用的融合方法在融合过程中,这三种特征所占的权重是一样的。下一步想更改特征融合方法,根据这三种特征对提高分类准确率的贡献,在融合过程中设置不同的权重。但是目前对融合方法还是不太了解,我想接下来先大致学习一下特征融合的方法。
- 由于目标物体轮廓不平滑, 骨架提取的结果比较差。解决方法可以分为两种: 1. 进行骨架剪枝。2. 平滑物体轮廓边缘。
- 不同的特征适用的分类器不同,分类器也会影响分类准确率的提高。目前使用的分类器有 SVM、随机森林和 ELM, 想要寻找更加合适的分类器。
- 寻找特征描述方法。

7. 实验尝试

7.1 Ensemble Learning

7.2 Multi-view Learning

- 1. co-training (协同训练): 是一种半指导或者无指导的学习方法, 主要用于二元分类。
- 2. multiple kernel learning (多核学习):
- 3. subspace learning (子空间学习):

7.3 Bayes Fusion

7.4 Fuzzy Neural network